



COMUNE DI PADERNO DUGNANO (MI)

ATO Città Metropolitana Milano

PROGETTO DI FATTIBILITÀ TECNICO-ECONOMICA

PARCO DELL'ACQUA

D T RE 01 B – RELAZIONE SISMICA E SULLE STRUTTURE

R.U.P

Ing. Davide Chiuch - CAP Holding S.p.A.

PROGETTISTA GENERALE

Ing. Marco Callerio - CAP Holding S.p.A.

RESPONSABILE INTEGRAZIONE OPERE SPECIALISTICHE

Ing. Marco Cottino – J+S S.p.A.

J+S

9315

SETTEMBRE 2025



SOMMARIO

1	PREI	MESSA	4
2	DESC	CRIZIONE DELLE OPERE IN PROGETTO	4
3	NOR	RMATIVA DI RIFERIMENTO	10
4	CLAS	SSE D'USO E VITA NOMINALE DELL'OPERA	11
5	MAI	TERIALI	
	5.1	Durabilità dei materiali	
	5.2	Caratteristiche materiali	
	5.2.1	Calcestruzzo	
	5.2.2	Acciaio per armature ordinarie	16
6	CAR	ATTERIZZAZIONE GEOTECNICA DELL'AREA	17
	6.1	Indagini geognostiche	17
	6.2	Modello geologico-geotecnico	18
7	CAR	ATTERIZZAZIONE SISMICA	19
8	CRIT	ERI DI CALCOLO	20
	8.1	Codici di calcolo	20
	8.2	Convenzioni generali	20
9	MOI	DELLO DI CALCOLO	21
	9.1	Modello di calcolo agli elementi finiti	21
	9.1.1	Caratterizzazione del terreno	23
1() ANA	ILISI DEI CARICHI	25
	10.1	Pesi propri	25
	10.2	Sovraccarichi permanenti	25
	10.3	Spinta del terreno in condizioni statiche	28
	10.4	Azione variabile (da traffico e da folla)	30
	10.5	Spinta laterale azione variabile	32
	10.6	Azione variabile: spinta dell'acqua	34
	10.7	Spinta del terreno in condizioni sismiche	35
	10.8	Forze inerziali strutturali	35
1:	1 COM	//BINAZIONI DI CARICO	36



11.1	Coefficienti parziali di sicurezza e coefficienti di combinazione	37
12 RISU	ULTATI DELLE ANALISI	39
12.1	Manufatto di sfioro	39
12.1.1	Soletta di fondazione	39
12.1.2	Soletta di Copertura	43
12.1.3	Pareti	47
12.2	Manufatto di sollevamento	52
12.2.1	Soletta di fondazione	52
12.2.2	Soletta di Copertura	56
12.2.3	Pareti	60
12.3	Pozzetto ripartitore	64
12.3.1	Soletta di fondazione	64
12.3.2	Soletta di Copertura	68
12.3.3	Pareti	72
13 CRI	TERI DI VERIFICA DEGLI ELEMENTI STRUTTURALI	76
13.1	Verifiche di stato limite ultimo	76
13.1.1	Pressoflessione	76
13.1.2	Taglio	76
13.2	Verifiche di stato limite di esercizio	78
13.2.1	Fessurazione	78
13.2.2	Limitazioni delle tensioni	79
14 CRI	TERI DI VERIFICA GEOTECNICA	80
14.1	Verifica di capacità portante	80
	RIFICHE STRUTTURALI	
15.1	Manufatto sfioratore	82
15.2	Manufatto di sollevamento	
15.3	Pozzetto ripartitore	
16 VER	RIFICHE GEOTECNICHE	97
16.1	Manufatto sfioratore	
16.2	Manufatto di sollevamento	100
16.3	Pozzetto ripartitore	101



1 PREMESSA

La presente relazione riporta i criteri di dimensionamento e verifica dei manufatti scatolari previsti nell'ambito del progetto definitivo per la realizzazione del Parco dell'Acqua nel Comune di Paderno Dugnano (MI).

2 DESCRIZIONE DELLE OPERE IN PROGETTO

Le opere descritte nella presente relazione riguardano la realizzazione di n.4 manufatti interrati in calcestruzzo armato gettato in opera.

Considerata la loro ubicazione, il dimensionamento strutturale degli elementi è stato eseguito tenendo conto dei sovraccarichi derivanti dal traffico veicolare e dai carichi accidentali (folla), in conformità a quanto stabilito dalle Norme Tecniche per le Costruzioni (NTC 2018) e dalla relativa Circolare esplicativa.

Le strutture in progetto sono le seguenti:

- Manufatto di sfioro
- Manufatto di sollevamento
- Pozzetto ripartitore
- Pozzetto di curva

Per il manufatto di sfioro sono previsti i seguenti spessori strutturali: fondazione di 50 cm, pareti e copertura di 35 cm. Per gli altri manufatti, la fondazione sarà realizzata con spessore di 35 cm, mentre pareti e copertura avranno uno spessore di 30 cm.

L'accesso alle camerette sarà garantito mediante botole in calcestruzzo armato gettate in opera. Tali botole saranno dimensionate per sopportare il transito veicolare (nel caso del manufatto di sfioro) e il sovraccarico dovuto alla presenza di folla.



► MANUFATTO DI SFIORO:

Pianta:

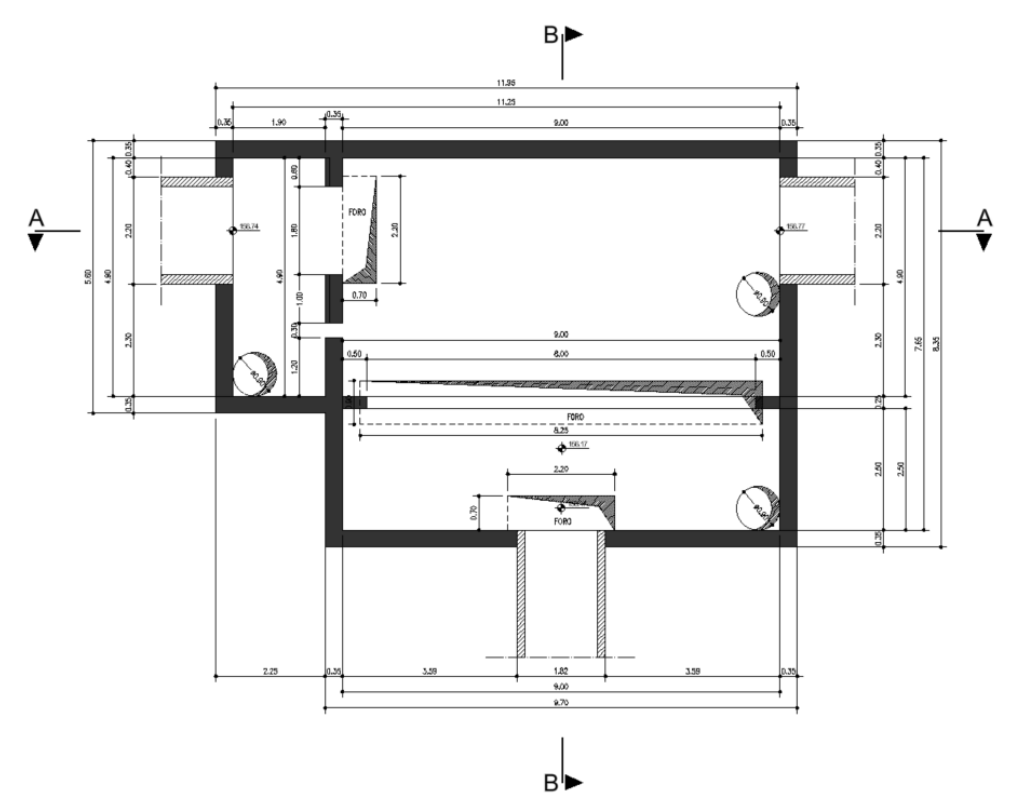


Figura 1 – Pianta manufatto di sfioro.

Sezioni:

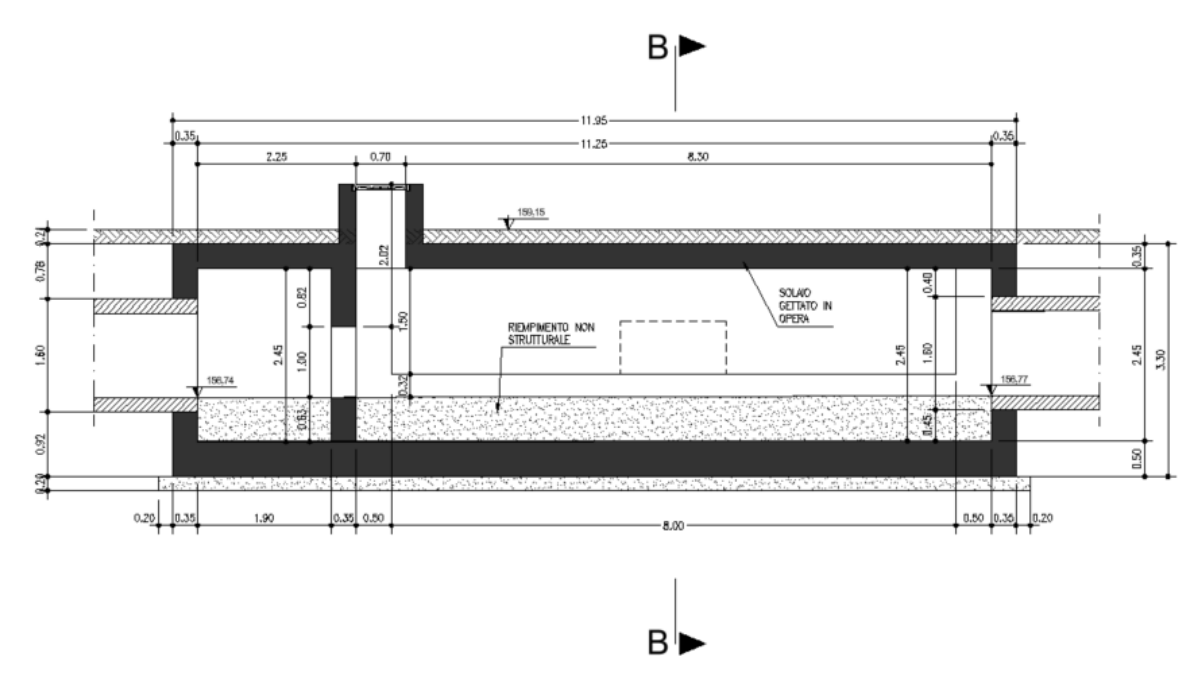


Figura 2 – Sezione A-A, manufatto di sfioro.



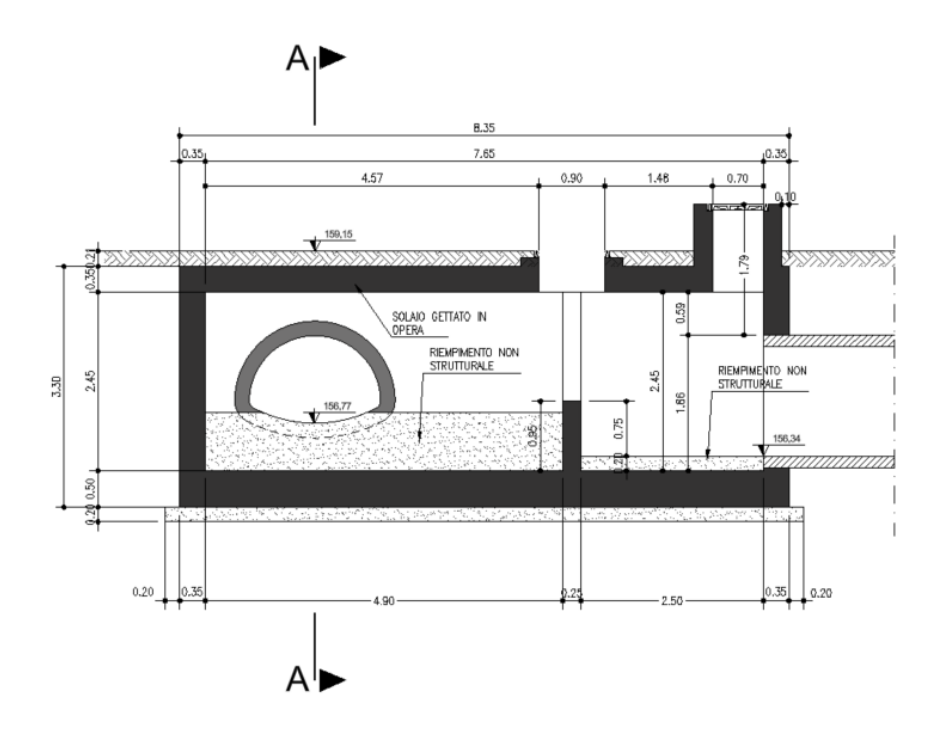


Figura 3 – Sezione B-B, manufatto di sfioro.

> MANUFATTO DI SOLLEVAMENTO:

Pianta:

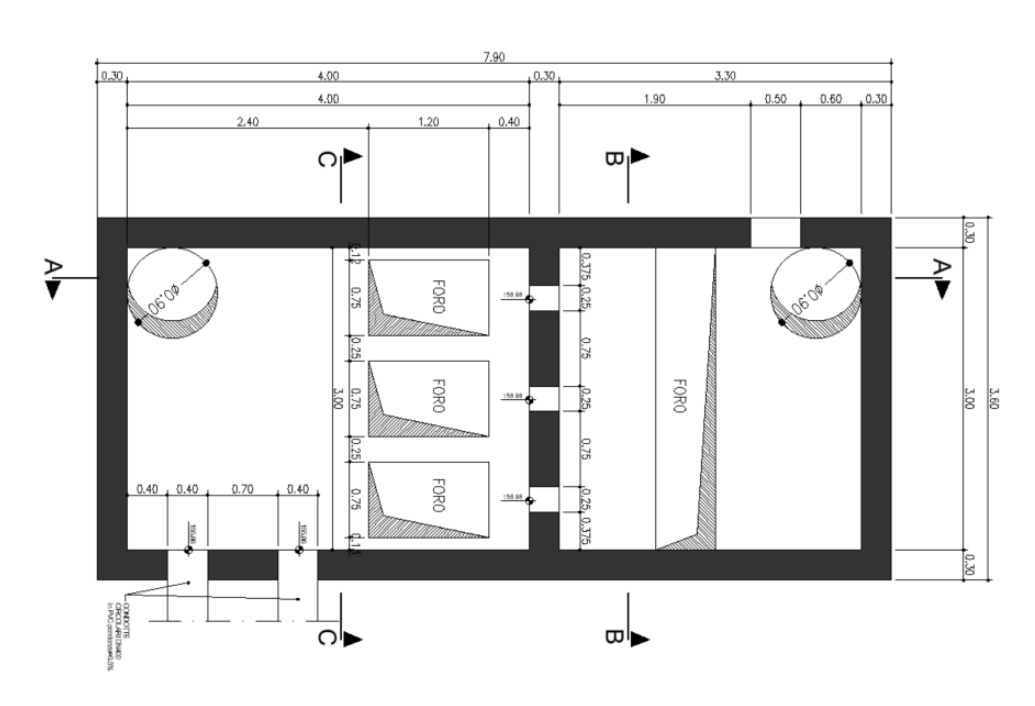


Figura 4 – Pianta manufatto di sollevamento.



Sezioni:

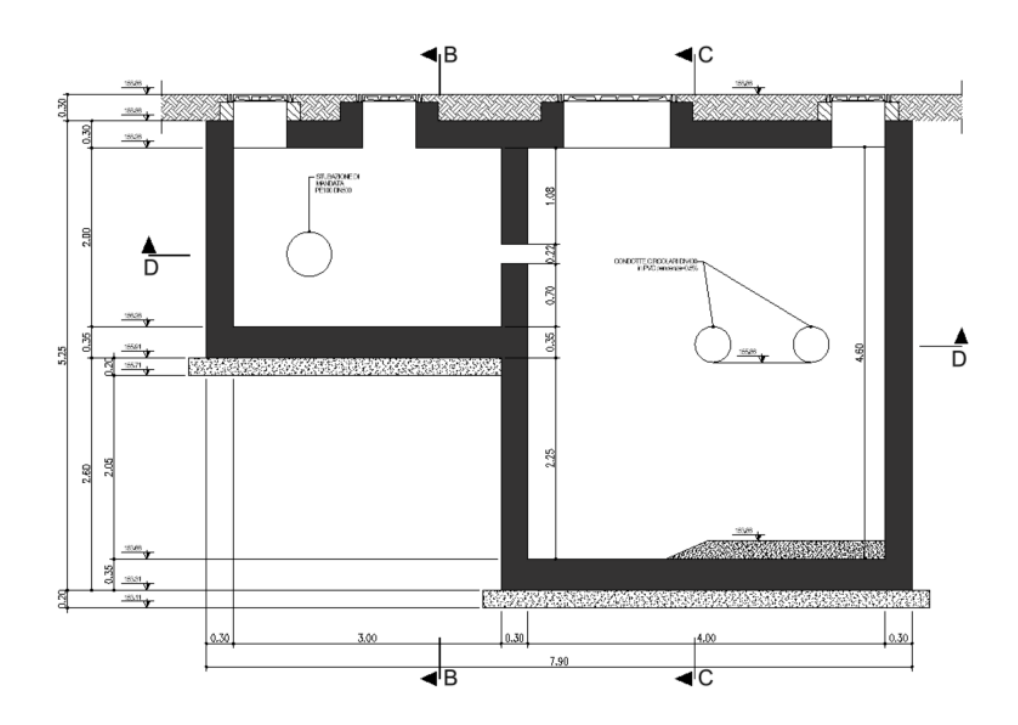


Figura 5 – Sezione A-A, manufatto di sollevamento.

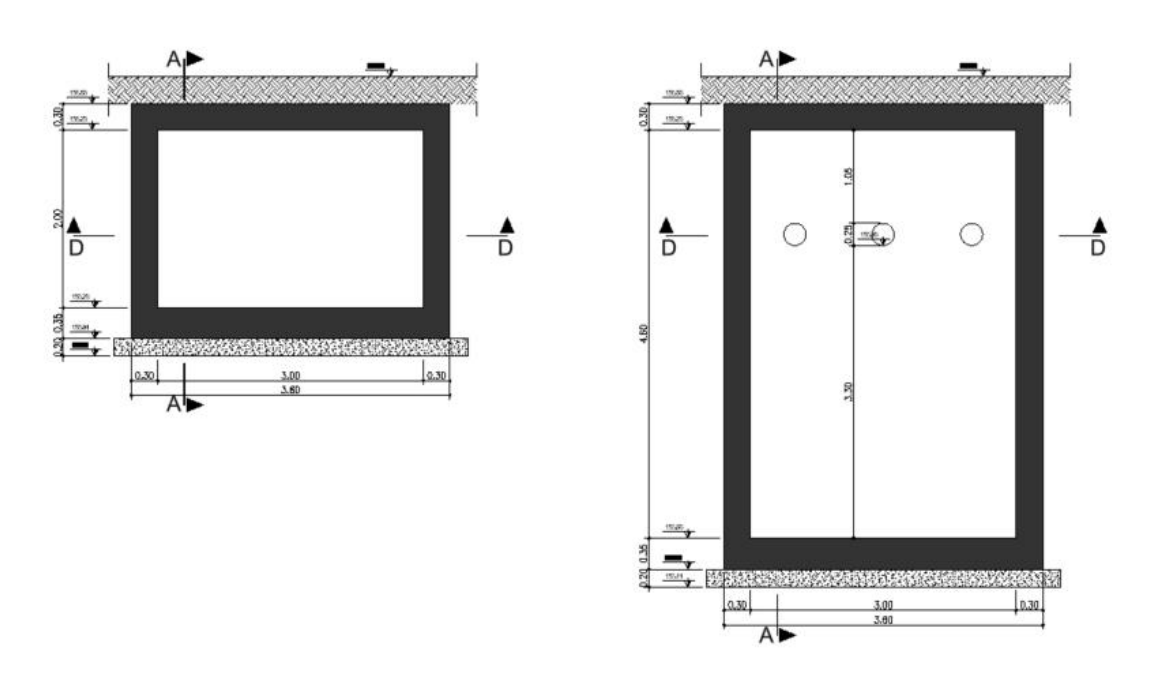


Figura 6 – Sezione B-B (sx) e sezione C-C (dx), manufatto di sollevamento.



> POZZETTO RIPARTITORE:

Pianta:

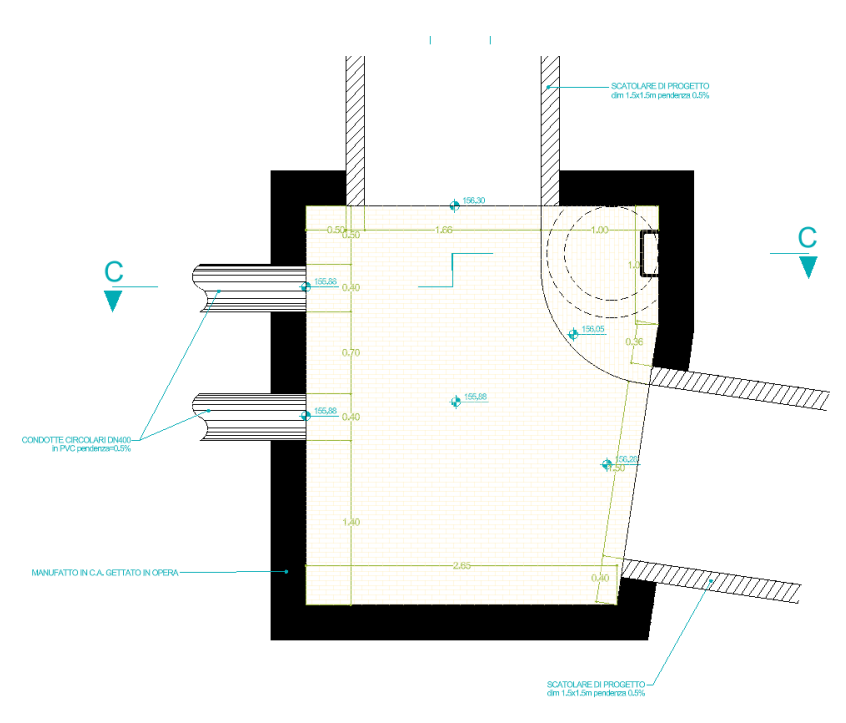


Figura 7 – Pianta pozzetto ripartitore.

Sezione:

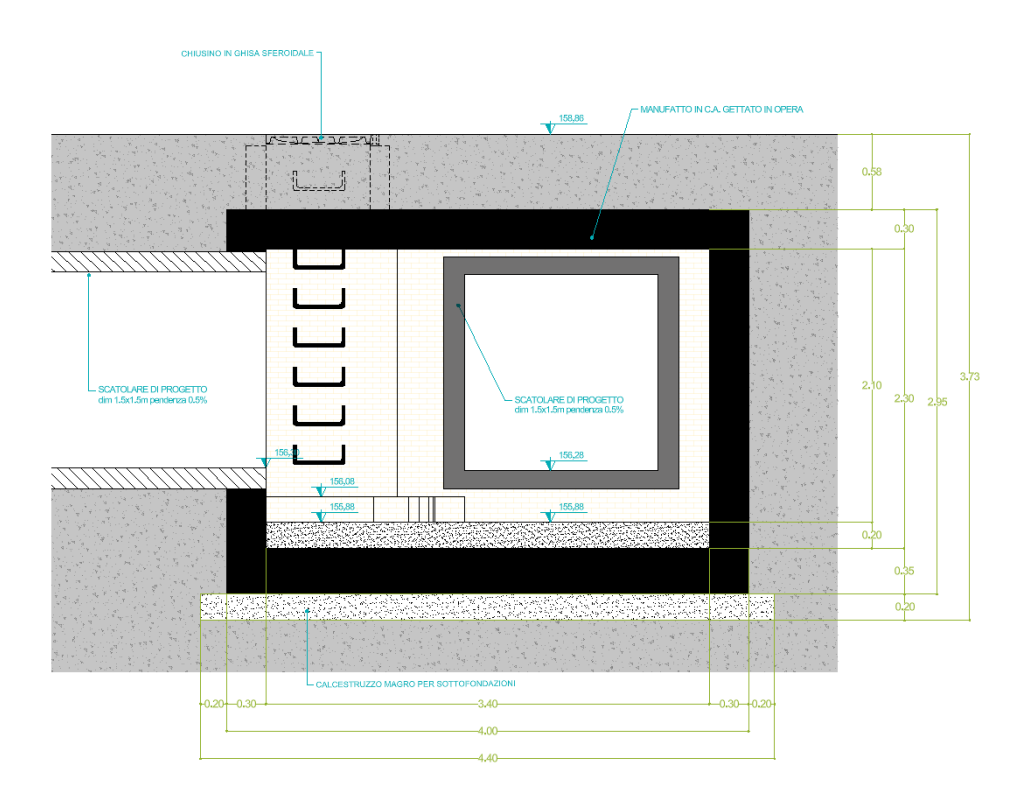


Figura 8 – Sezione pozzetto ripartitore.



➢ POZZETTO DI CURVA:

Pianta:

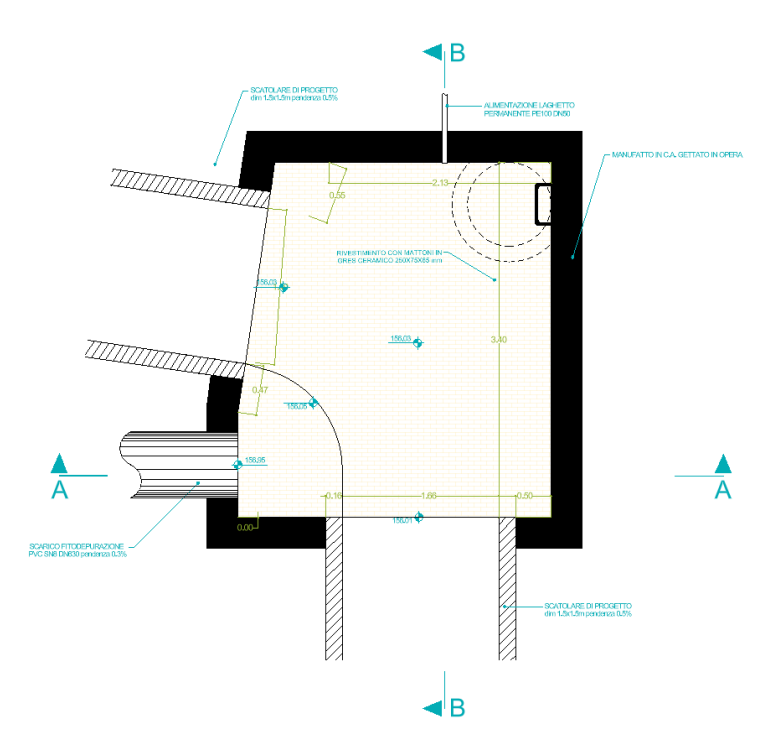


Figura 9 – Pianta pozzetto di curva.

Sezione:

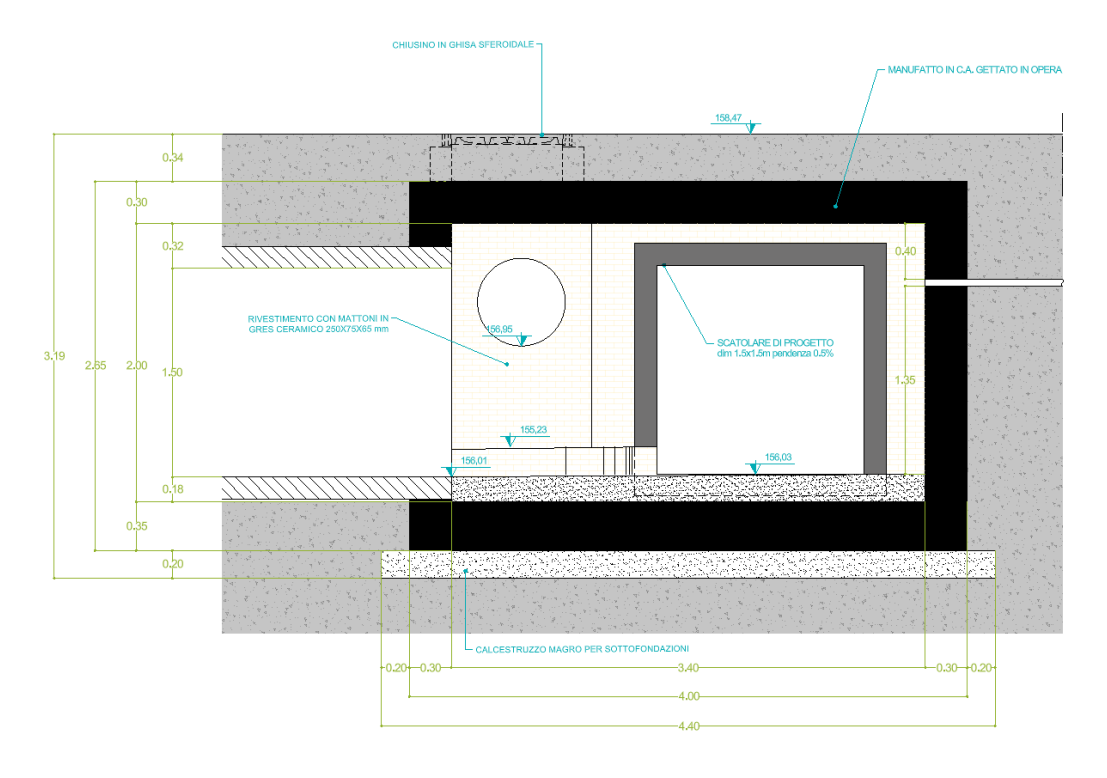


Figura 10 – Sezione pozzetto di curva.



3 NORMATIVA DI RIFERIMENTO

Le analisi e le verifiche sono eseguite secondo il metodo semi-probabilistico agli Stati Limite, in accordo alle disposizioni previste dalle vigenti Normative italiana ed europea.

In particolare, si fa riferimento alle seguenti norme:

- D.M. 17/01/2018: "Aggiornamento delle Norme Tecniche per le Costruzioni" GU n°8 del 17/2/2018.
- Circolare 21 gennaio 2019 n.7: "Istruzioni per l'applicazione dell'Aggiornamento delle Norme Tecniche per le Costruzioni" di cui al Decreto Ministeriale 17 gennaio 2018.
- UNI EN 206:2021: Calcestruzzo Specificazione, prestazione, produzione e conformità.
- UNI11104:2016: Calcestruzzo Specificazione, prestazione, produzione e conformità.
 Specificazioni complementari per l'applicazione della EN206.
- UNI EN 1990: Basi della progettazione strutturale.
- UNI EN 1991-1-6: Azioni sulle strutture Azioni in generale Azioni durante la costruzione.
- UNI EN 1991-2: Azioni sulle strutture Carichi da traffico sui ponti.
- UNI EN 1992: Progettazione delle strutture di calcestruzzo.
- UNI EN 1992-1-1: Progettazione delle strutture di calcestruzzo Regole generali e regole per gli edifici.
- UNI EN 1992-2: Progettazione delle strutture di calcestruzzo Ponti di calcestruzzo.
- UNI EN 1997: Progettazione geotecnica.
- UNI EN 1998: Progettazione delle strutture per la resistenza sismica.
- UNI EN 1998-2: Progettazione delle strutture per la resistenza sismica Ponti.
- UNI EN 1998-5:2005 Parte 5: Fondazioni, strutture di contenimento ed aspetti geotecnici.



4 CLASSE D'USO E VITA NOMINALE DELL'OPERA

La vita nominale di un'opera strutturale VN è intesa come il numero di anni nel quale la struttura, purché soggetta alla manutenzione ordinaria, deve potere essere usata per lo scopo al quale è destinata.

Sulla base delle indicazioni contenute nelle NTC2018, per l'opera in oggetto sono stati assunti una vita nominale pari a 50 anni ed una classe d'uso II, con conseguente utilizzo di un coefficiente d'uso CU pari a 1.00.

Il periodo di riferimento per il calcolo dell'azione sismica risulta pertanto pari a:

$$V_R = V_N \cdot C_U = 50 \cdot 1.00 = 50$$
 anni

<u>Classe II</u>: "Costruzioni il cui uso preveda normali affollamenti, senza contenuti pericolosi per l'ambiente e senza funzioni pubbliche e sociali essenziali. Industrie con attività non pericolose per l'ambiente. Ponti, <u>opere infrastrutturali</u>, reti viarie non ricadenti in Classe d'uso III o in Classe d'uso IV, reti ferroviarie <u>la cui interruzione non provochi situazioni di emergenza</u>. Dighe il cui collasso non provochi conseguenze rilevanti." (NTC18 – capitolo 2, §2.4.2: "CLASSI D'USO").



5 MATERIALI

I materiali ed i prodotti ad uso strutturale previsti per la realizzazione delle opere oggetto della presente relazione dovranno rispondere ai requisiti indicati al capitolo 11 del Decreto Ministeriale del 17 gennaio 2018 "Norme Tecniche per le Costruzioni". Questi dovranno essere identificati univocamente dal produttore, qualificati sotto la sua responsabilità ed accettati dal direttore dei lavori mediante acquisizione e verifica della documentazione di qualificazione, nonché mediante eventuali prove sperimentali di accettazione.

Sulla base delle verifiche effettuate in sito ed in conformità alle disposizioni normative vigenti si prevede per la realizzazione del progetto in analisi l'adozione dei materiali che saranno di seguito descritti.

Tutti i materiali, corrispondenti alle prescrizioni di legge, saranno della migliore qualità e saranno lavorati a perfetta regola d'arte. Tutti i materiali e i manufatti saranno sottoposti alle prove prescritte dalla legislazione vigente presso uno dei laboratori autorizzati, al fine di ottenere la massima garanzia sulla stabilità delle opere.

5.1 Durabilità dei materiali

Nell'ambito dei requisiti che devono avere le costruzioni in progetto, risulta di grande importanza curare gli aspetti legati alla durabilità. La durabilità dell'opera è intesa come capacità di conservazione delle caratteristiche fisiche e meccaniche delle strutture per tutta la vita di servizio prevista in progetto senza dover far ricorso ad interventi di manutenzione straordinaria per la sua vita utile. È, a questo scopo, importante curare alcuni aspetti della fase progettuale e della fase esecutiva.

Relativamente ai calcestruzzi utilizzati, gli inerti devono essere controllati come previsto dalla vigente normativa e gli impasti realizzati devono essere sotto il controllo costante dei tecnici addetti alla centrale di betonaggio. Specifiche procedure devono consentire una ottimizzazione del calcestruzzo prodotto per ciò che riguarda il rapporto acqua/cemento. La lavorabilità dell'impasto può essere ottenuta con l'ausilio di additivi i quali, senza alterarne le proprietà meccaniche, producono un impasto molto compatto e senza vuoti, ne abbassano la permeabilità e rendono la superficie esterna ben curata e priva di danneggiamenti. Infine, la resistenza a compressione deve essere controllata per mezzo di prove di schiacciamento su cubetti.



Gli acciai devono essere controllati come previsto dalla vigente normativa. Oltre a questo, la durabilità è ricercata attraverso armature non eccessivamente sollecitate a trazione in condizioni di esercizio e disposte all'interno del manufatto in modo tale da rispettare i copriferri indicati dalla normativa.

Per garantire il requisito di durabilità delle strutture in calcestruzzo armato ordinario, esposte all'azione dell'ambiente, si delineano qui di seguito le condizioni ambientali del sito dove sorgerà la costruzione. Tali condizioni possono essere suddivise in ordinarie, aggressive e molto aggressive in relazione a quanto indicato nelle norme UNI 11104 e UNI EN206, nonché nella Tab. 4.1.III delle NTC 2018 riportata di seguito.

Condizioni ambientali	Classe di esposizione
Ordinarie	X0, XC1, XC2, XC3, XF1
Aggressive	XC4, XD1, XS1, XA1, XA2, XF2, XF3
Molto aggressive	XD2, XD3, XS2, XS3, XA3, XF4

Figura 11 – Descrizione delle condizioni ambientali.

Per l'individuazione dell'ambiente di esposizione si è fatto riferimento al prospetto 1 delle norme sopracitate (UNI 11104 e UNI EN206) di cui si riporta nel seguito un estratto di interesse per l'opera in esame (corrosione indotta da carbonatazione).

2 Corrosione indotta	da carbonatazione	
classificata nel modo se Nota Le condizioni di casi si può cons	umidità si riferiscono a quelle presenti nel copriferro o nel iderare che tali condizioni riflettano quelle dell'ambiente c costante può essere adeguata. Questo può non essere il	ricoprimento di inserti metallici, ma in molti ircostante. In questi casi la classificazione
XC1	Asciutto o permanentemente bagnato	Calcestruzzo all'interno di edifici con bassa umidità relativa Calcestruzzo costantemente immerso in acqua
XC2	Bagnato, raramente asciutto	Superfici di calcestruzzo a contatto con acqua per lungo tempo Molte fondazioni
XC3	Umidità moderata	Calcestruzzo all'interno di edifici con umidità relativa dell'aria moderata oppure elevata Calcestruzzo esposto all'esterno protetto dalla pioggia
XC4	Ciclicamente bagnato ed asciutto	Superfici di calcestruzzo soggette al contatto con acqua, non nella classe di esposizione XC2

Figura 12 – Classi di esposizione.

La prima colonna identifica la classe di esposizione (sigla in lettere, seguita da una numerazione crescente con l'incremento dell'aggressività ambientale). Nella seconda colonna viene descritto l'ambiente con riferimento agli agenti aggressivi e alle condizioni termo-igrometriche, mentre nella



terza colonna sono riportati esempi di comuni situazioni del calcestruzzo che tipicamente rappresentano le condizioni di esposizione della specifica classe.

Per le opere in esame è stata assunta la classe di esposizione XC4.

Nel seguente prospetto (norma UNI11104) vengono indicati i requisiti del calcestruzzo in relazione alla classe di esposizione dello stesso. Nello specifico, per il caso in esame, per una classe di esposizione XC4, viene indicata come classe di resistenza minima la classe C32/40.

									Classi di	esposizio	ne							
	Nessun rischio di corrosione			delle arr		Corrosione delle arma			mature indotta da cloruri			Attacco da cicli di gelo/disgelo				Ambiente aggressivo per		
	dell'armatura	The second secon		lla carbonatazione		Acqua di mare		Cloruri provenienti da altre fonti						attacco chimico				
	X0	XC1	XC2	XC3	XC4	XS1	XS2	XS3	XD1	XD2	XD3	XF1	XF2	XF3	XF4	XA1	XA2	XA3
Massimo rapporto a / c		0,	60	0,55	0,50	0,50	0,	45	0,55	0,50	0,45	0,50	0,	50	0,45	0,55	0,50	0,45
Minima classe di resistenza	C12/15	C2	5/30	C30/37	C32/40	C32/40	C3:	5/45	C30/37	C32/40	C35/45	C32/40	C2	5/30	C30/37	C30/37,	32/40	35/45
Minimo contenuto in cemento (kg/m³) d		3	00	320	340	340	3	60	320	340	360	320	3	40	360	320	340	360
Contenuto minimo in aria (%)											-	ы		4,0ª				
Altri requisiti						E' richie cementi all'acqua secondo	resisten di man	nti e				conformi adeguata	fichiesto l'utilizzo di aggregati nformi alla UNI EN 12620 di leguata resistenza al lo/disgelo			In caso di esposizione a terreno o acqua del terreno comenente sollati nei limiti del prespetto 2 della UNI EN 205/2014, è richiesto l'impiego di cementi resistenti ai coltari?		
b) Qualora si riteng c) Cementi resister solfatica. La clas	struzzo non contiene EN/TS 12390 -9, UN er D _{apper} Interiori il fir la opportuno impiega nti ai soffati sono def ise di resistenza soffi ca il concetto di valor	I CEN/T nite min are calce initi dalla atica del	H 1517 imo and estruzzo a UNI El coment	7 o UNI 7 rà opporte aerato an N 197-1 e to deve es	087 per la unamente iche in cla: su base n sere presi	relativa di aumentato sse di espo azionale di celta in rela	asse di (ad ese osizione alla UNI ozione a	esposiz empio 5º XF1 si I 9156. I Na class	fone. II vai % per D _{opp} adottano li La UNI 91: se di espos	tore minim w tra 12 m e specifich 56 classif sizione del	o di aria ir m e 16 m e di comp ca i ceme calcestrui	nglobata d m), osizione p nti resister zzo secon	lel 4% p rescritte nti ai sol do il criti	per le c fati in tr	ersi adegu dassi XF2 e e classi: me	za al gelo/disg ato per calcest e XF3. oderata, alta e	altissima r	ificati

Figura 13 – Valori limite per la composizione e le proprietà del calcestruzzo.

Il calcolo del copriferro è condotto secondo il punto C4.1.6.1.3 della Circolare Esplicativa delle NTC2018 (Tabella C4.1.IV).

				barre da c.a. barre da c.a. elementi a piastra altri elementi				vi da c.a.p. enti a piastra	cavi da c.a.p. altri elementi	
C _{min}	Co	ambiente	C≥C ₀	C _{min} ≤C <c<sub>o</c<sub>	C≥C _o	C _{min} ≤C <c<sub>o</c<sub>	C≥C _o	C _{min} ≤C <c<sub>o</c<sub>	C≥C ₀	C _{min} ≤C⊲C _o
C25/30	C35/45	ordinario	15	20	20	25	25	30	30	35
C30/37	C40/50	aggressivo	25	30	30	35	35	40	40	45
C35/45	C45/55	molto ag.	35	40	40	45	45	50	50	50

Figura 14 – Copriferri minimi [mm].

Tali valori fanno riferimento a costruzioni con vita nominale V_N pari a 50 anni come nel caso in esame (si veda Tabella 2.4.I delle NTC2018 riportata di seguito).



	TIPI DI COSTRUZIONI	$f Valori minimi$ $f di f V_N$ (anni)
1	Costruzioni temporanee e provvisorie	10
2	Costruzioni con livelli di prestazioni ordinari	50
3	Costruzioni con livelli di prestazioni elevati	100

Figura 15 – Valori minimi della vita nominale V_N di progetto per i diversi tipi di costruzione.

Per elementi a piastra (con c_{min} <c<c0) il copriferro minimo è pari a 30 mm. A tale valore vanno aggiunte le tolleranze di posa, pari a 10 mm.

Si considera pertanto un copriferro uniforme su tutti gli elementi pari a 40 mm.



5.2 Caratteristiche materiali

5.2.1 Calcestruzzo

Le caratteristiche dei calcestruzzi sono definite in accordo con UNI-EN206-1 e CNR-UNI 11104. I copriferri sono definiti in base a NTC 2018.

Magrone di sottofondo:

Classe di resistenza minima: C12/15

Classe di esposizione: X0

Calcestruzzo per solette, fondazioni ed elevazioni:

Classe di resistenza: C32/40

Classe di esposizione: XC4

Copriferro: 40 mm

5.2.2 Acciaio per armature ordinarie

Acciaio in barre: B450C

Reti: B450A

Sovrapposizione: 50 diametri



6 CARATTERIZZAZIONE GEOTECNICA DELL'AREA

6.1 Indagini geognostiche

L'indagine si è articolata con attività in sito e con analisi in laboratorio dei campioni prelevati. Nel dettaglio, in sito, sono stati eseguiti:

- n. 4 sondaggi geognostici a carotaggio continuo a profondità compresa tra 5.00m e 15.00m;
- n. 9 sondaggi ambientali a profondità compresa tra 2.00m e 6.00m;
- esecuzione di prove penetrometriche dinamiche in foro;
- esecuzione di prove di permeabilità in terreno;
- prelievo di campioni per le analisi di laboratorio;
- esecuzione di n. 5 prove penetrometriche dinamiche continue SCPT;
- esecuzione 1 indagine MASW della lunghezza di 65m.

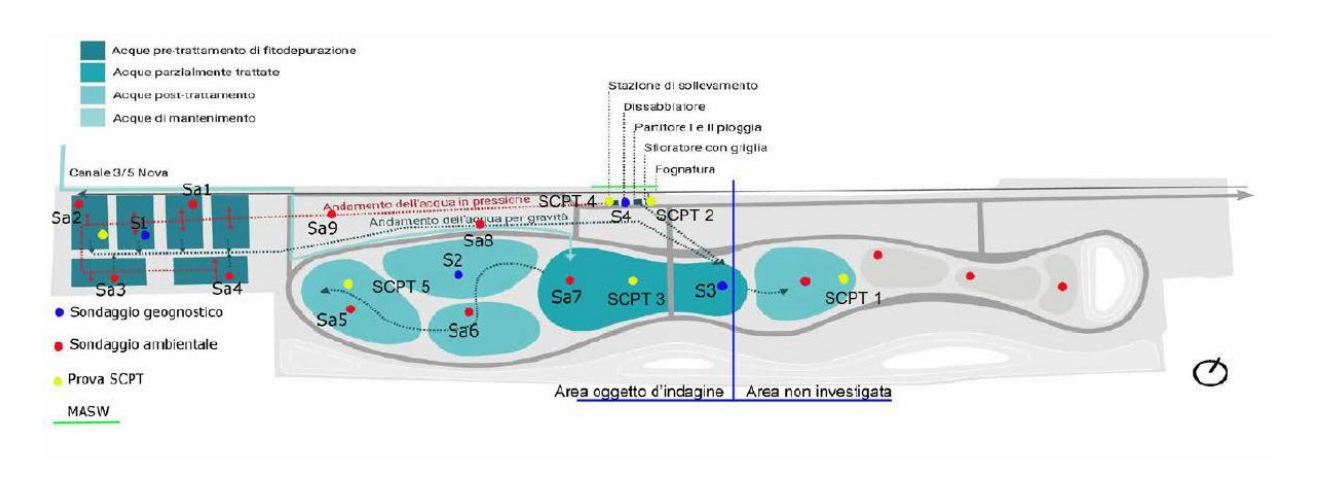


Figura 16 – Identificazione punti di sondaggio.



6.2 Modello geologico-geotecnico

Dalla relazione geologica e geotecnica emerge che, in tutte le indagini geognostiche eseguite, sono stati identificati principalmente due strati litologici:

• Strato 1: Limo sabbioso argilloso

Strato 2: Ghiaia e sabbia

Dalla relazione è possibile dedurre tale modello geologico-geotecnico locale:

	MODELLO GEOLOGICO-GEOTECNICO LOCALE										
Strato	Prof. (m)	Tipo di terreno	Nspt Medio	Angolo di resistenza al taglio	Coesione non drenata (Kg/cm²)	Densità relativa (t/m³)	Peso unità di volume (t/m³)	Peso unità di volume saturo (t/m³)	Modulo di Young (Kg/cm²)	Modulo di Poisson	
1	0 ÷ 420	Limi	4	φ = 22°- 23°	-	18.12	$\gamma = 1,40$	y = 1,87	E = 32	0.35	
2	420 ÷ 1500	Sabbia e ghiaia	20	φ = 32°- 33°	-	51.23	$\gamma = 1,60$	γ = 1,99	E = 160	0.31	

Figura 17 – Modello geologico-geotecnico.

Le opere previste, quali manufatto di sfioro, manufatto di sollevamento e pozzetto ripartitore sono localizzate in prossimità del sondaggio Sa8, mentre il pozzetto di curva è situato in prossimità del sondaggio S4.

Nel punto Sa8, lo spessore dello strato limoso risulta compreso tra 1.00 m e 1.20 m, mentre per il sondaggio S4, lo strato limoso, raggiunge una profondità massima di 2,00 m.

La falda acquifera non è stata riscontrata nei piezometri installati nei sondaggi.



7 CARATTERIZZAZIONE SISMICA

L'azione sismica sulle costruzioni è valutata a partire dalla "pericolosità sismica di base", in condizioni ideali di sito di riferimento rigido con superficie topografica orizzontale. L'azione sismica viene definita in relazione ad un periodo di riferimento VR che si ricava, per ciascun tipo di costruzione, moltiplicandone la vita nominale per il coefficiente d'uso (vedi tabella Parametri della struttura). Fissato il periodo di riferimento V_R e la probabilità di superamento P_{VR} associata a ciascuno degli stati limite considerati, si ottiene il periodo di ritorno T_R e i relativi parametri di pericolosità sismica (vedi tabella successiva):

- ag: accelerazione orizzontale massima del terreno
- F₀: valore massimo del fattore di amplificazione dello spettro in accelerazione orizzontale
- T_C*: periodo di inizio del tratto a velocità costante dello spettro in accelerazione orizzontale

Individuando nello SLV lo stato limite di riferimento si possono ricavare i principali parametri sismici utilizzati nelle verifiche delle opere in oggetto.

Il Comune di Paderno Dugnano è classificato in zona sismica 4.

Di seguito sono definiti i parametri sismici della struttura in oggetto:

Parametri sismici della struttura in oggetto										
Classe	Vita	Coeff.	Periodo	T_R	ag	F ₀	T _C *			
d'uso	V_{N}	Uso	V_R	[anni]	[g]	[-]	[s]			
	[anni]		[anni]							
II	50	1.5	75	475	0.048	2.649	0.279			

Tabella 1 – Vita nominane, classe d'uso della struttura e parametri sismici.

Parametri sismici della struttura in oggetto										
Tipo di	Categoria	S	a _{max}							
suolo	topografica		[m/s ²]							
С	T ₁	1.50	0.711							

Tabella 2 – Parametri sismici in funzione del terreno.



8 CRITERI DI CALCOLO

8.1 Codici di calcolo

L'analisi strutturale e la verifica delle sezioni in cemento armato è stata condotta tramite il programma di calcolo ad elementi finiti Midas Gen distribuito da Harpaceas s.r.l.

La verifica delle sezioni in cemento armato è eseguita mediante il software VCASLU – versione 7.7 (Verifica Cemento Armato Stato Limite Ultimo) sviluppato dal prof. Piero Gelfi.

Per l'elaborazione dei dati di input/output in generale e la creazione di tabelle di calcolo e riepilogative si adottano procedure opportunamente implementate in fogli elettronici Microsoft ® Office Excel.

Ai sensi del punto 10.2 delle NTC 2018, si dichiara quanto segue, relativamente all'impiego di strumenti di calcolo automatizzati. L'analisi strutturale e le verifiche sono state sviluppate con l'ausilio di codici di calcolo. I criteri di impiego sono dettagliatamente descritti nei vari capitoli della presente relazione. I codici di calcolo commerciali sono dotati della specifica raccolta di esempi rappresentativi, validati attraverso l'impiego di metodologie di verifica indipendente. Inoltre, la correttezza dei risultati ottenuti viene di volta in volta valutata mediante metodologie alternative, in particolare, attraverso calcolazione manuale.

8.2 Convenzioni generali

Salvo dove diversamente specificato, le unità di misura sono quelle relative al Sistema Internazionale, ovvero:

Lunghezze: [m]

Forze: [kN]

Tensioni: [MPa]

Per quanto riguarda le convenzioni di segno, si considerano, in generale, positive le trazioni.

Convenzioni specifiche verranno riportate nel prosieguo della presente relazione.



9 MODELLO DI CALCOLO

L'analisi strutturale è condotta mediante l'ausilio di modelli di calcolo ad elementi finiti sviluppati tramite l'utilizzo del software *Midas Gen*.

9.1 Modello di calcolo agli elementi finiti

La modellazione strutturale ad elementi finiti è stata effettuata con elementi piastra in modo da riprodurre in maniera accurata le caratteristiche geometriche, di vincolo, dei materiali e delle azioni agenti sulla struttura reale.

Sono state modellate tre, anziché quattro, tipologie di camerette in quanto, per il pozzetto ripartitore e il pozzetto di curva, si è adottato un modello unico, sollecitato con i carichi più gravosi tra quelli previsti, ritenuto rappresentativo per entrambe le strutture.

MANUFATTO DI SFIORO:

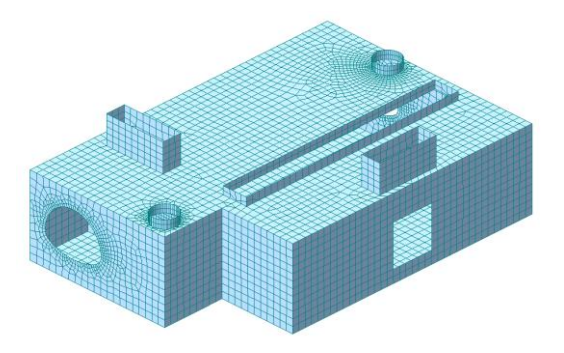


Figura 18 – Modello Midas, manufatto di sfioro.

MANUFATTO DI SOLLEVAMENTO:

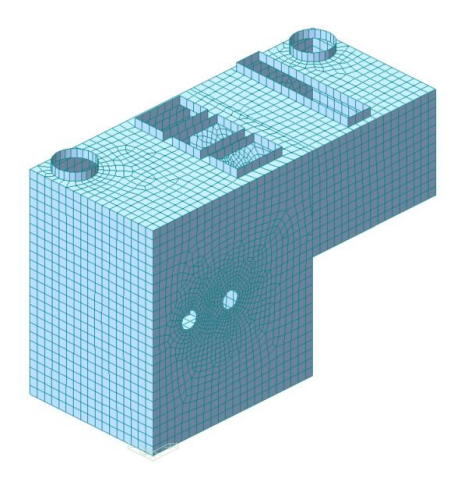


Figura 19 – Modello Midas, manufatto di sollevamento.



> POZZETTO RIPARTITORE:

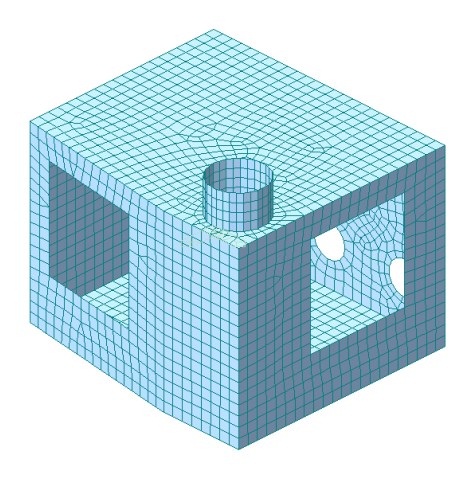


Figura 20 – Modello Midas, pozzetto ripartitore.



9.1.1 Caratterizzazione del terreno

Per simulare l'interazione terreno-struttura, nel modello di calcolo sono state introdotte opportune molle.

Le opere sono state modellate utilizzando molle alla Winkler, calibrate sulla base dei dati stratigrafici emersi dalle indagini, trascurando il modello geologico-geotecnico locale.

Le rigidezze sono ottenute considerando una costante di sottofondo pari a: k = E / B e successivamente moltiplicando tale valore per la lunghezza di influenza di ciascun nodo si ottiene la rispettiva rigidezza associata alla porzione di mesh.

MANUFATTO DI SFIORO:

Le rigidezze sono ottenute considerando una costante di sottofondo pari a:

$$k = E / B = 16000 \text{ kN/m}^2 / 8.35 \text{ m} = 1916.17 \text{ kN/m}^3$$

Moltiplicando per la lunghezza di influenza di ciascun nodo si ottiene:

- o $k_v = 1916.17 \text{ kN/m}^3 \text{ x } 0.25 \text{ m x } 0.25 \text{ m} = 119.76 \text{ kN/m}$
- \circ $k_h = 0.5 \cdot k_v = 59.88 \text{ kN/m}$

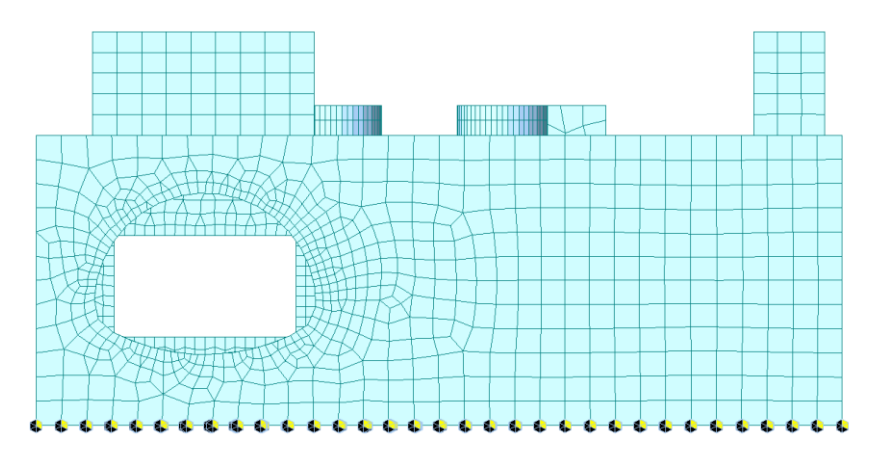


Figura 21 – Modellazione molle elastiche simulanti il terreno.

> MANUFATTO DI SOLLEVAMENTO:

Le rigidezze sono ottenute considerando una costante di sottofondo pari a:

$$k_1 = E_1 / B_1 = 16000 \text{ kN/m}^2 / 3.60 \text{ m} = 4444.44 \text{ kN/m}^3$$

$$k_2 = E_2 / B_2 = 16000 \text{ kN/m}^2 / 4.60 \text{ m} = 3478.26 \text{ kN/m}^3$$

Moltiplicando per la lunghezza di influenza di ciascun nodo si ottiene:

$$\circ$$
 $k_{v,1} = 4444.44 \text{ kN/m}^3 \text{ x } 0.20 \text{ m x } 0.20 \text{ m} = 177.78 \text{ kN/m}$

$$\circ$$
 $k_{h,1} = 0.5 \cdot k_{v,1} = 88.89 \text{ kN/m}$



- \circ $k_{v,2} = 3478.26 \text{ kN/m}^3 \text{ x } 0.20 \text{ m x } 0.20 \text{ m} = 139.13 \text{ kN/m}$
- \circ $k_{h,1} = 0.5 \cdot k_{v,1} = 69.57 \text{ kN/m}$

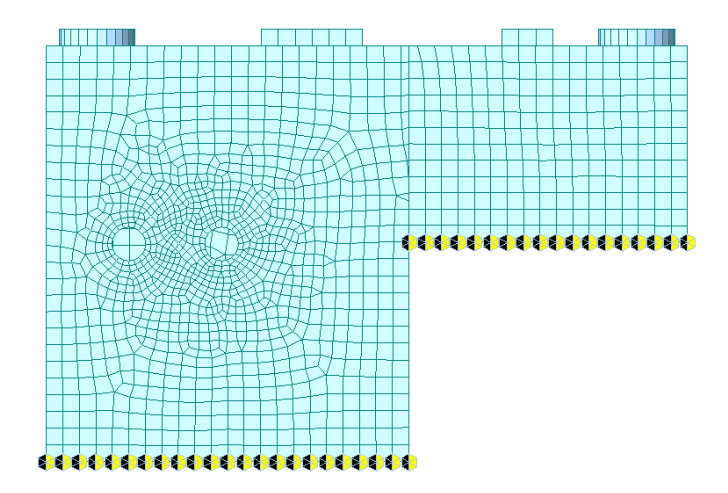


Figura 22 – Modellazione molle elastiche simulanti il terreno.

MANUFATTO DI SFIORO:

Le rigidezze sono ottenute considerando una costante di sottofondo pari a:

$$k = E / B = 16000 \text{ kN/m}^2 / 4.00 \text{ m} = 4000.00 \text{ kN/m}^3$$

Moltiplicando per la lunghezza di influenza di ciascun nodo si ottiene:

- \circ k_v = 4000.00 kN/m³ x 0.15 m x 0.15 m = 90.00 kN/m
- \circ $k_h = 0.5 \cdot k_v = 45.00 \text{ kN/m}$

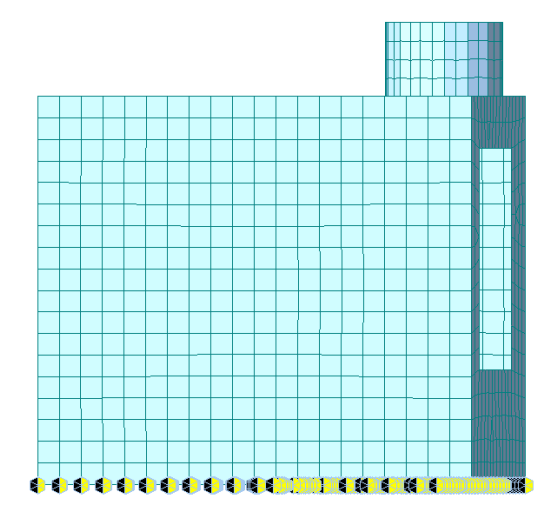


Figura 23 – Modellazione molle elastiche simulanti il terreno.



10 ANALISI DEI CARICHI

Si procede di seguito nella definizione dei carichi agenti sull'opera.

10.1 Pesi propri

I pesi propri degli elementi sono stati valutati secondo i pesi specifici dei materiali:

• Opere in c.a.: 25.0 kN/m³

Il peso proprio strutturale (Dead Load) è conteggiato in automatico dal programma di calcolo in funzione del peso specifico del calcestruzzo ($\gamma_c = 25 \text{ kN/m}^3$).

10.2 Sovraccarichi permanenti

I sovraccarichi permanenti gravanti sulla struttura sono stati valutati considerando un peso specifico del terreno di riporto pari a 20 kN/m³.

MANUFATTO DI SFIORO:

0	Peso proprio terreno in copertura (h=0.21 m):	4.20 kN/m ²
0	Massetto SEZ.1 (h=0.63 m):	11.34 kN/m ²
0	Massetto SEZ.2 (h=0.20 m):	3.60 kN/m^2
0	Peso proprio chiusino (distrib. su perimetro):	0.30 kN/m
0	Griglia interna (1500kg – distrib. lin.):	1.67kN/m

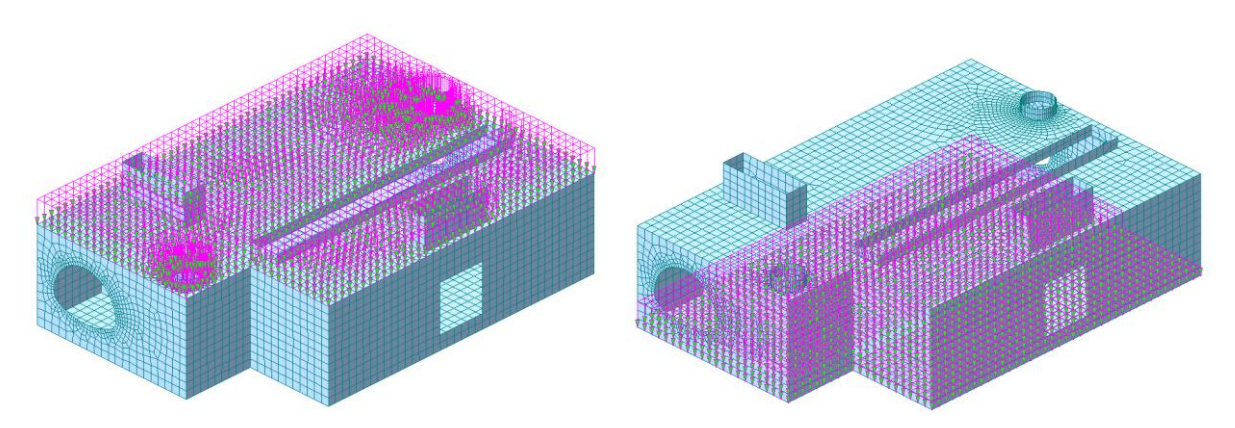


Figura 24 – Sovraccarichi permanenti: sx: ricoprimento, dx: massetto.



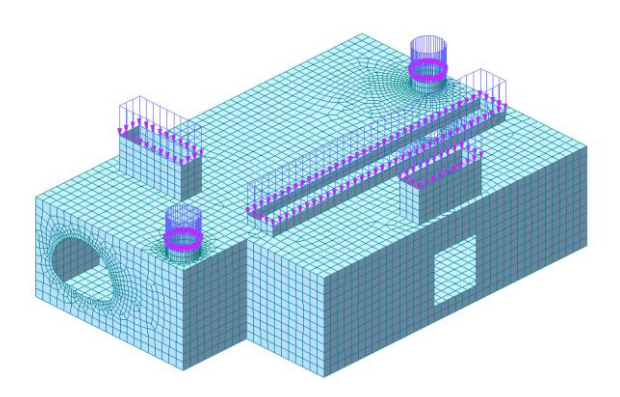


Figura 25 – Sovraccarico permanente: chiusini.

MANUFATTO DI SOLLEVAMENTO:

Peso proprio terreno in copertura (h=0.30 m):
 6.00 kN/m²

Peso proprio chiusino (distrib. su perimetro):0.30 kN/m

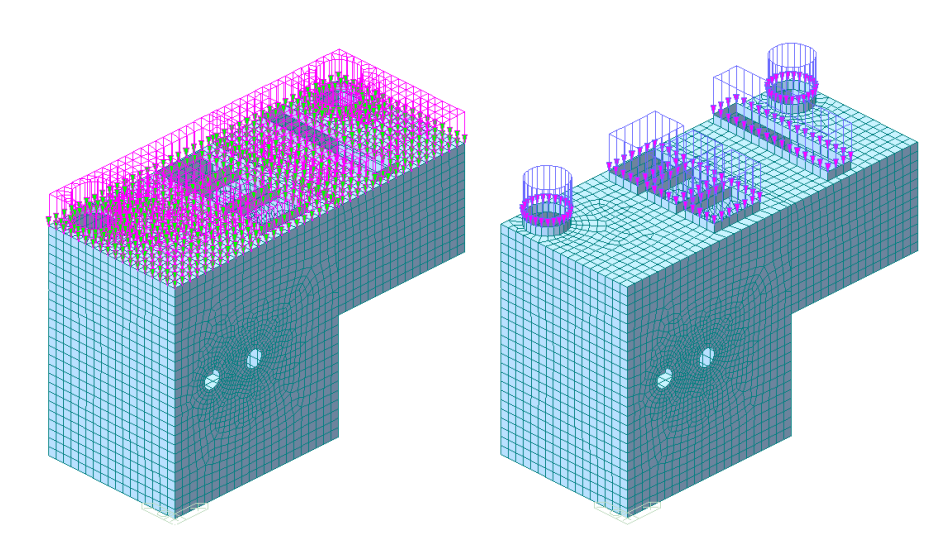


Figura 26 – Sovraccarichi permanenti: sx: ricoprimento, dx: chiusini.

MANUFATTO DI SOLLEVAMENTO:

Peso proprio terreno in copertura (h=0.56 m):
 11.20 kN/m²

o Massetto (h=0.20 m): 4.00 kN/m²

Peso proprio chiusino (distrib. su perimetro):
 0.30 kN/m



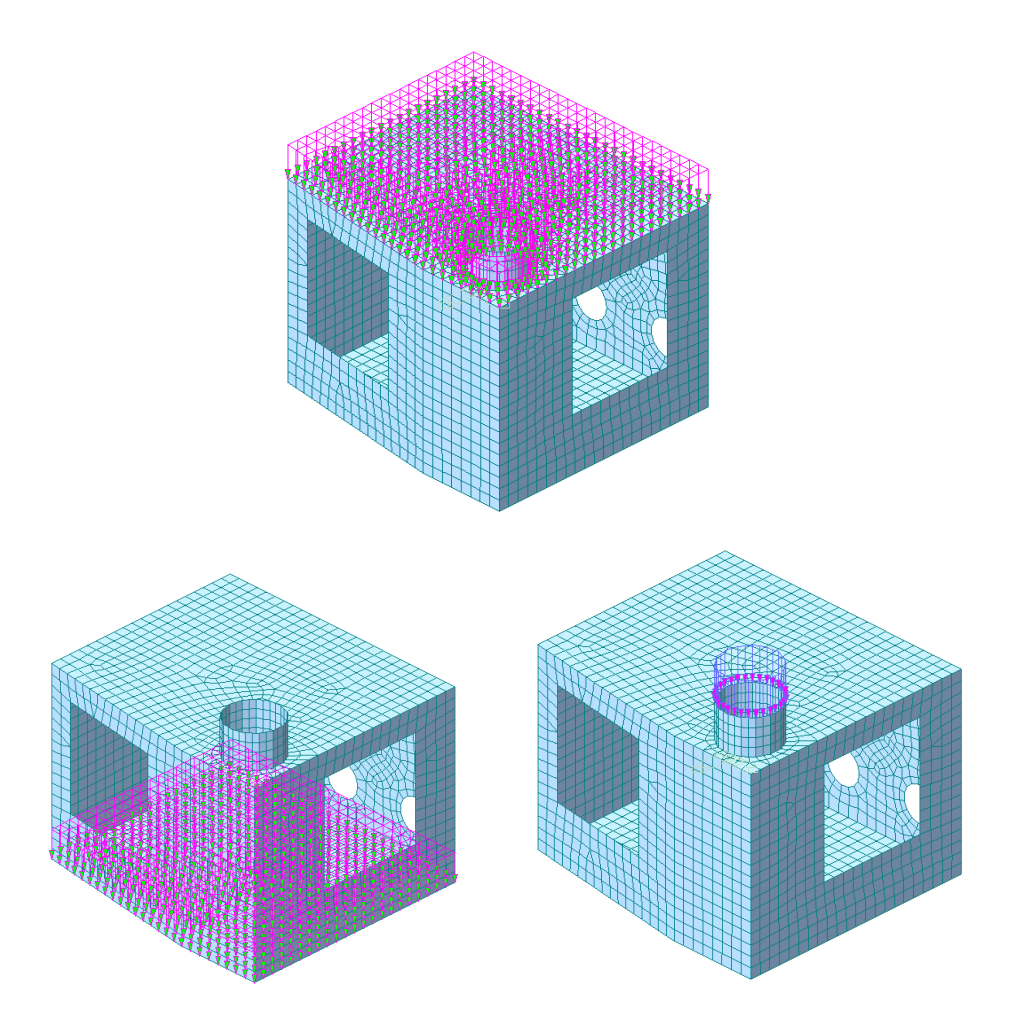


Figura 27 – Sovraccarichi permanenti: sopra: ricoprimento, sotto sx: massetto, sotto dx: chiusino.



10.3 Spinta del terreno in condizioni statiche

La spinta delle terre è valutata mediante il coefficiente di spinta a riposo k_0 , calcolato in accordo alla seguente espressione:

$$k_0 = 1-\sin(\phi')$$

dove φ' è pari a 22° per terreno di tipo limoso che varia tra -1.00 m e -1.20 m e pari a 32° per terreno tipo sabbioso/ghiaioso (oltre -1.20 m).

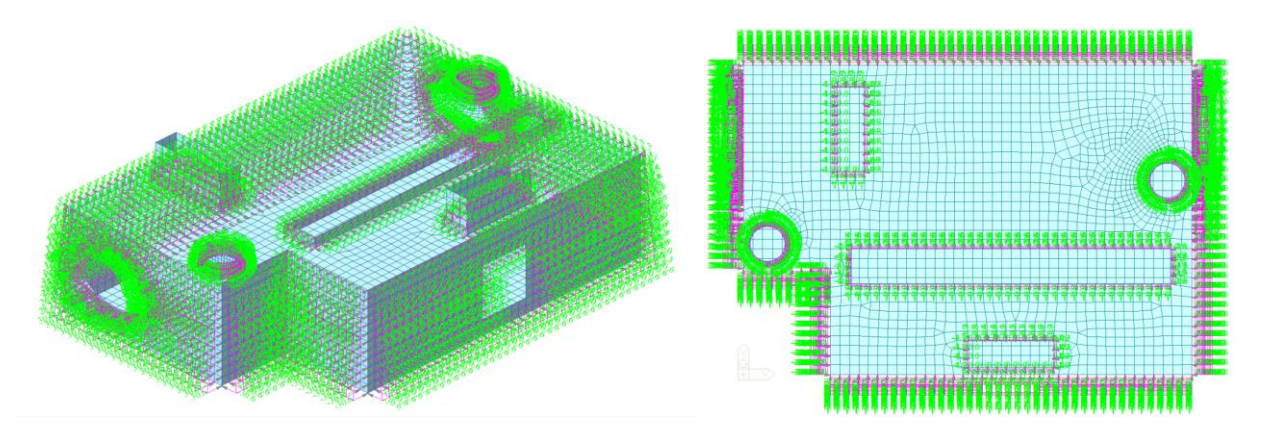


Figura 28 – Spinta delle terre a riposo, cameretta di sfioro.

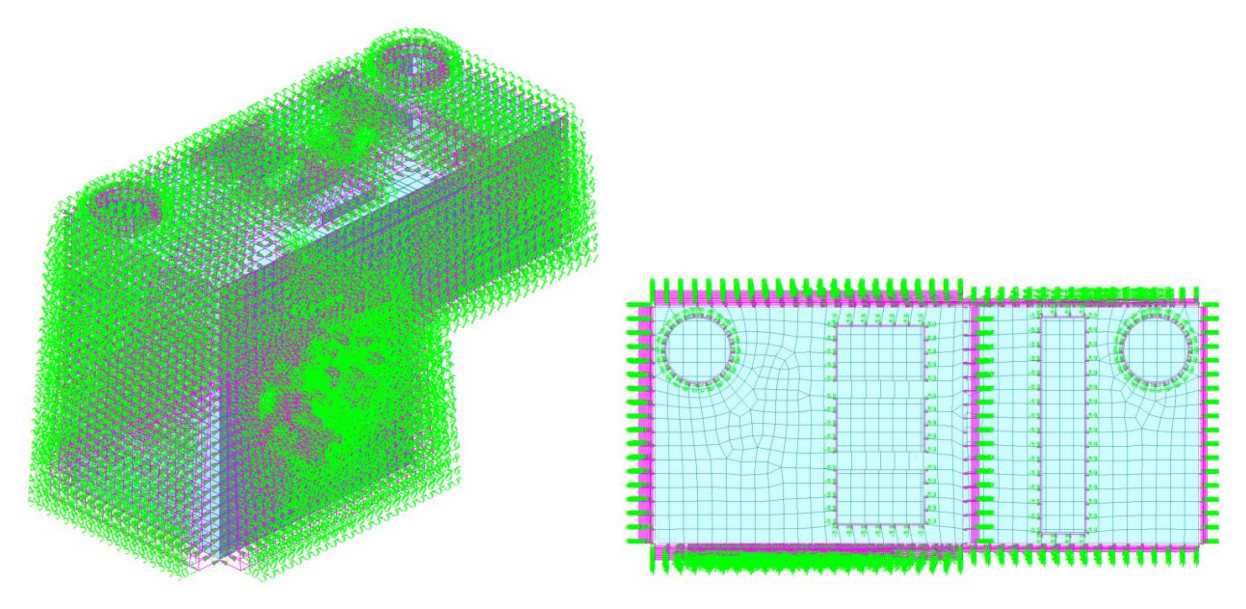


Figura 29 – Spinta terra a riposo, cameretta di sollevamento.



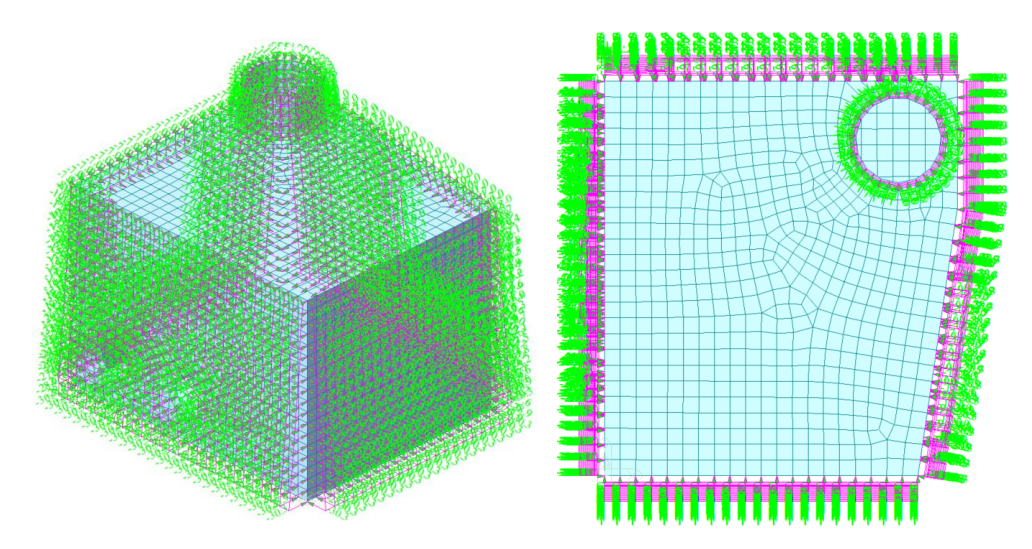


Figura 30 – Spinta terra a riposo, pozzetto ripartitore.



10.4 Azione variabile (da traffico e da folla)

Per la sola cameretta di sfioro, situata al di sotto di una viabilità di servizio, si adotta, in via cautelativa e a favore della sicurezza, un'azione da traffico veicolare pari a 40,00 kN/m², corrispondente al transito occasionale di mezzi. Per tutti gli altri manufatti, si considera in copertura un carico variabile da folla pari a 5,00 kN/m².

MANUFATTO DI SFIORO:

o Azione variabile da traffico: 40.00 kN/m²

Azione variabile da folla:
 5.00 kN/m²

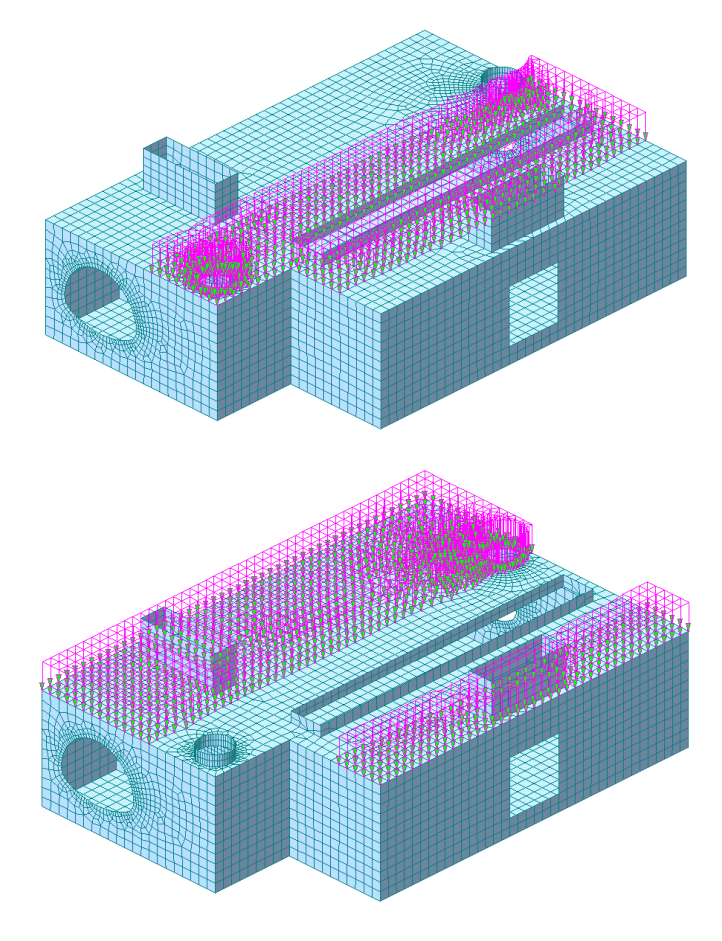


Figura 31 – Azione variabile da traffico (sopra) e da folla (sotto).



> MANUFATTO DI SOLLEVAMENTO:

o Azione variabile da folla:

 5.00 kN/m^2

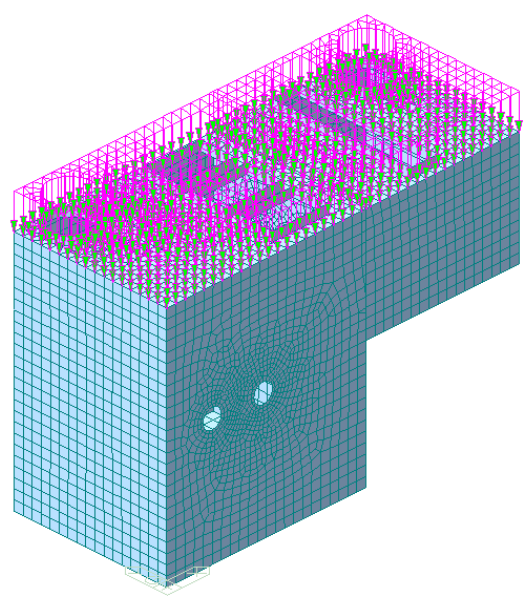


Figura 32 – Azione variabile da folla.

POZZETTO RIPARTITORE:

Azione variabile da folla:

5.00 kN/m²

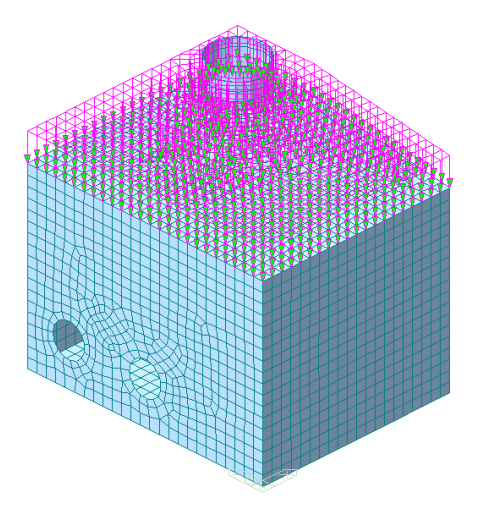


Figura 33 – Azione variabile da folla.



10.5 Spinta laterale azione variabile

Il sovraccarico laterale da traffico viene applicato sulle pareti moltiplicando il valore del carico verticale per il coefficiente di spinta a riposo K₀.

A favore di sicurezza il valore K_0 è stato valutato solamente e per tutte le opere con angolo di attrito più gravoso ($\phi' = 22^{\circ}$).

MANUFATTO DI SFIORO:

- Sovraccarico sulle pareti da traffico: 40.00 kN/m² x 0.63 = 25.02 kN/m²
- Sovraccarico sulle pareti da folla: 5.00 kN/m² x 0.63 = 3.13 kN/m²

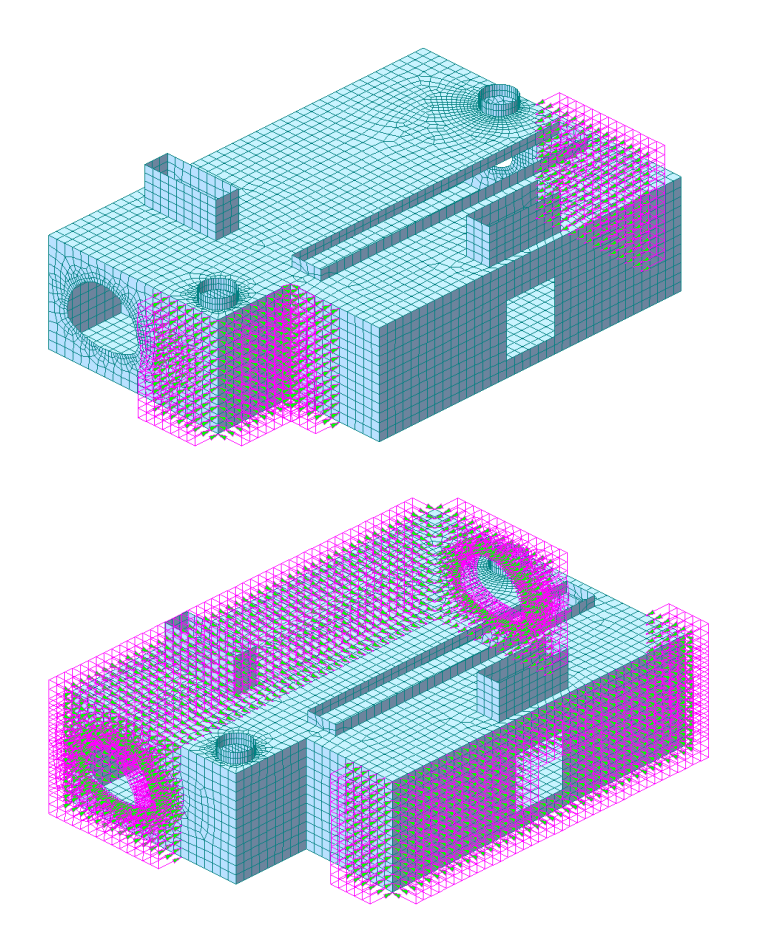


Figura 34 – Spinta laterale su pareti da traffico (sopra) e da folla (sotto).

MANUFATTO DI SOLLEVAMENTO:

Sovraccarico sulle pareti da folla: 5.00 kN/m² x 0.63 = 3.13 kN/m²



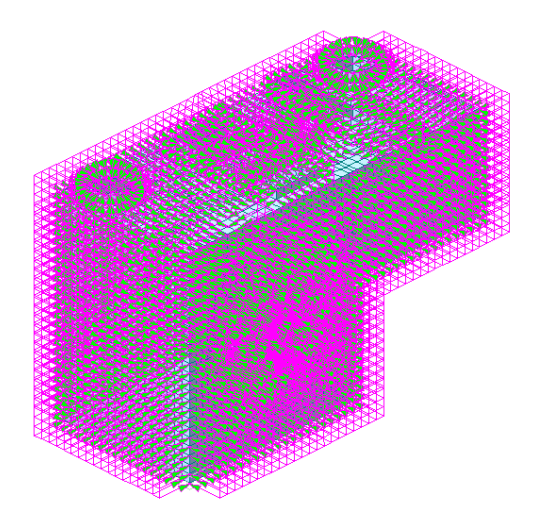


Figura 35 – Spinta laterale su pareti da folla.

POZZETTO RIPARTITORE:

Sovraccarico sulle pareti da folla: 5.00 kN/m² x 0.63 = 3.13 kN/m²

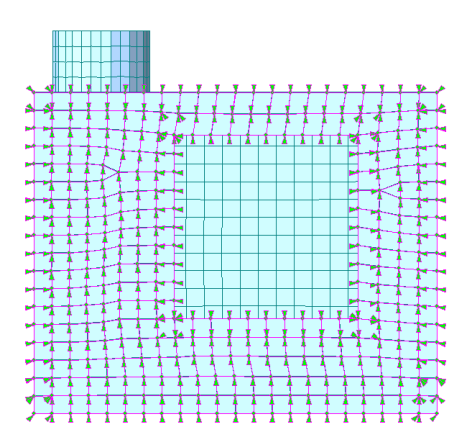


Figura 36 – Spinta laterale da folla.



10.6 Azione variabile: spinta dell'acqua

Le camerette saranno soggette a un'azione variabile dovuta alla pressione interna dell'acqua.

Nel calcolo strutturale verranno considerate entrambe le condizioni limite:

- il caso in cui non sia presente acqua all'interno della cameretta
- il caso in cui la cameretta risulti completamente piena d'acqua, generando quindi la massima pressione interna sulle pareti e sulla soletta di fondazione

Sono stati inoltre considerati e inviluppati i casi in cui una o più sezioni degli elementi strutturali risultano piene, vuote o in combinazione tra loro, tenendo conto del fatto che alcune strutture sono suddivise in scompartimenti.

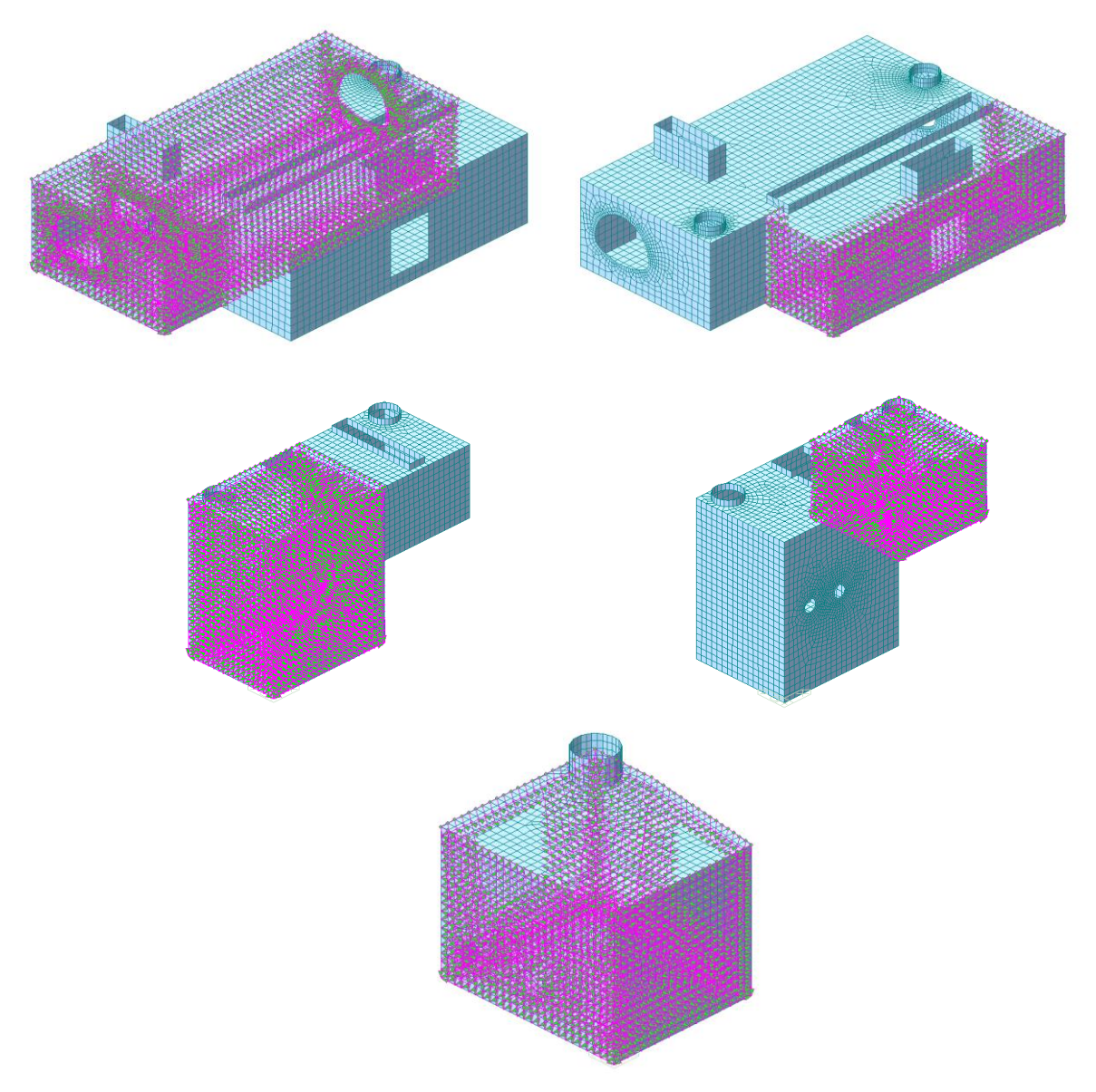


Figura 37 – Spinta dell'acqua: sopra cameretta di sfioro, centro cameretta di sollevamento e sotto pozzetto ripartitore.



10.7 Spinta del terreno in condizioni sismiche

La sovra spinta indotta dal sisma è stata stimata con il metodo di Wood mediante la seguente espressione, riferita ad una parete di sviluppo unitario:

$$\Delta P = a_g/g \cdot S \cdot \gamma \cdot H^2$$

con ΔP forza applicata ad una altezza di H/2.

L'equivalente pressione uniforme applicata per tutta l'altezza della parete si ottiene dividendo la forza risultante per H, ovvero applicando la formula:

$$\Delta P = a_g/g \cdot S \cdot \gamma \cdot H$$

Tale formula è valida per manufatti di altezza contenuta soggetti a deformazioni molto contenute, come nel caso delle strutture in esame.

MANUFATTO DI SFIORO:

La sovra spinta è applicata come una pressione uniforme pari a:

$$\Delta P = 0.048 \times 1.5 \times 20 \text{ kN/m}^3 \times (3.30) \text{ m} = 4.75 \text{ kN/m}^2$$

MANUFATTO DI SOLLEVAMENTO:

La sovra spinta è applicata come una pressione uniforme pari a:

$$\Delta P = 0.048 \times 1.5 \times 20 \text{ kN/m}^3 \times (5.25) \text{ m} = 7.56 \text{ kN/m}^2$$

POZZETTO RIPARTITORE:

La sovra spinta è applicata come una pressione uniforme pari a:

$$\Delta P = 0.048 \text{ x} 1.5 \text{ x} 20 \text{ kN/m}^3 \text{ x} (2.95) \text{ m} = 4.25 \text{ kN/m}^2$$

10.8 Forze inerziali strutturali

Le forze di inerzia strutturali, legate all'evento sismico, sono conteggiate automaticamente dal programma di calcolo applicando alla massa degli elementi strutturali l'accelerazione massima orizzontale di progetto ($a_{max}=a_g/g \cdot S$). Si trascura la componente verticale.



11 COMBINAZIONI DI CARICO

Ai fini delle verifiche degli stati limite si definiscono le seguenti combinazioni delle azioni (cap.2.5.3 delle NTC2018).

• Combinazione fondamentale, generalmente impiegata per gli stati limite ultimi (SLU):

$$\gamma_{G1} \cdot G_1 + \gamma_{G2} \cdot G_2 + \gamma_{P} \cdot P + \gamma_{O1} \cdot Q_{k1} + \gamma_{O2} \cdot \psi_{O2} \cdot Q_{k2} + \gamma_{O3} \cdot \psi_{O3} \cdot Q_{k3} + \dots$$

• Combinazione caratteristica (rara), generalmente impiegata per gli stati limite di esercizio (SLE) irreversibili:

$$G_1 + G_2 + P + Q_{k1} + \psi_{02} \cdot Q_{k2} + \psi_{03} \cdot Q_{k3} + \dots$$

• Combinazione frequente, generalmente impiegata per gli stati limite di esercizio (SLE) reversibili:

$$G_1 + G_2 + P + \psi_{11} \cdot Q_{k1} + \psi_{22} \cdot Q_{k2} + \psi_{23} \cdot Q_{k3} + \dots$$

• Combinazione quasi permanente (SLE), generalmente impiegata per gli effetti a lungo termine:

$$G_1 + G_2 + P + \psi_{21} \cdot Q_{k1} + \psi_{22} \cdot Q_{k2} + \psi_{23} \cdot Q_{k3} + \dots$$

• Combinazione sismica, impiegata per gli stati limite ultimi e di esercizio connessi all'azione sismica E:

$$E + G_1 + G_2 + P + \psi_{21} \cdot Q_{k1} + \psi_{22} \cdot Q_{k2} + \dots$$

• Combinazione eccezionale, impiegata per gli stati limite ultimi connessi alle azioni eccezionali di progetto:

$$G_1 + G_2 + P + A_d + \psi_{21} \cdot Q_{k1} + \psi_{22} \cdot Q_{k2} + \dots$$



11.1 Coefficienti parziali di sicurezza e coefficienti di combinazione

I coefficienti parziali di sicurezza γ_G e γ_Q sono dati nella tabella 2.6.I delle NTC2018.

Tab. 2.6.I - Coefficienti parziali per le azioni o per l'effetto delle azioni nelle verifiche SLU

		Coefficiente	EQU	A1	A2
		$\gamma_{\mathtt{F}}$			
Cariabi assessanti Ca	Favorevoli	2/	0,9	1,0	1,0
Carichi permanenti Gı	Sfavorevoli	ΥG1	1,1	1,3	1,0
Coninhi announce i ann atauttuurli Co(l)	Favorevoli	3/	0,8	0,8	0,8
Carichi permanenti non strutturali G2 ⁽¹⁾	Sfavorevoli	Υ _{G2}	1,5	1,5	1,3
Azioni variabili O	Favorevoli	2/	0,0	0,0	0,0
Azioin variabili Q	Sfavorevoli	Ϋ́Qi	1,5	1,5	1,3

Nel caso in cui l'intensità dei carichi permanenti non strutturali o di una parte di essi (ad es. carichi permanenti portati) sia ben definita in fase di progetto, per detti carichi o per la parte di essi nota si potranno adottare gli stessi coefficienti parziali validi per le azioni permanenti.

Figura 38 – Coefficienti parziali per le azioni o per l'effetto delle azioni nelle verifiche SLU (Tab.2.6.I delle NTC2018).

Tab. 5.1.V - Coefficienti parziali di sicurezza per le combinazioni di carico agli SLU

		Coefficiente	EQU ⁽¹⁾	A1	A2
Azioni permanenti g ₁ e g ₃	favorevoli sfavorevoli	γ _{G1} e γ _{G3}	0,90 1,10	1,00 1,35	1,00 1,00
Azioni permanenti non strutturali ⁽²⁾ g ₂	favorevoli sfavorevoli	Υ _{G2}	0,00 1,50	0,00 1,50	0,00 1,30
Azioni variabili da traffico	favorevoli sfavorevoli	Υο	0,00 1,35	0,00 1,35	0,00 1,15
Azioni variabili	favorevoli sfavorevoli	ΥQi	0,00 1,50	0,00 1,50	0,00 1,30
Distorsioni e presollecita- zioni di progetto	favorevoli sfavorevoli	Υ ε1	0,90 1,00 ⁽³⁾	1,00 1,00 ⁽⁴⁾	1,00 1,00
Ritiro e viscosità, Cedimenti vincolari	favorevoli sfavorevoli	Υε2' Υε3' Υε 4	0,00 1,20	0,00 1,20	0,00 1,00

⁽i) Equilibrio che non coinvolga i parametri di deformabilità e resistenza del terreno; altrimenti si applicano i valori della colonna A2.

Figura 39 – Coefficienti parziali di sicurezza per le combinazioni di carico agli SLU (Tab.5.1V delle NTC2018).

I valori dei coefficienti di combinazione ψ_0 , ψ_1 e ψ_2 sono riportati nella tabella 2.5.I delle NTC2018.

⁽²⁾Nel caso in cui l'intensità dei carichi permanenti non strutturali, o di una parte di essi (ad esempio carichi permanenti portati), sia ben definita in fase di progetto, per detti carichi o per la parte di essi nota si potranno adottare gli stessi coefficienti validi per le azioni permanenti.

^{(3) 1,30} per instabilità in strutture con precompressione esterna

^{(4) 1,20} per effetti locali



 ${\bf Tab.~2.5.I}-Valori~dei~coefficienti~di~combinazione$

Categoria/Azione variabile		Ψ_{1j}	ψ_{2j}	
Categoria A - Ambienti ad uso residenziale	0,7	0,5	0,3	
Categoria B - Uffici	0,7	0,5	0,3	
Categoria C - Ambienti suscettibili di affollamento	0,7	0,7	0,6	
Categoria D - Ambienti ad uso commerciale		0,7	0,6	
Categoria E – Aree per immagazzinamento, uso commerciale e uso industriale Biblioteche, archivi, magazzini e ambienti ad uso industriale	1,0	0,9	0,8	
Categoria F - Rimesse , parcheggi ed aree per il traffico di veicoli (per autoveicoli di peso $\le 30~\mathrm{kN})$	0,7	0,7	0,6	
Categoria G – Rimesse, parcheggi ed aree per il traffico di veicoli (per autoveicoli di peso $> 30~\mathrm{kN})$	0,7	0,5	0,3	
Categoria H - Coperture accessibili per sola manutenzione	0,0	0,0	0,0	
Categoria I – Coperture praticabili		da valutarsi caso per		
Categoria K – Coperture per usi speciali (impianti, eliporti,)		caso		
Vento		0,2	0,0	
Neve (a quota ≤ 1000 m s.l.m.)		0,2	0,0	
Neve (a quota > 1000 m s.l.m.)		0,5	0,2	
Variazioni termiche		0,5	0,0	

Figura 40 – Valori dei coefficienti di combinazione (Tab.2.5. I delle NTC2018).

 ${\bf Tab.~5.1.VI \cdot Coefficienti~\psi~per~le~azioni~variabili~per~ponti~stradali~e~pedonali}$

Azioni	Gruppo di azioni (Tab. 5.1.IV)	Coefficiente Ψ ₀ di combi- nazione	Coefficiente Ψ ₁ (valori frequenti)	Coefficiente ψ_2 (valori quasi permanenti)
	Schema 1 (carichi tandem)	0,75	0,75	0,0
	Schemi 1, 5 e 6 (carichi distribuiti	0,40	0,40	0,0
Azioni da traffico	Schemi 3 e 4 (carichi concentrati)	0,40	0,40	0,0
(Tab. 5.1.IV)	Schema 2	0,0	0,75	0,0
	2	0,0	0,0	0,0
	3	0,0	0,0	0,0
	4 (folla)		0,75	0,0
	5	0,0	0,0	0,0
	a ponte scarico SLU e SLE	0,6	0,2	0,0
a	in esecuzione	0,8	0,0	0,0
	a ponte carico SLU e SLE	0,6	0,0	0,0
Neve	SLU e SLE	0,0	0,0	0,0
	in esecuzione	0,8	0,6	0,5
Temperatura	SLU e SLE	0,6	0,6	0,5

Figura 41 – Coefficienti ψ per le azioni variabili per ponti stradali e pedonali (Tab.5.1.VI delle NTC2018).



12 RISULTATI DELLE ANALISI

Di seguito sono riportati i diagrammi delle principali sollecitazioni (momenti flettenti, sforzi taglianti e sforzi assiali) agenti sugli elementi strutturali principali: muri, soletta di fondazione e soletta di copertura.

Le sollecitazioni sono riportate in corrispondenza dell'inviluppo delle combinazioni di carico previste per lo Stato Limite Ultimo (SLU), per gli Stati Limite di Esercizio (SLE) e per lo Stato Limite di Salvaguardia della Vita (SLV). Per evitare di appesantire la relazione con un numero eccessivo di immagini estratte dal programma di calcolo *Midas*, si presentano unicamente le sollecitazioni relative allo Stato Limite Ultimo, inclusa la combinazione sismica dello Stato Limite di Salvaguardia della Vita, e agli Stati Limite di Esercizio in combinazione caratteristica, limitatamente alle principali tipologie strutturali analizzate.

12.1 Manufatto di sfioro

12.1.1 Soletta di fondazione

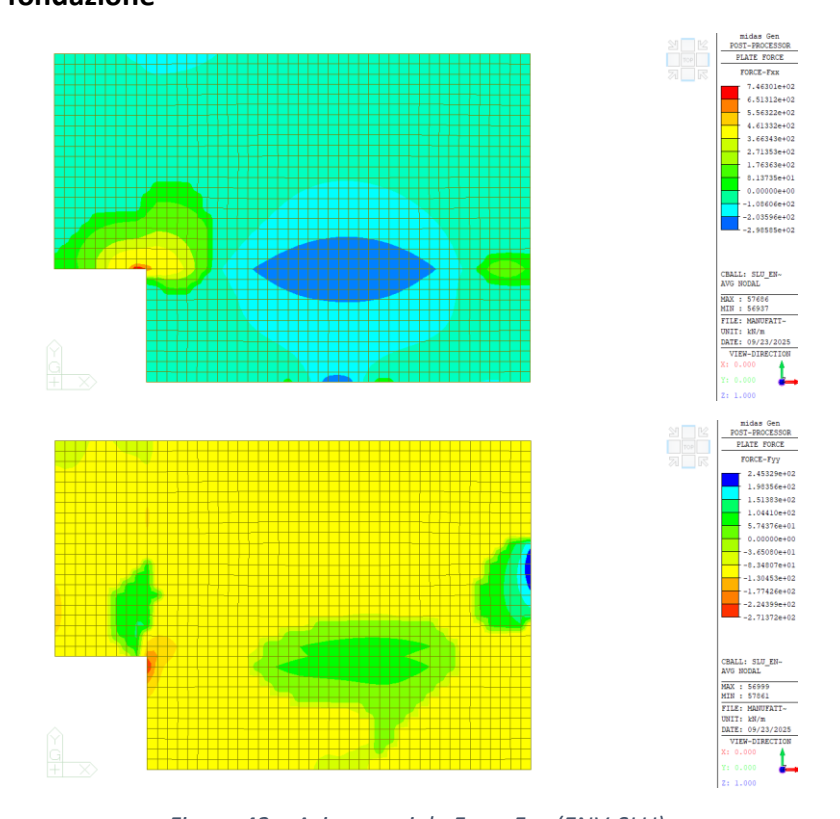


Figura 42 – Azione assiale Fxx e Fyy (ENV-SLU).



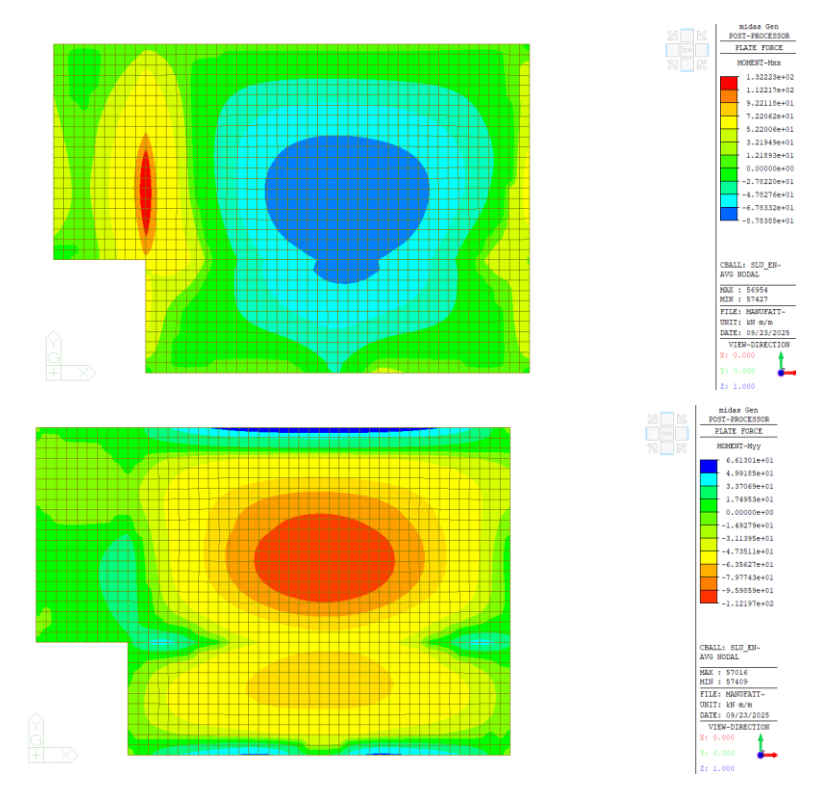


Figura 43 – Momento flettente Mxx e Myy (ENV-SLU).

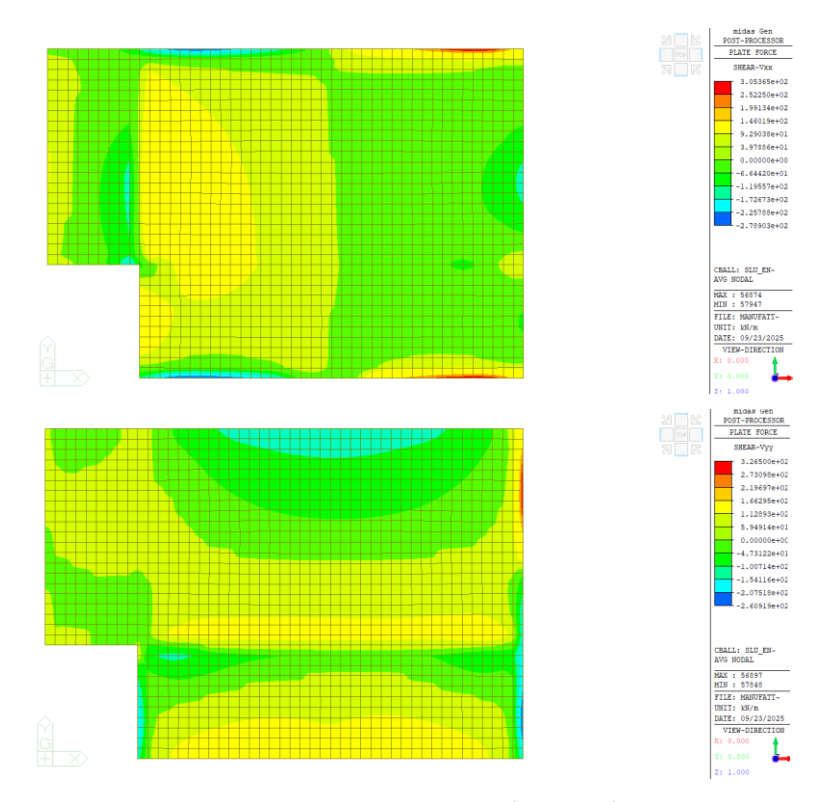


Figura 44 – Taglio Vxx e Vyy (ENV-SLU).



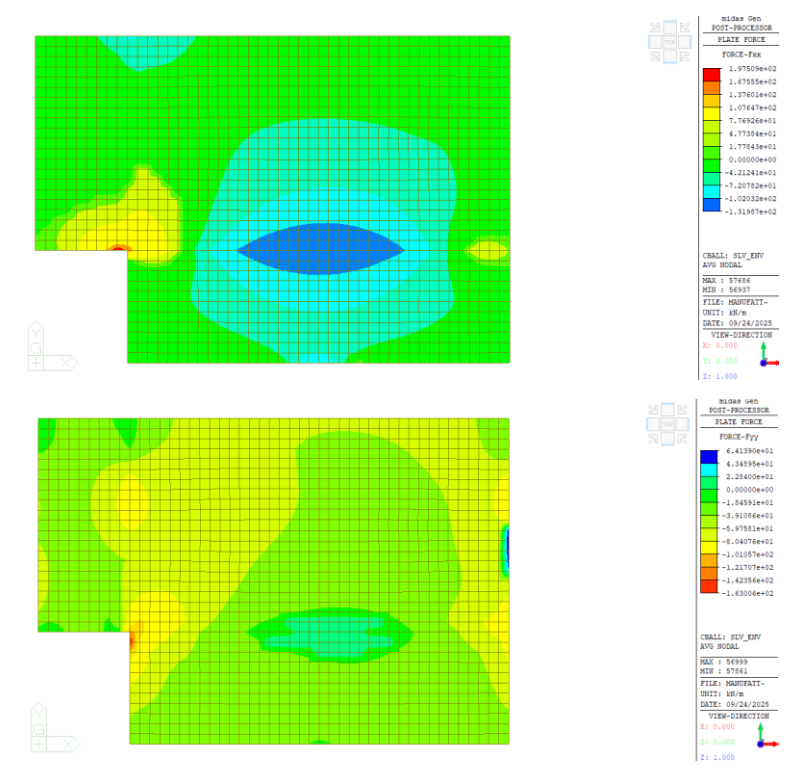


Figura 45 – Azione assiale Fxx e Fyy (ENV-SLV).

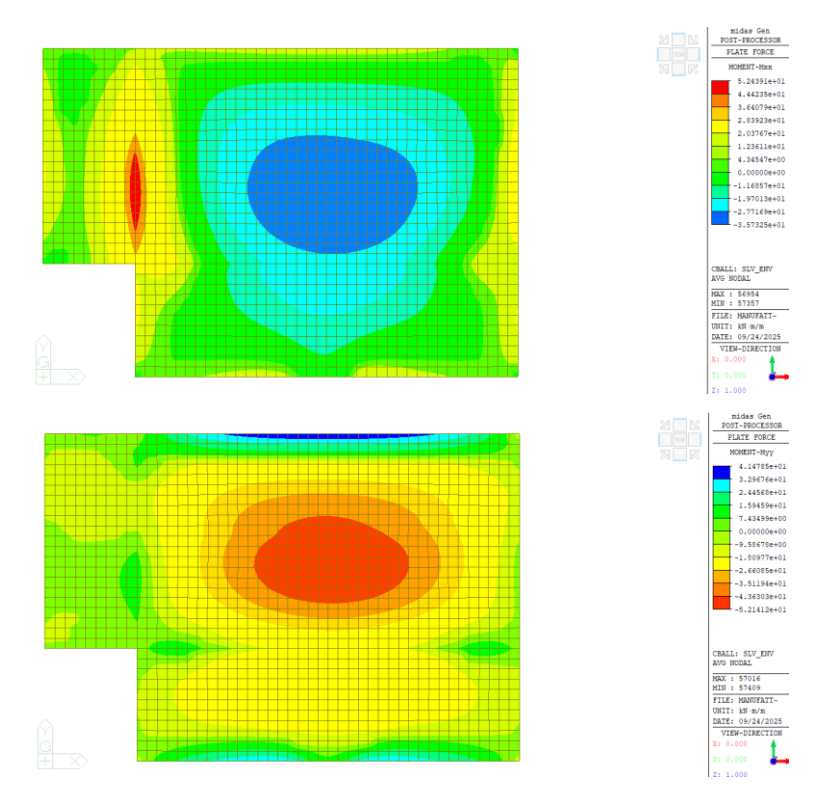


Figura 46 – Momento flettente Mxx e Myy (ENV-SLV).



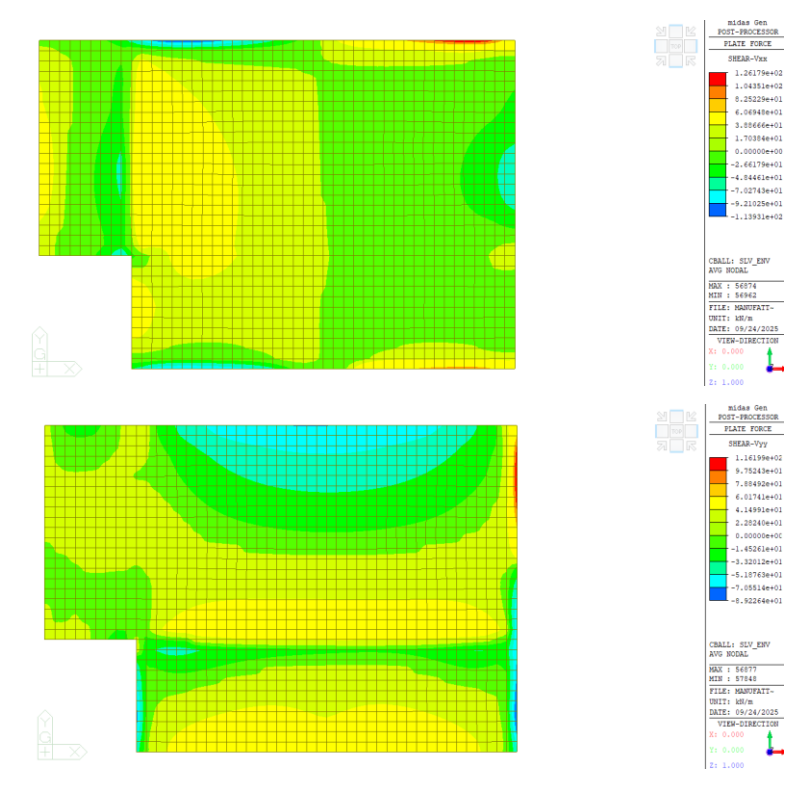


Figura 47 – Taglio Vxx e Vyy (ENV-SLV).

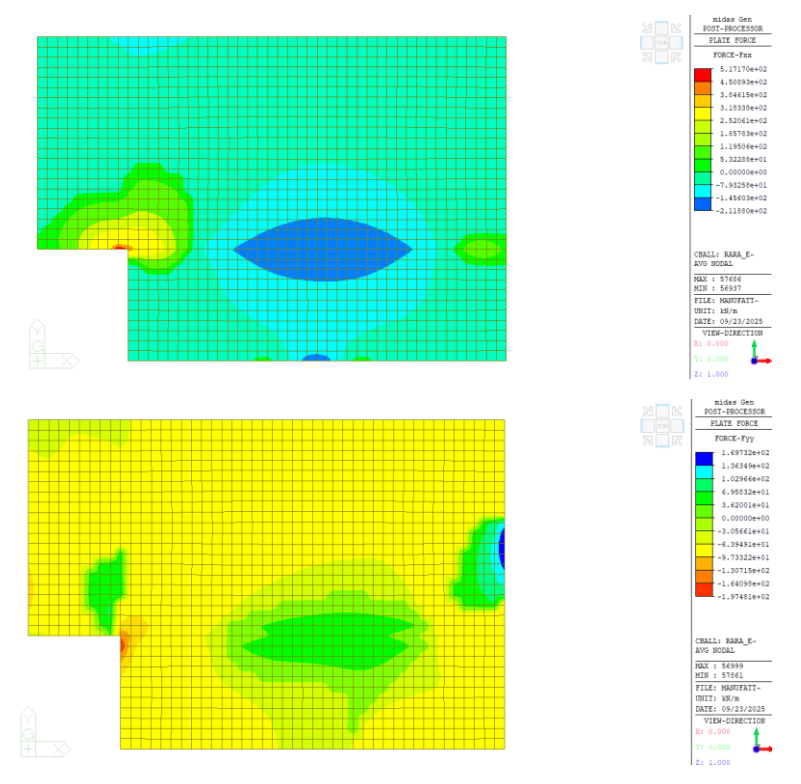


Figura 48 – Azione assiale Fxx e Fyy (ENV-SLE).



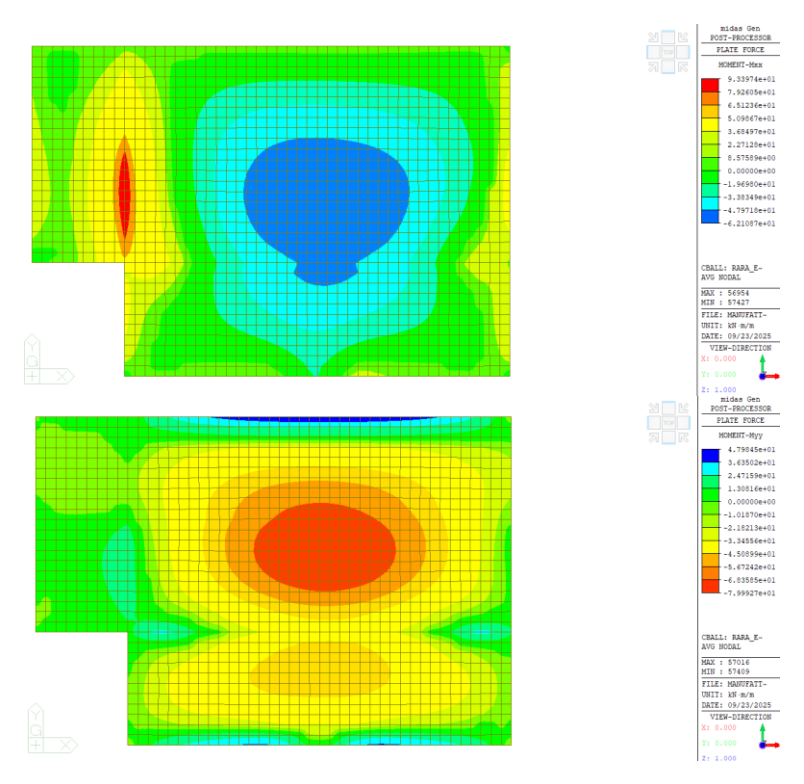


Figura 49 – Momento flettente Mxx e Myy (ENV-SLE).

12.1.2 Soletta di Copertura

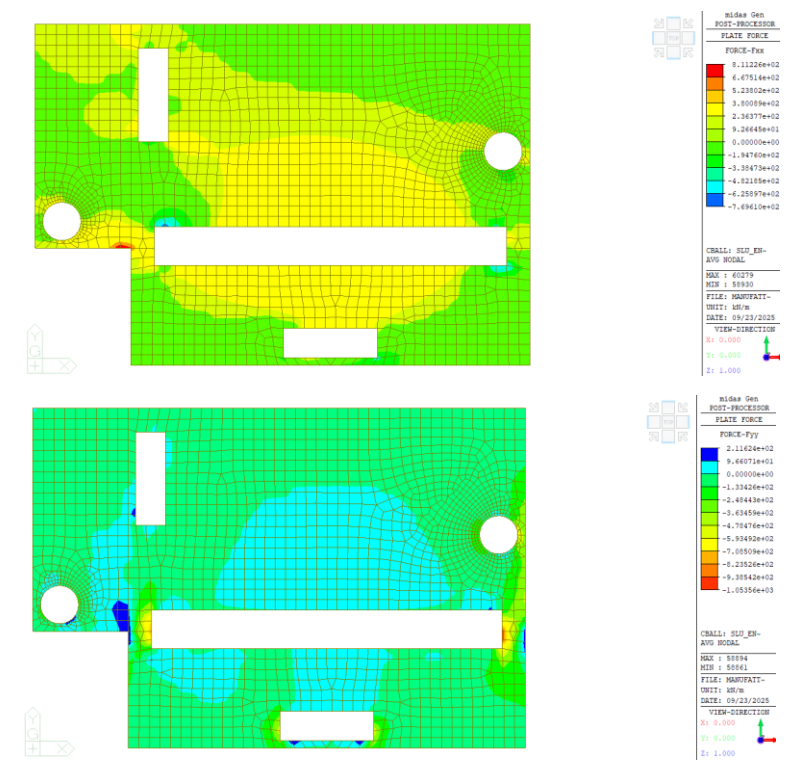


Figura 50 – Azione assiale Fxx e Fyy (ENV-SLU).



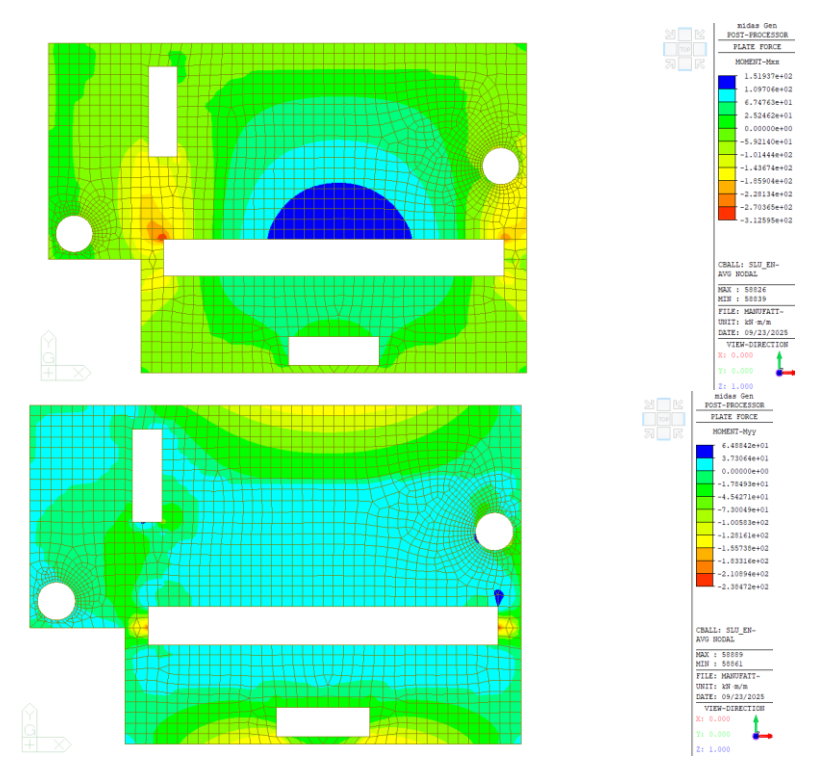


Figura 51 – Momento flettente Mxx e Myy (ENV-SLU).

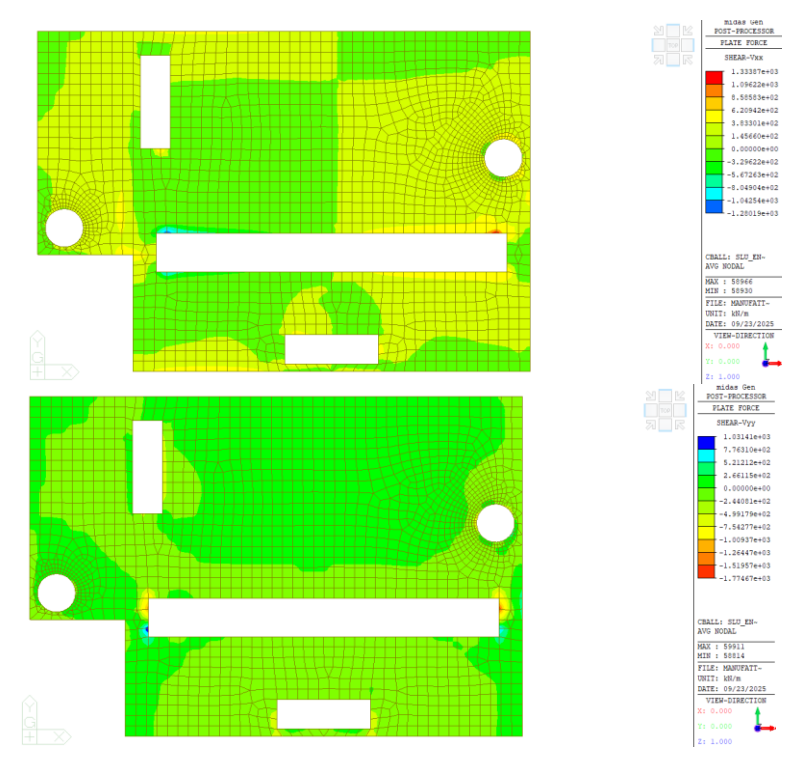


Figura 52 – Taglio Vxx e Vyy (ENV-SLU).



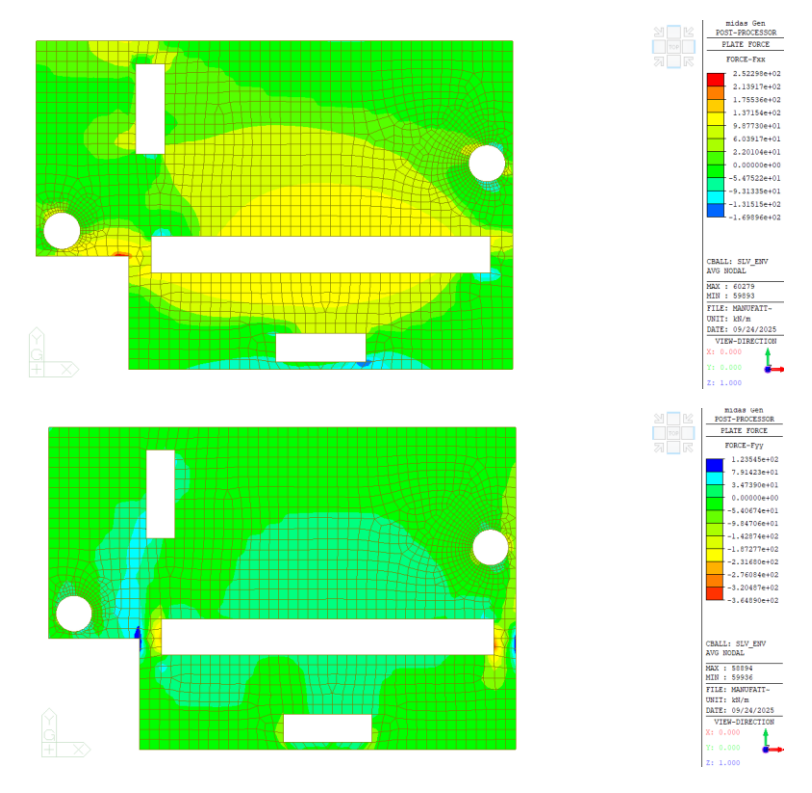


Figura 53 – Azione assiale Fxx e Fyy (ENV-SLV).

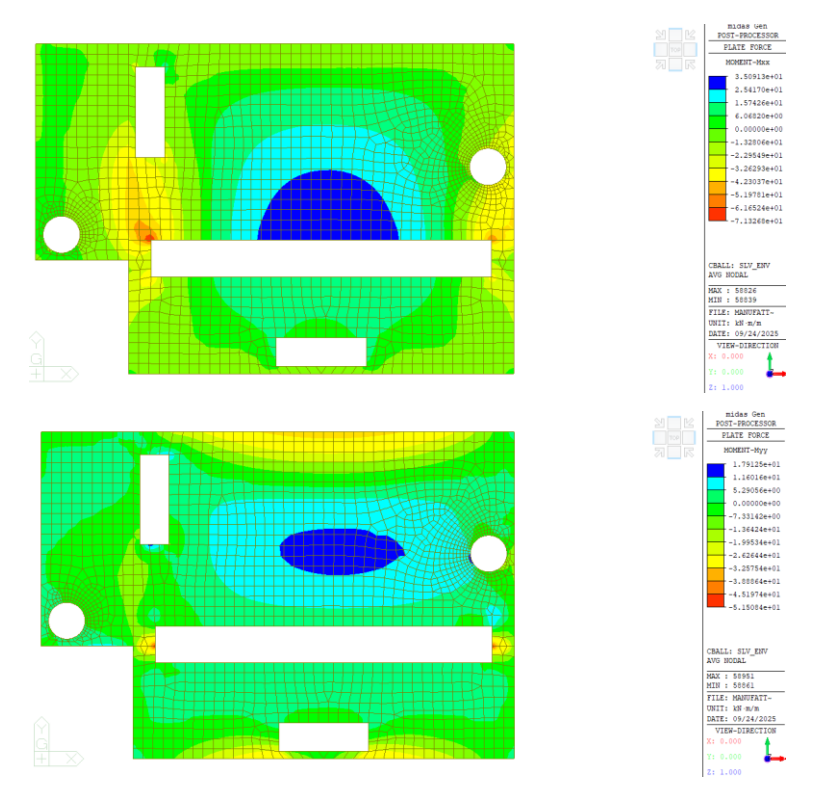


Figura 54 – Momento flettente Mxx e Myy (ENV-SLV).



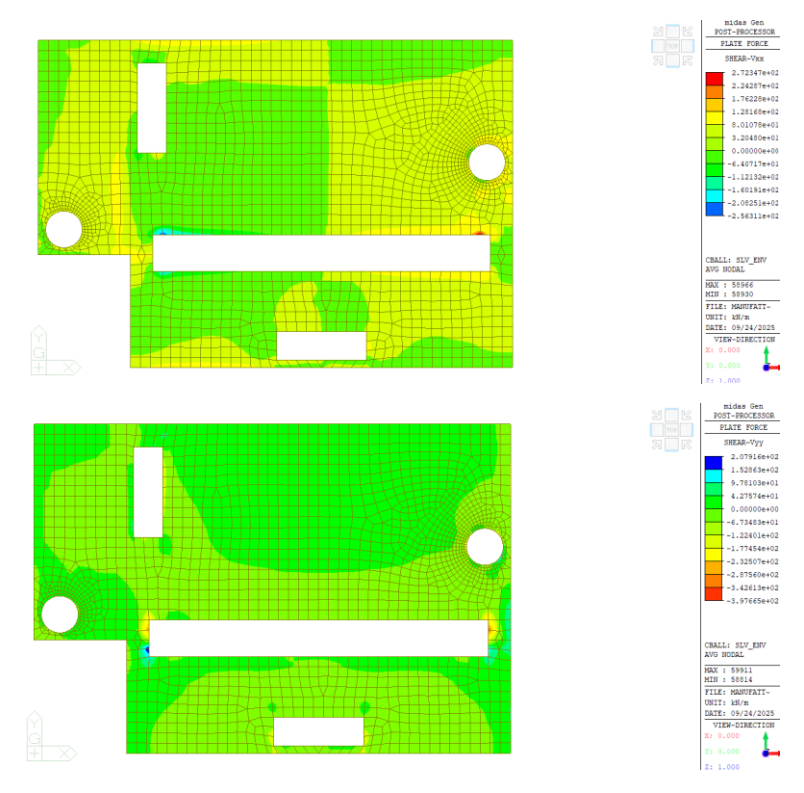


Figura 55 – Taglio Vxx e Vyy (ENV-SLV).

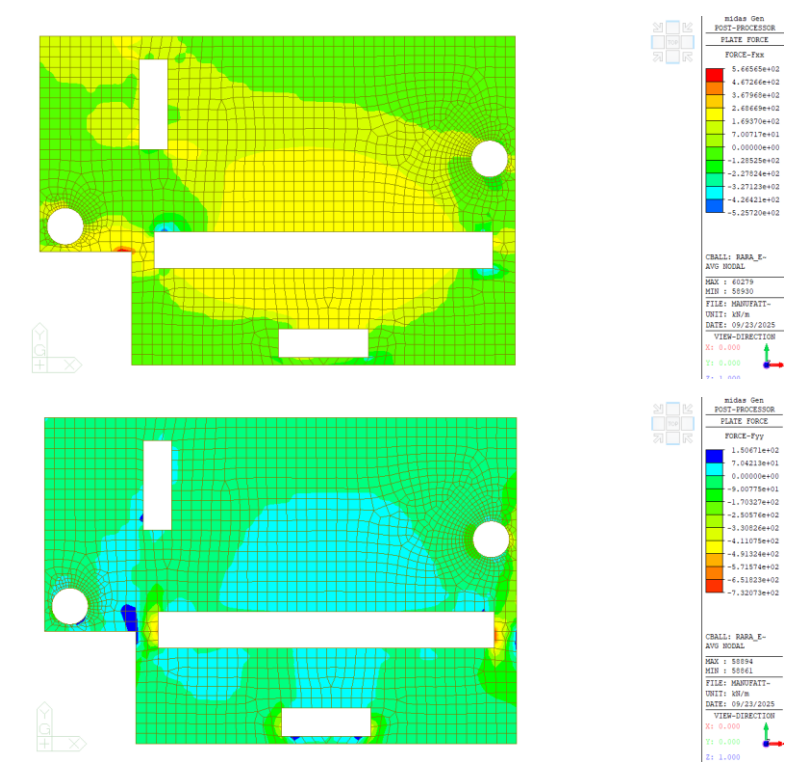


Figura 56 – Azione assiale Fxx e Fyy (ENV-SLE).



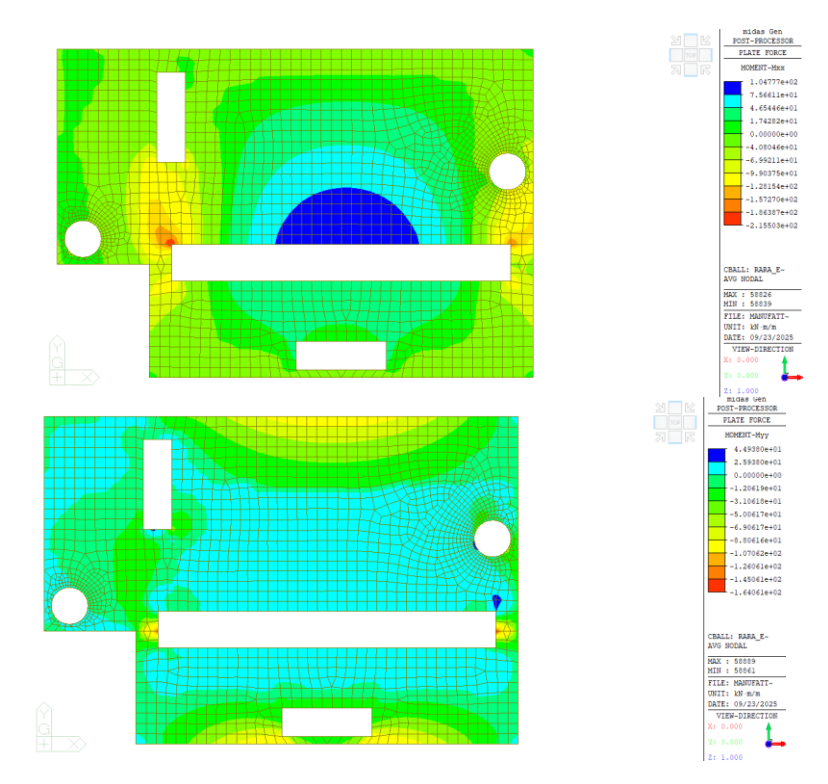


Figura 57 – Momento flettente Mxx e Myy (ENV-SLE).

12.1.3 Pareti

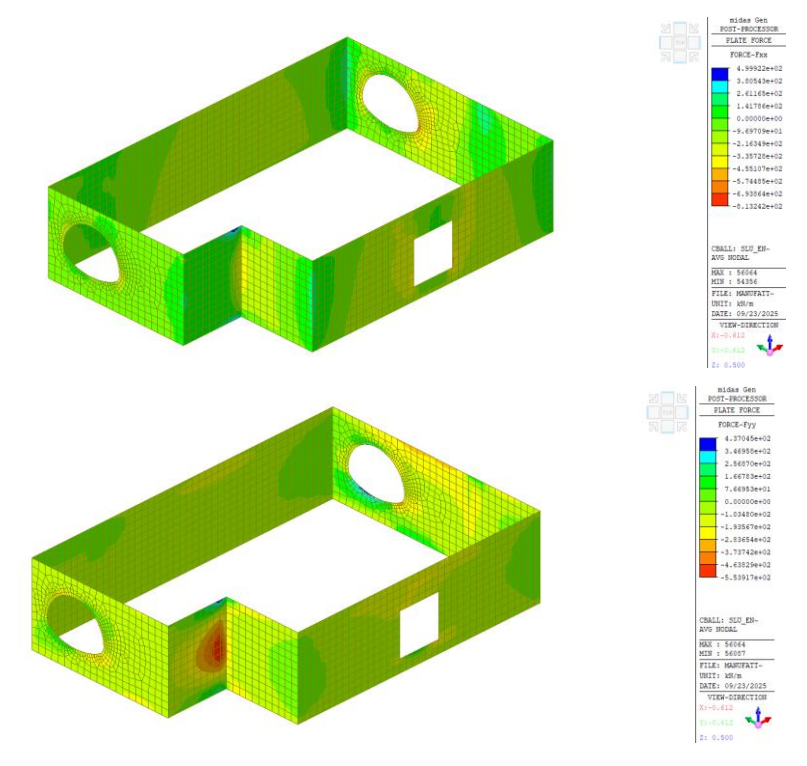


Figura 58 – Azione assiale Fxx e Fyy (ENV-SLU).



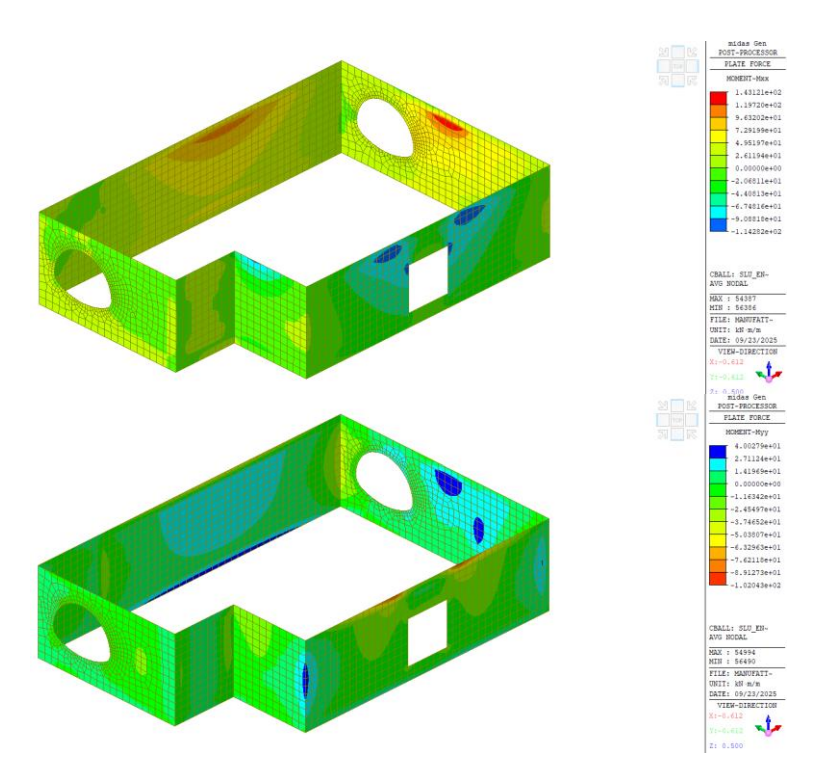


Figura 59 – Momento flettente Mxx e Myy (ENV-SLU).

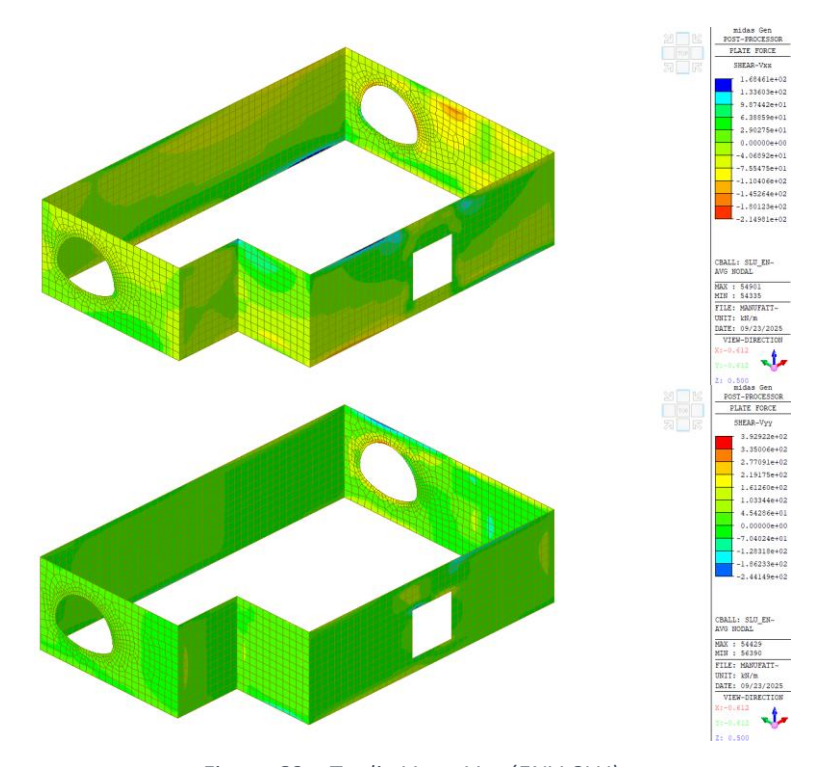


Figura 60 – Taglio Vxx e Vyy (ENV-SLU).



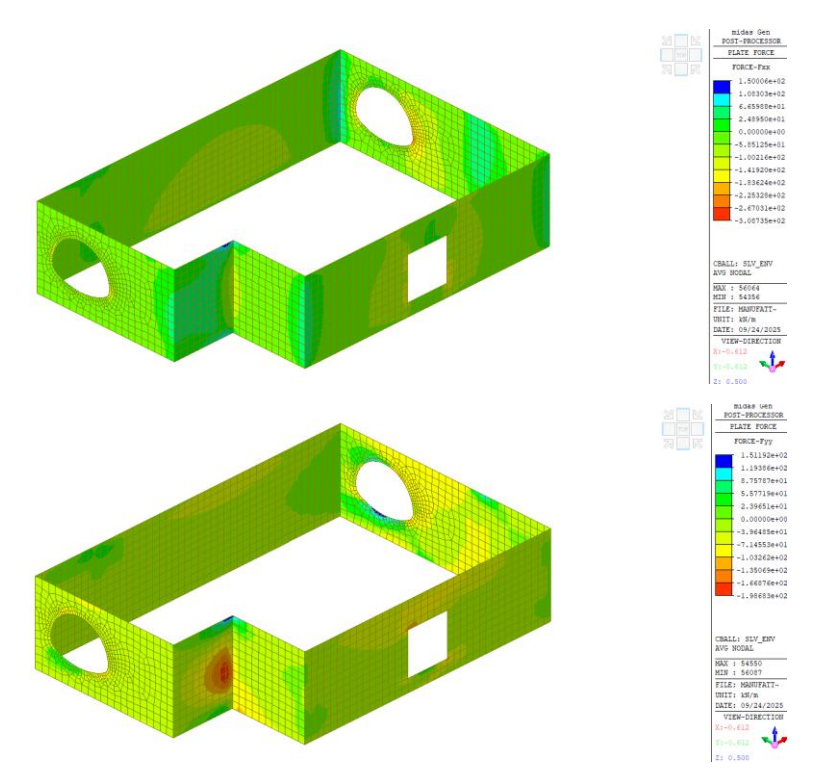


Figura 61 – Azione assiale Fxx e Fyy (ENV-SLV).

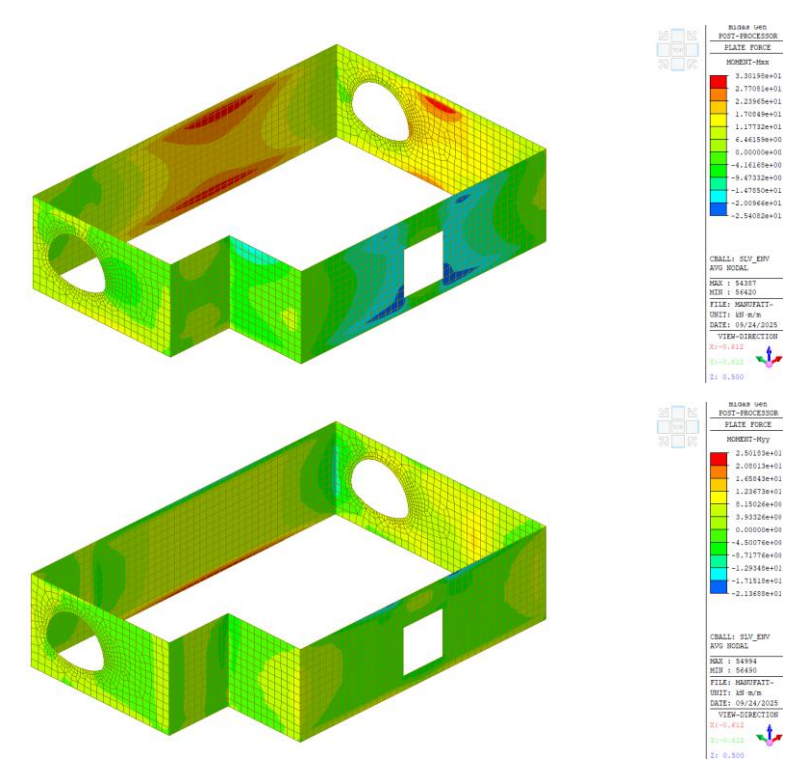


Figura 62 – Momento flettente Mxx e Myy (ENV-SLV).



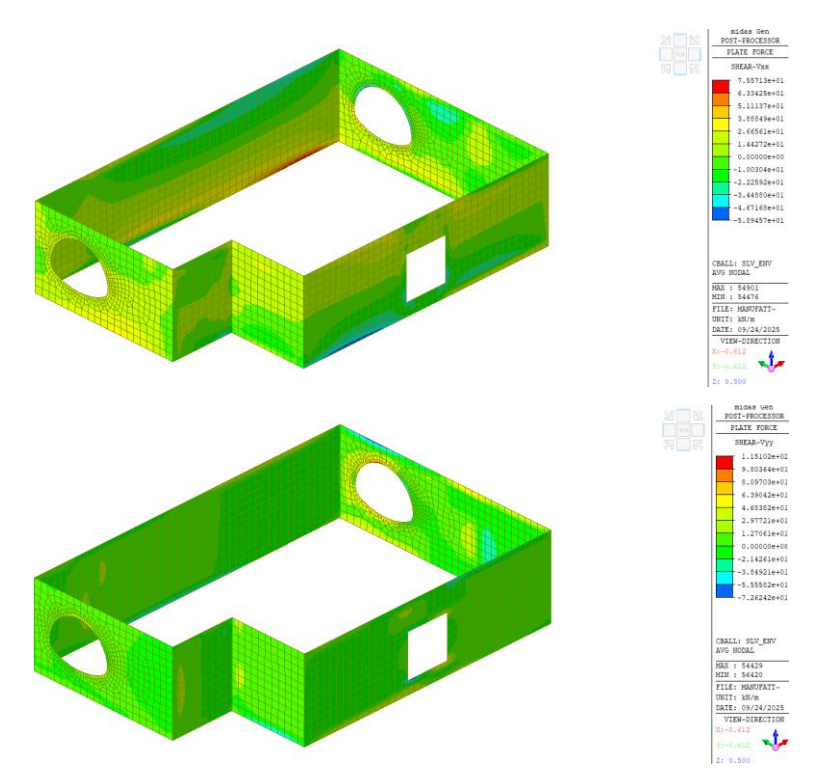


Figura 63 – Taglio Vxx e Vyy (ENV-SLV).

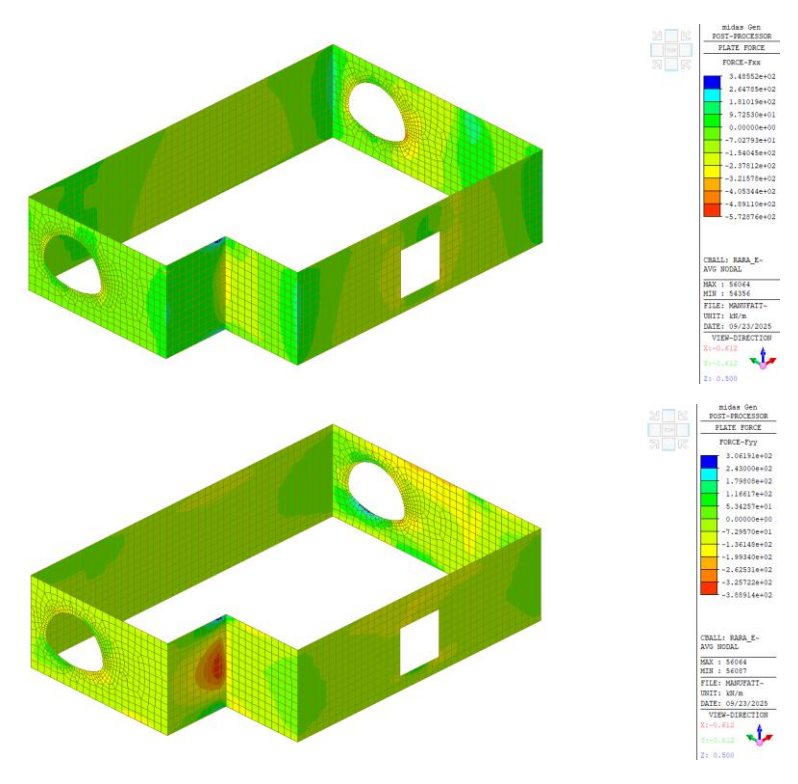


Figura 64 – Azione assiale Fxx e Fyy (ENV-SLE).



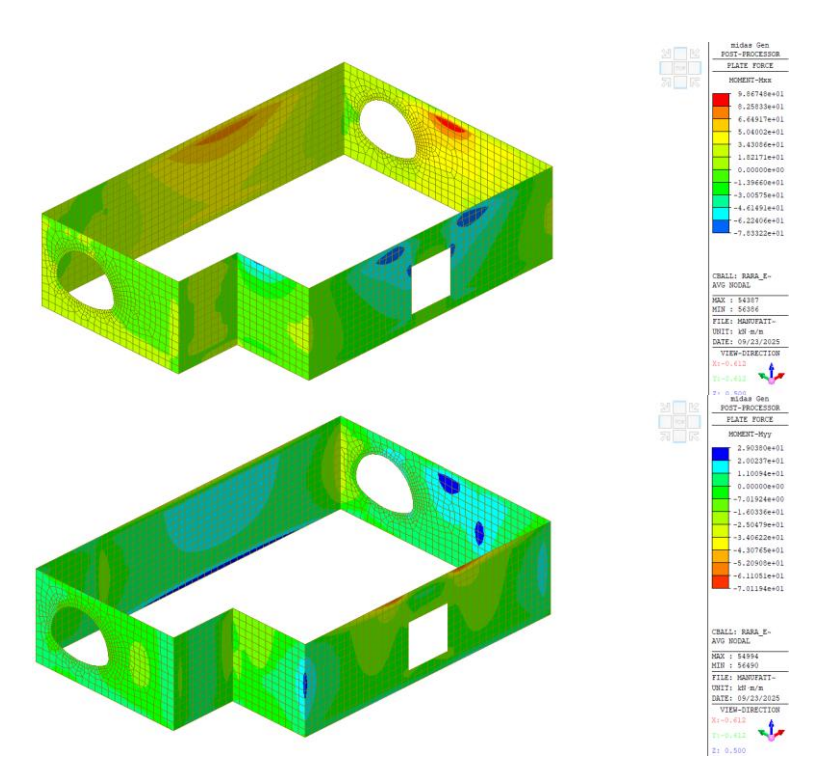


Figura 65 – Momento flettente Mxx e Myy (ENV-SLE).



12.2 Manufatto di sollevamento

12.2.1 Soletta di fondazione

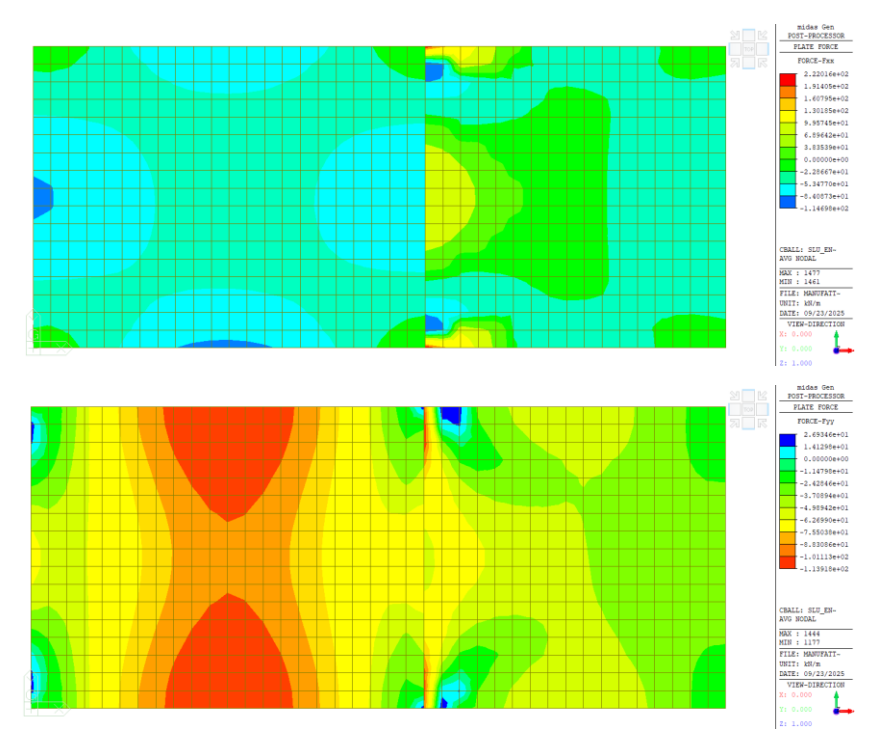


Figura 66 – Azione assiale Fxx e Fyy (ENV-SLU).

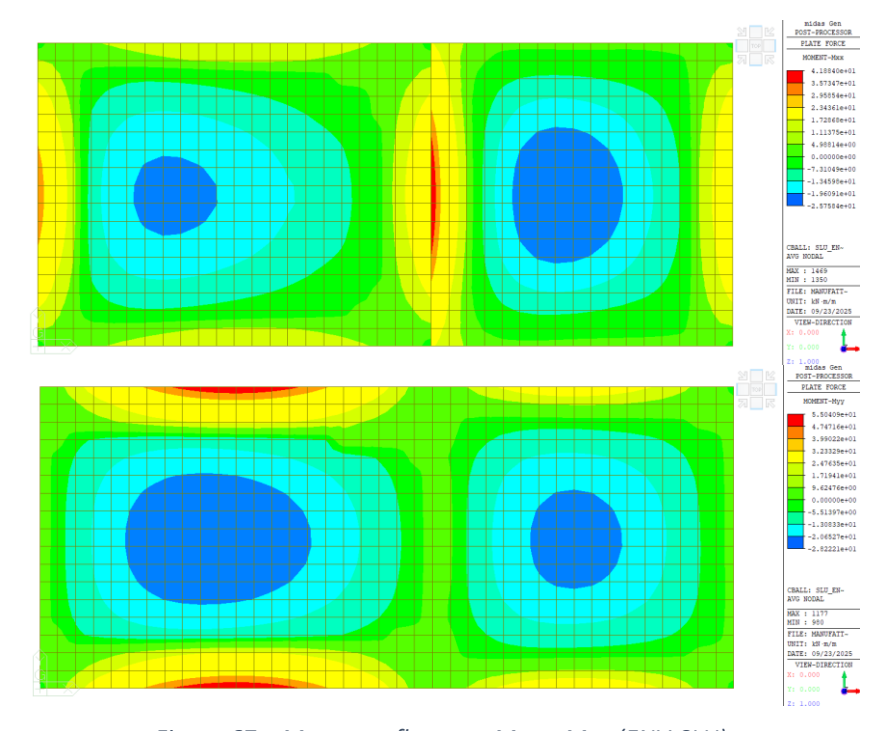


Figura 67 – Momento flettente Mxx e Myy (ENV-SLU).



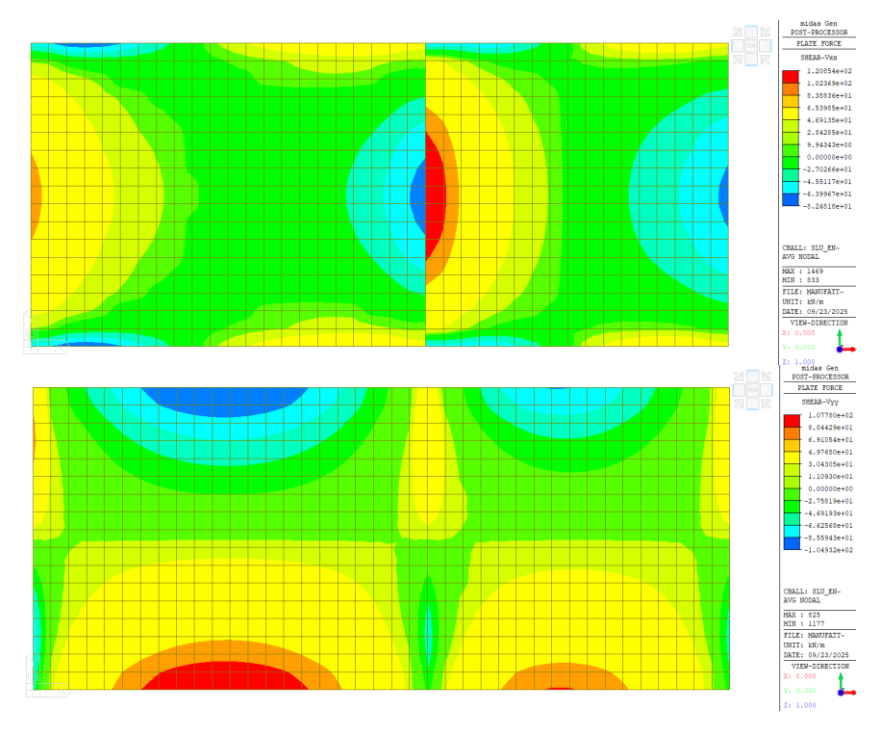


Figura 68 – Taglio Vxx e Vyy (ENV-SLU).

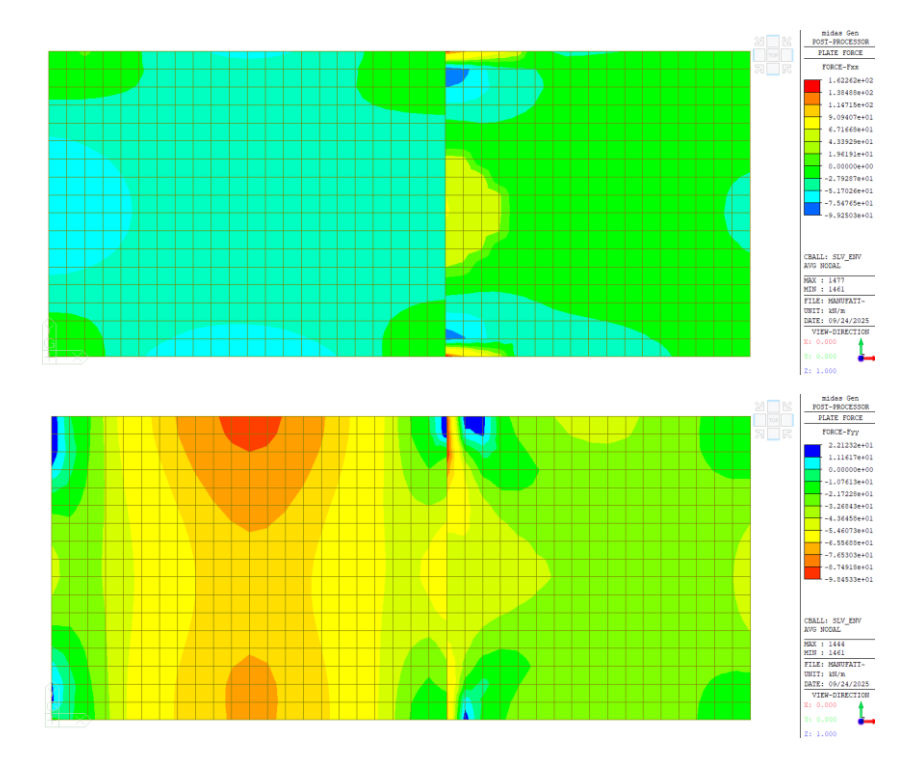


Figura 69 – Azione assiale Fxx e Fyy (ENV-SLV).



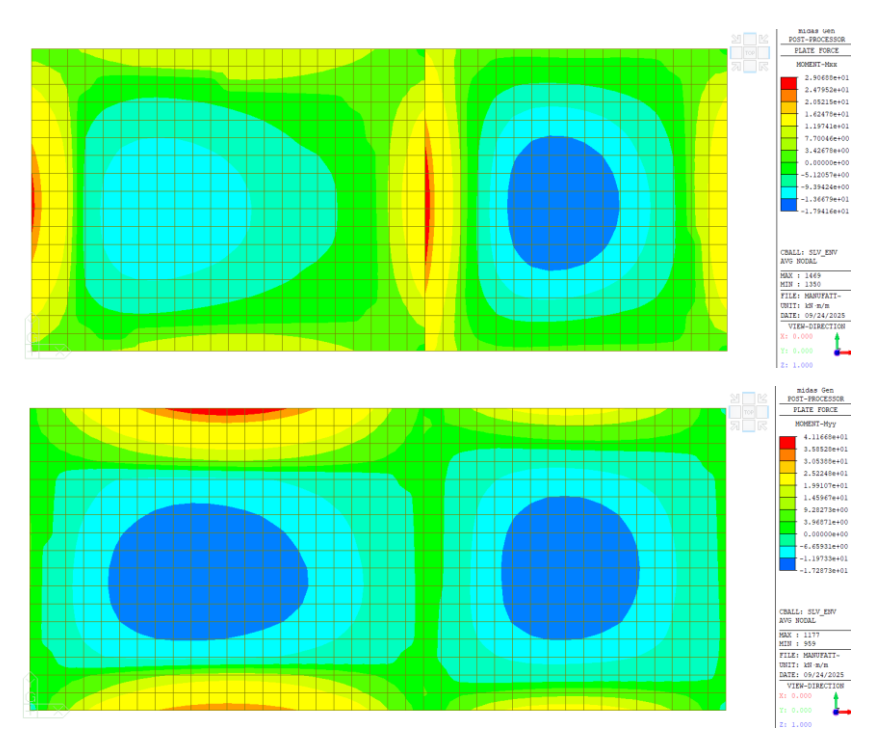


Figura 70 – Momento flettente Mxx e Myy (ENV-SLV).

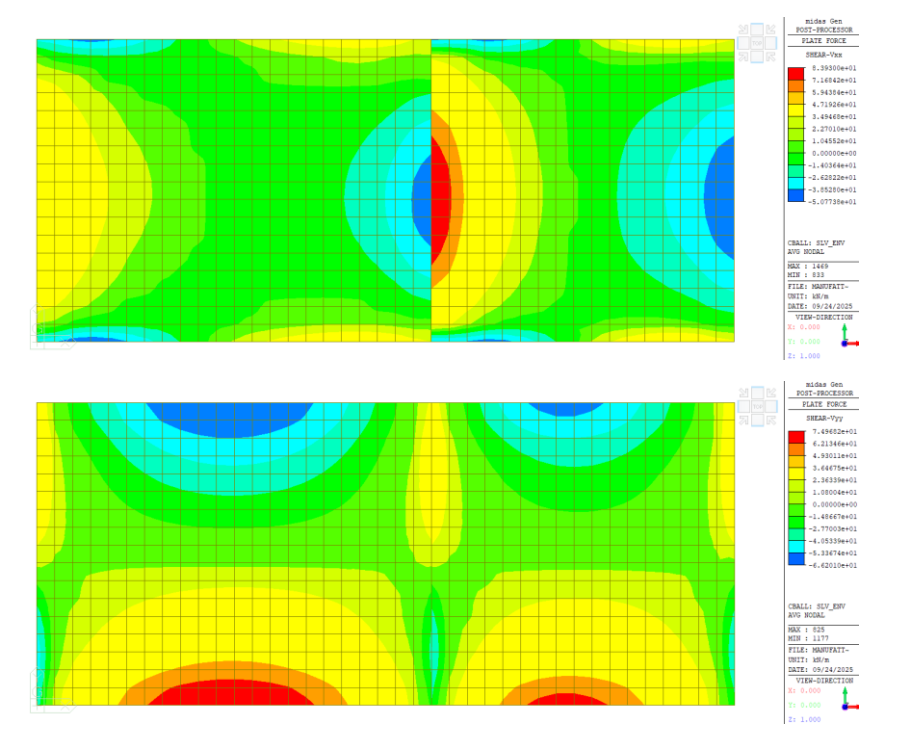


Figura 71 – Taglio Vxx e Vyy (ENV-SLV).



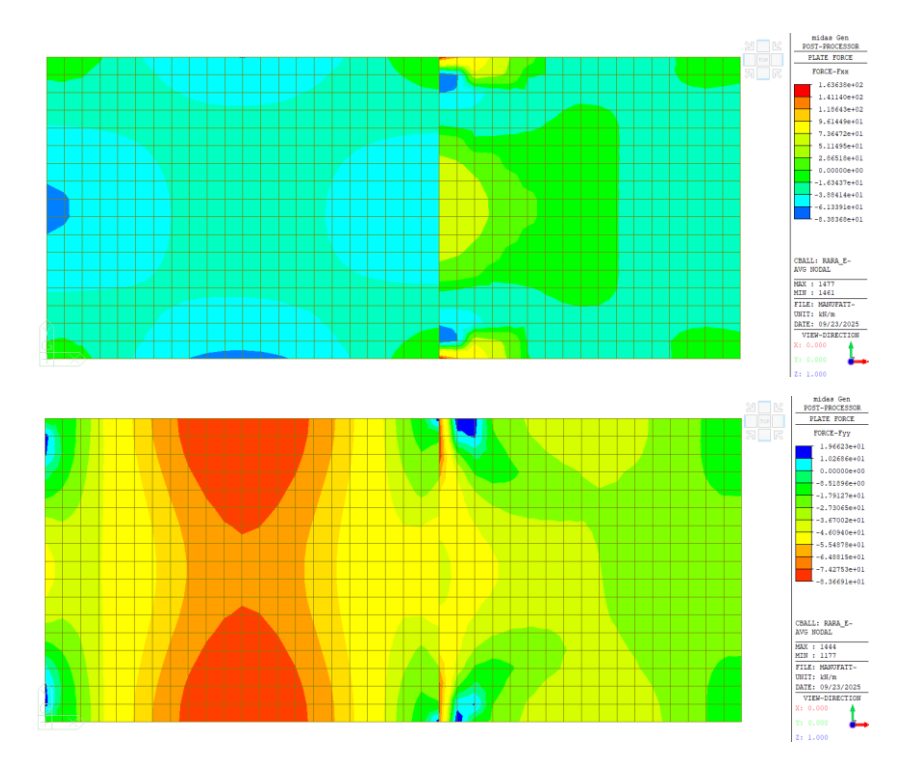


Figura 72 – Azione assiale Fxx e Fyy (ENV-SLE).

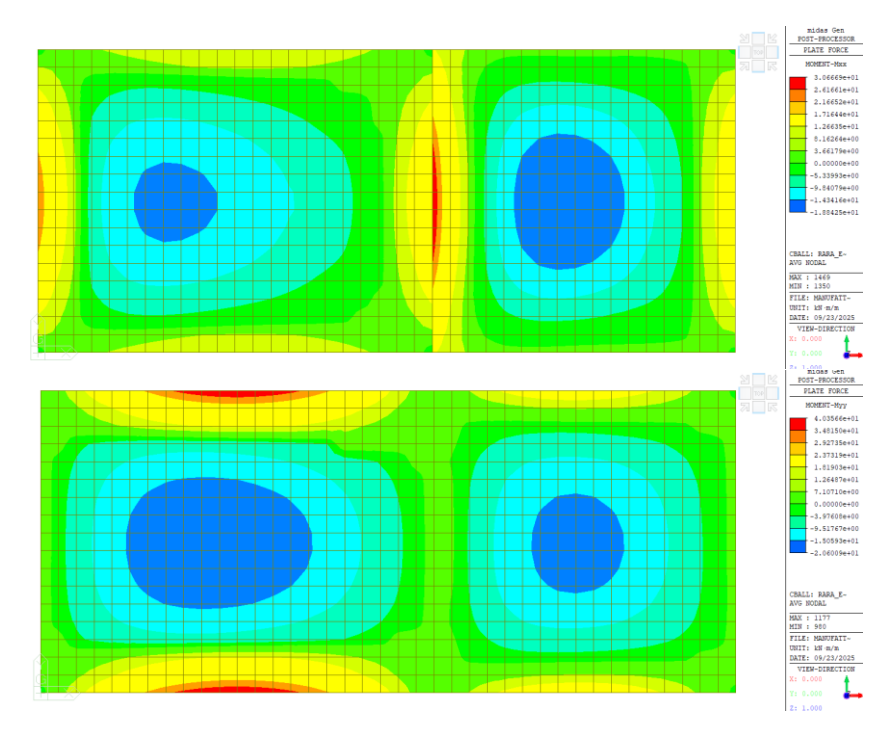


Figura 73 – Momento flettente Mxx e Myy (ENV-SLE).



12.2.2 Soletta di Copertura

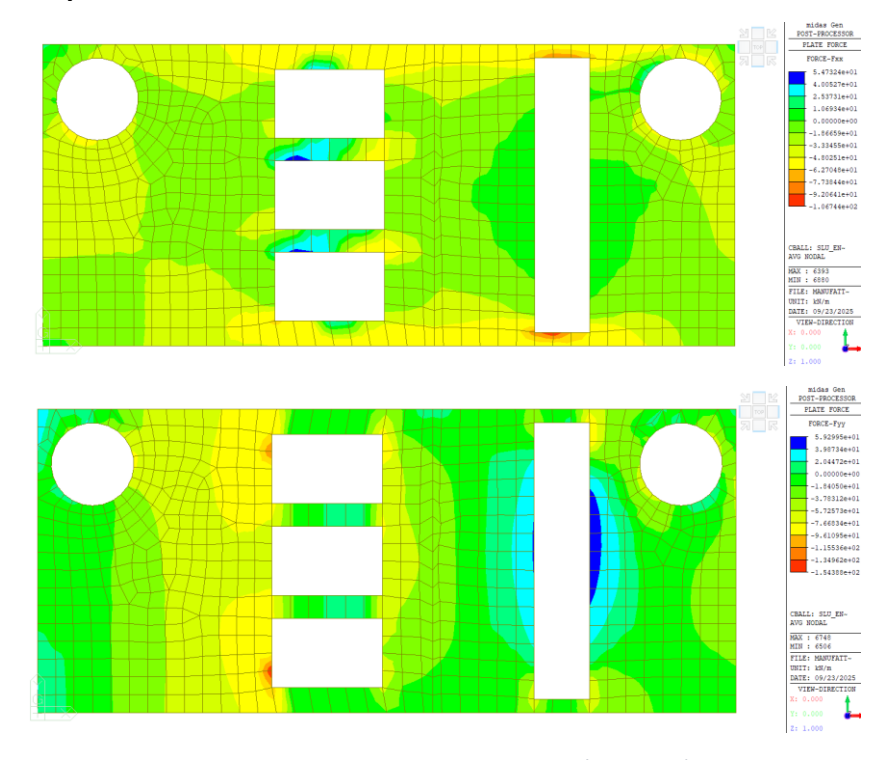


Figura 74 – Azione assiale Fxx e Fyy (ENV-SLU).

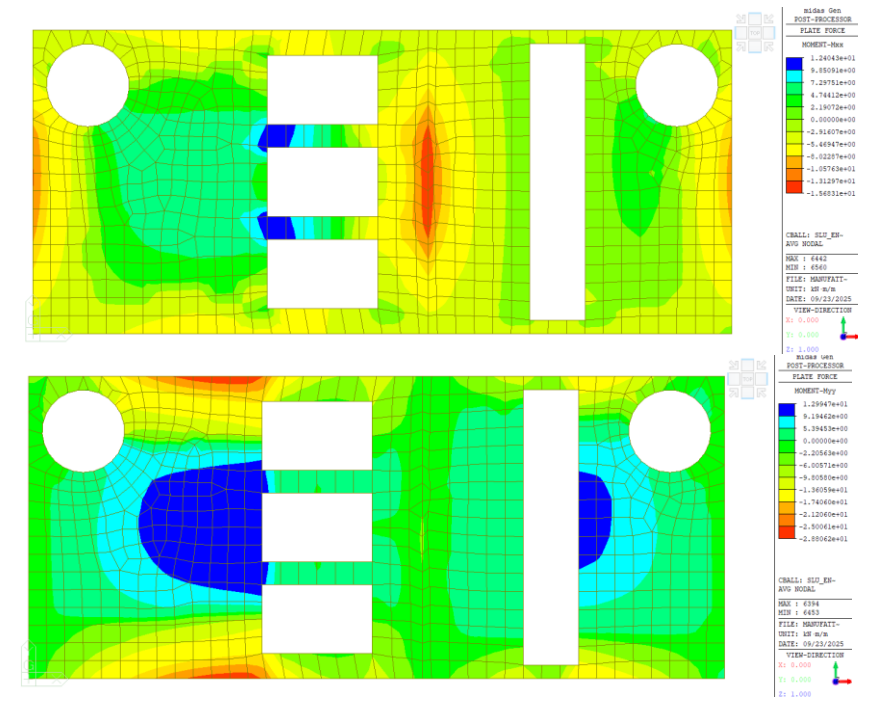


Figura 75 – Momento flettente Mxx e Myy (ENV-SLU).



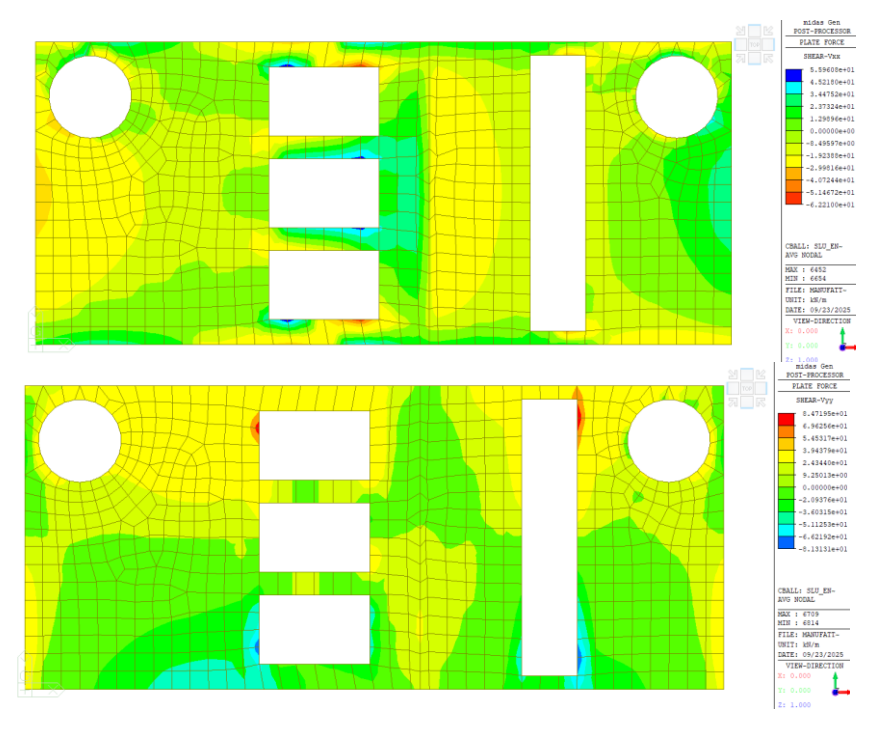


Figura 76 – Taglio Vxx e Vyy (ENV-SLU).

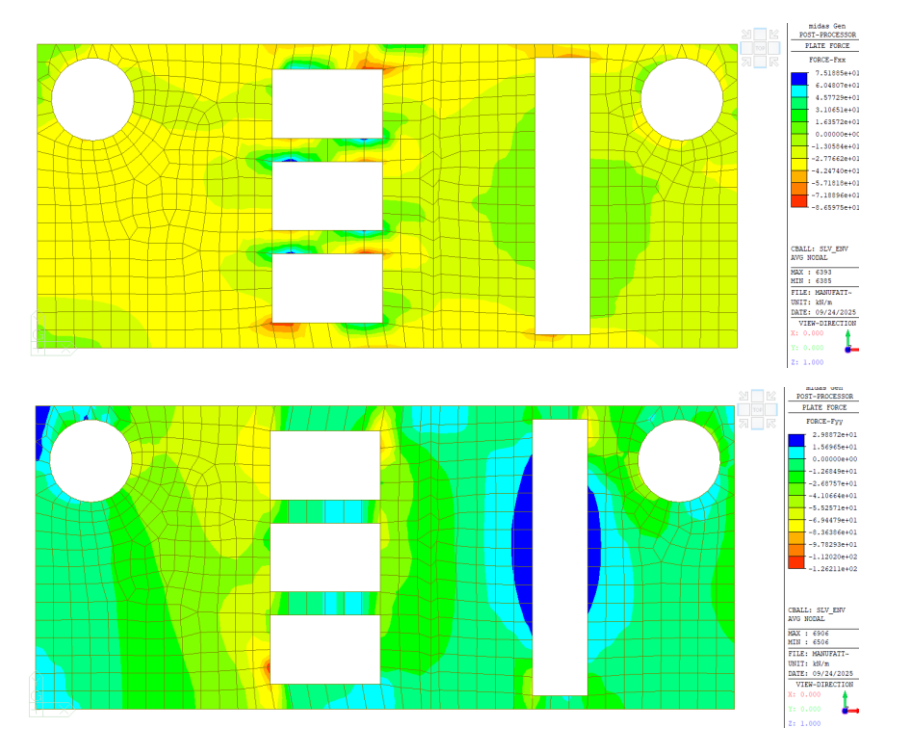


Figura 77 – Azione assiale Fxx e Fyy (ENV-SLV).



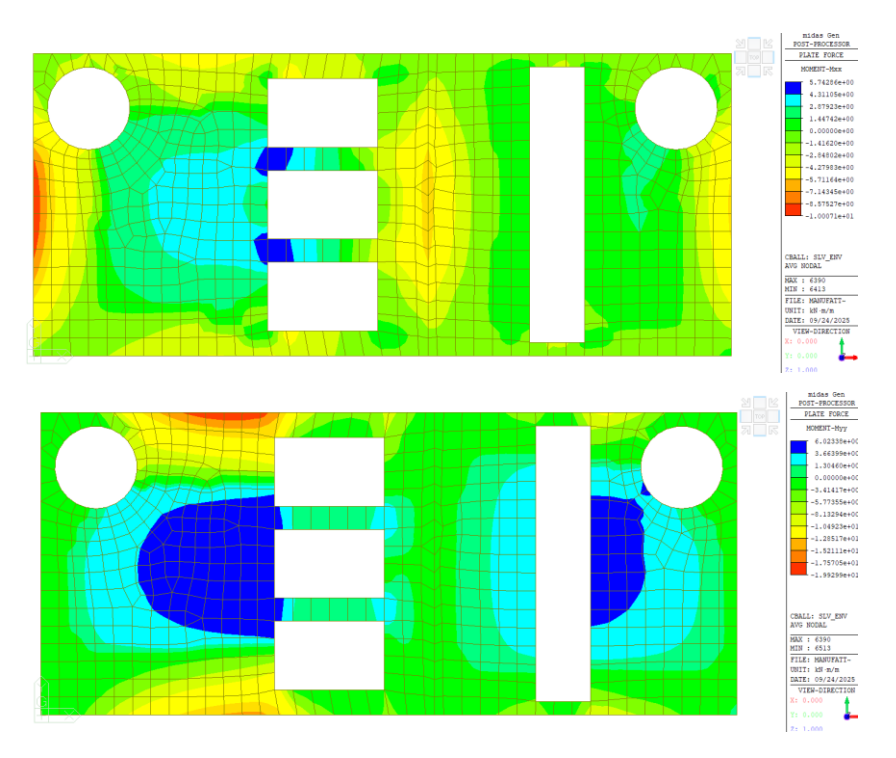


Figura 78 – Momento flettente Mxx e Myy (ENV-SLV).

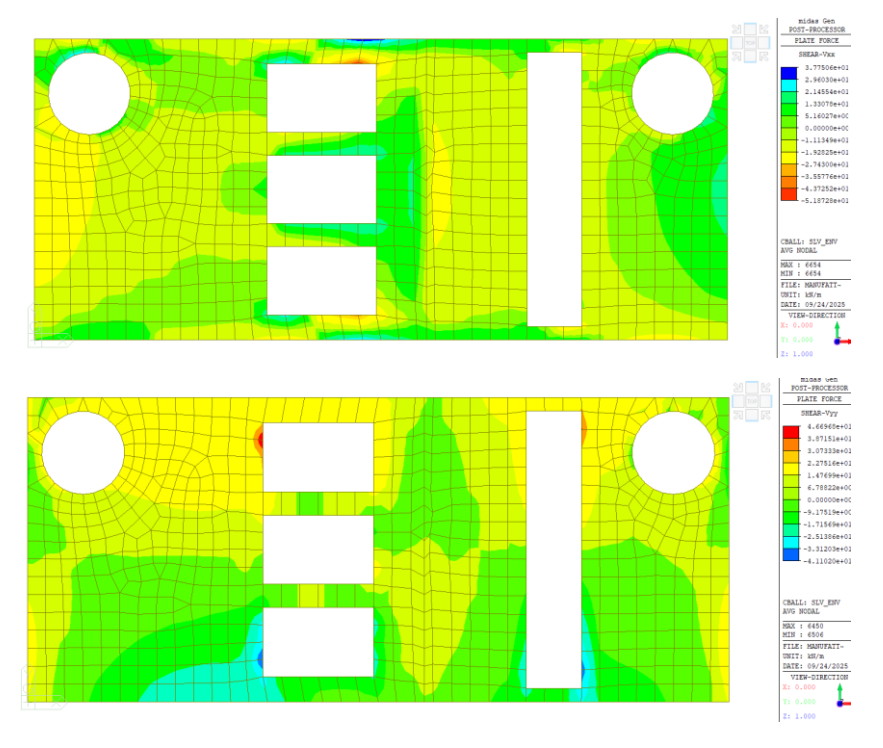


Figura 79 – Taglio Vxx e Vyy (ENV-SLV).



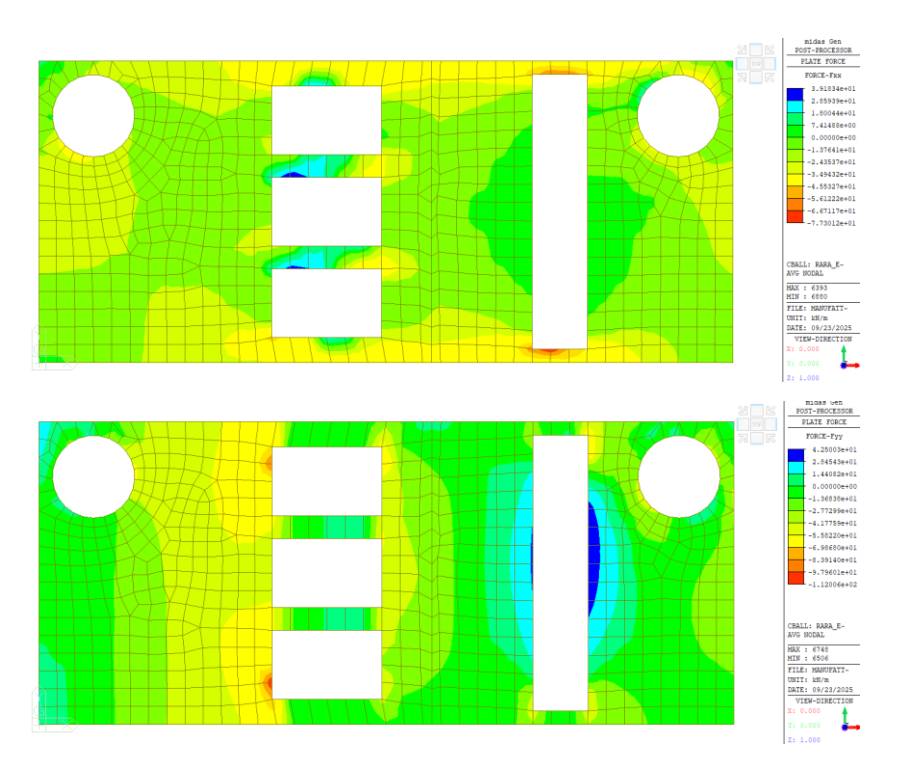


Figura 80 – Azione assiale Fxx e Fyy (ENV-SLE).

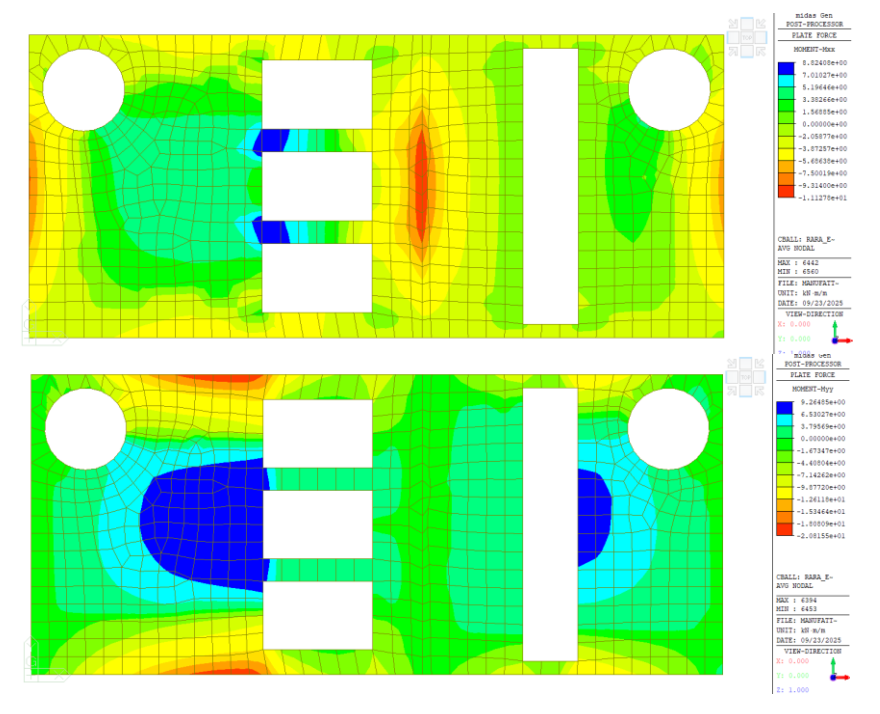


Figura 81 – Momento flettente Mxx e Myy (ENV-SLE).



12.2.3 Pareti

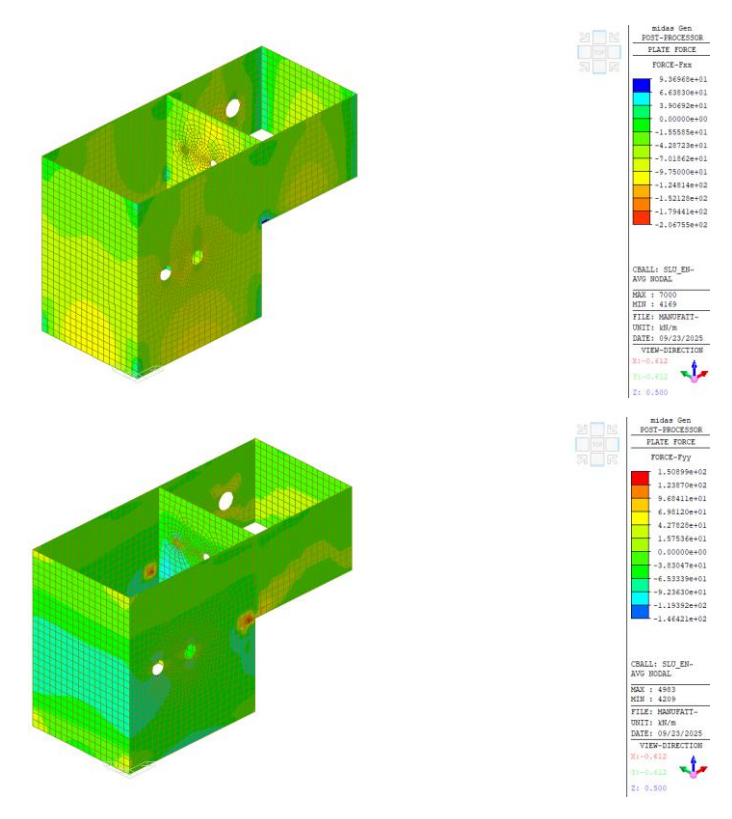


Figura 82 – Azione assiale Fxx e Fyy (ENV-SLU).

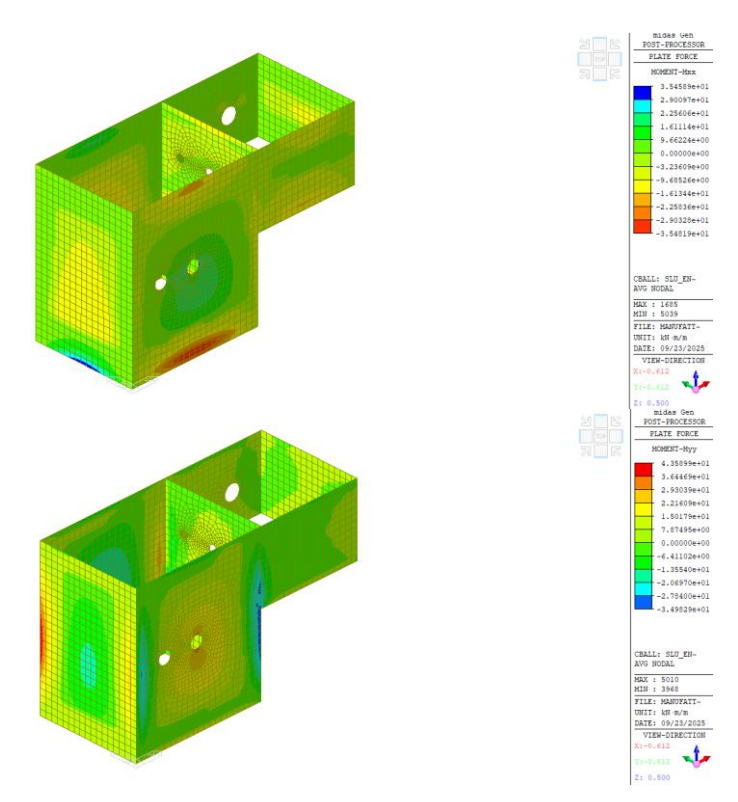


Figura 83 – Momento flettente Mxx e Myy (ENV-SLU).



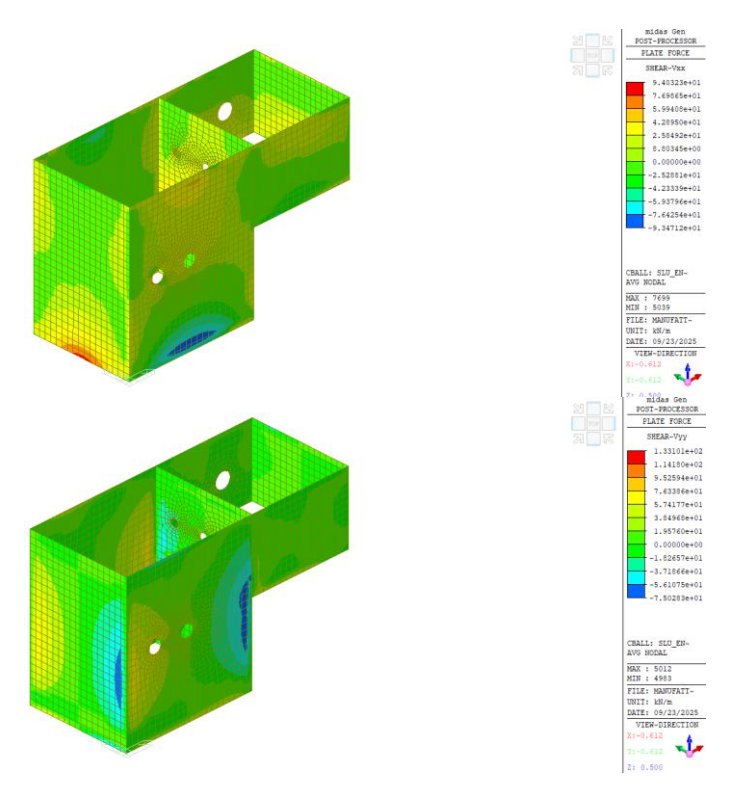


Figura 84 – Taglio Vxx e Vyy (ENV-SLU).

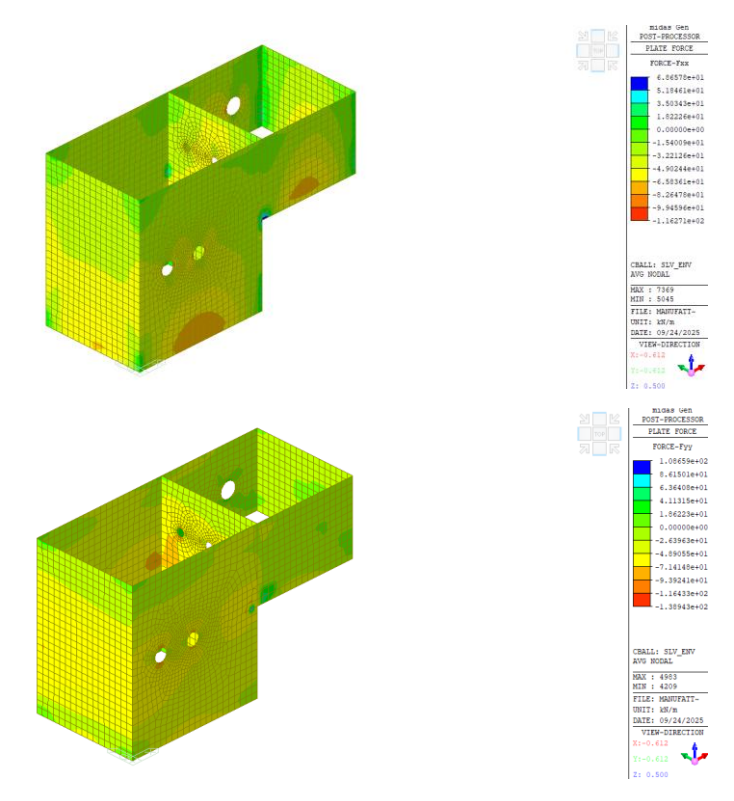


Figura 85 – Azione assiale Fxx e Fyy (ENV-SLV).



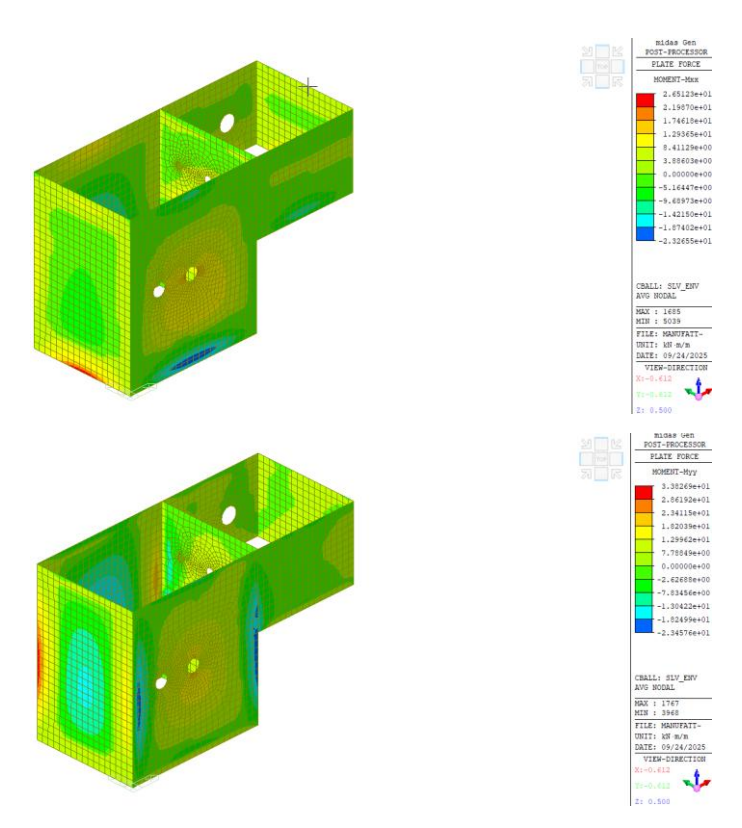


Figura 86 – Momento flettente Mxx e Myy (ENV-SLV).

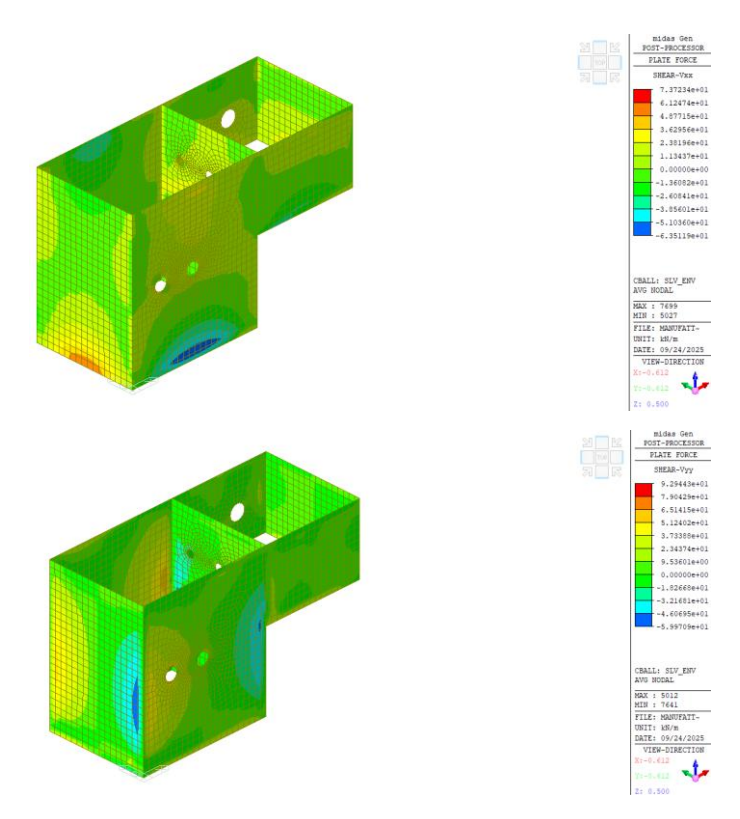


Figura 87 – Taglio Vxx e Vyy (ENV-SLV).



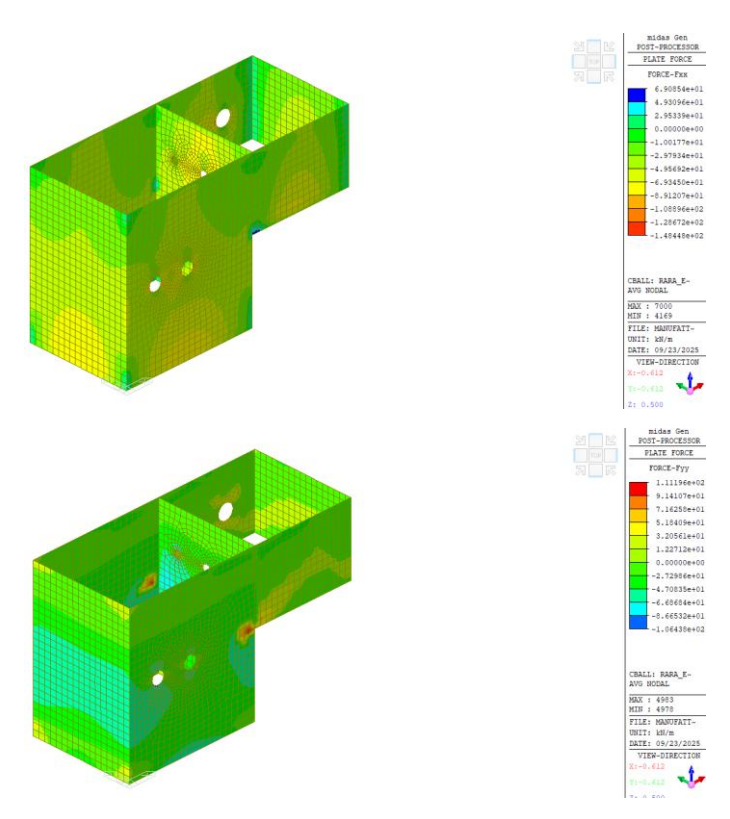


Figura 88 – Azione assiale Fxx e Fyy (ENV-SLE).

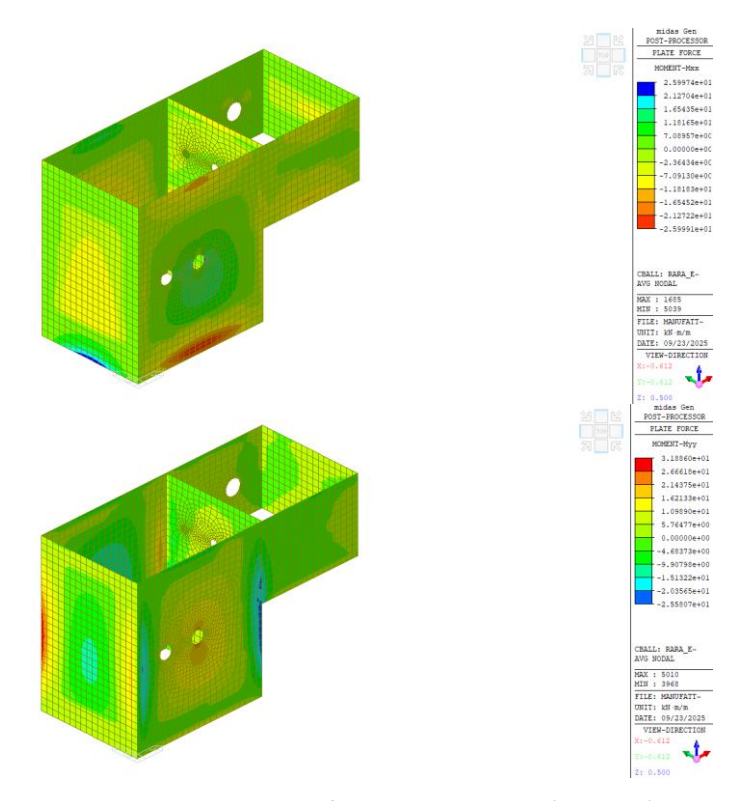


Figura 89 – Momento flettente Mxx e Myy (ENV-SLE).



12.3 Pozzetto ripartitore

12.3.1 Soletta di fondazione

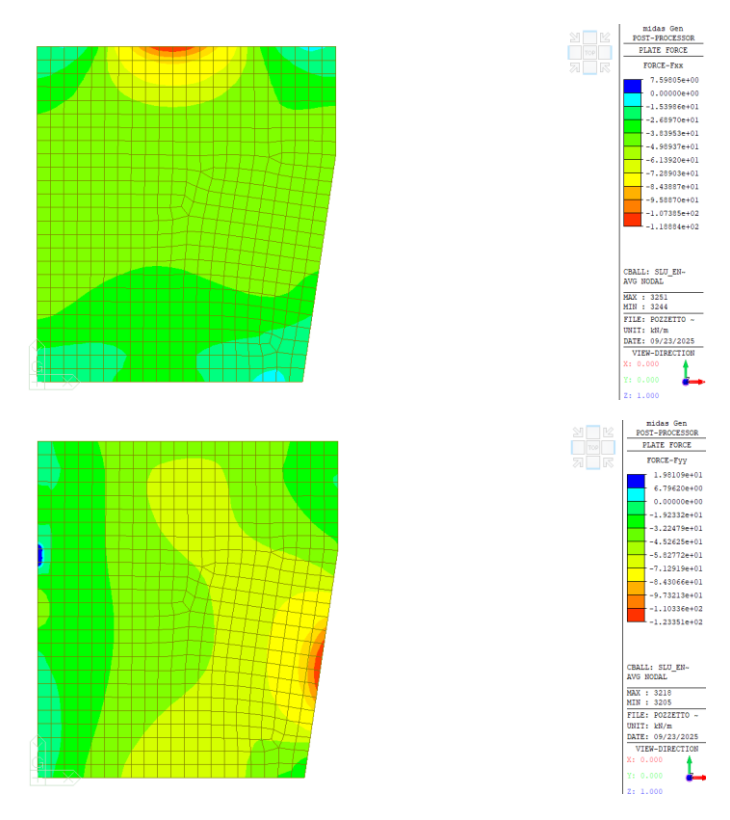


Figura 90 – Azione assiale Fxx e Fyy (ENV-SLU).

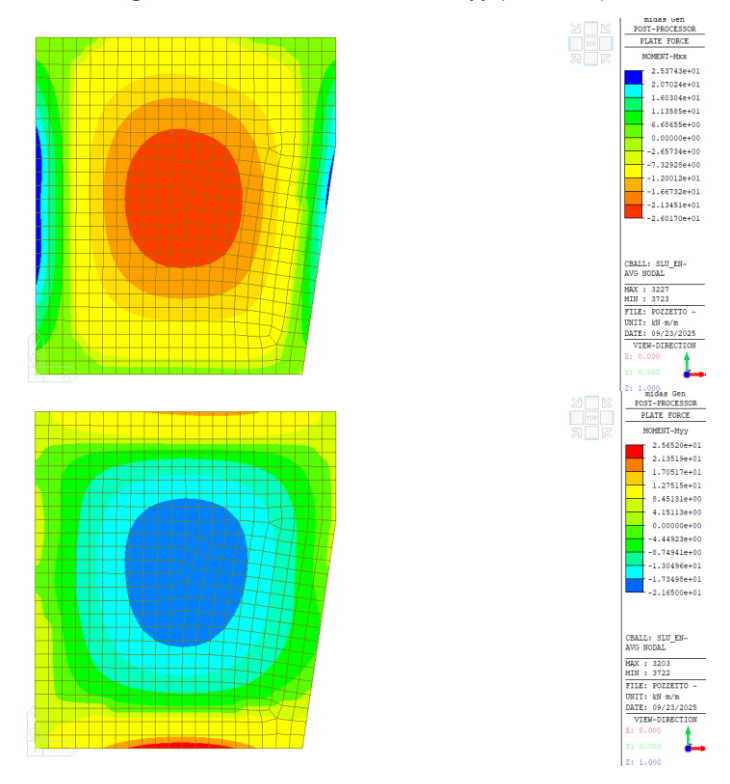


Figura 91 – Momento flettente Mxx e Myy (ENV-SLU).



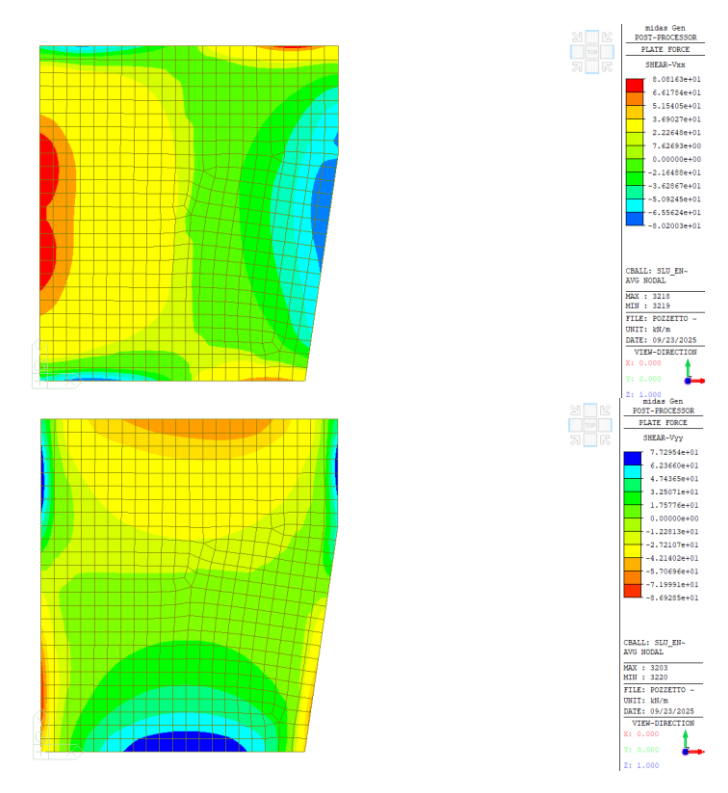


Figura 92 – Taglio Vxx e Vyy (ENV-SLU).

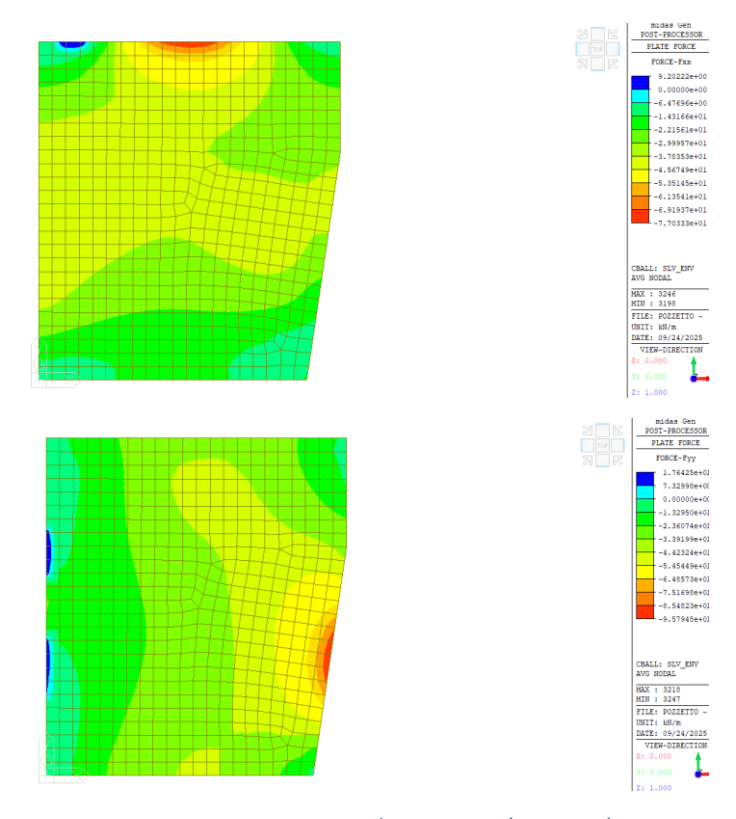


Figura 93 – Azione assiale Fxx e Fyy (ENV-SLV).



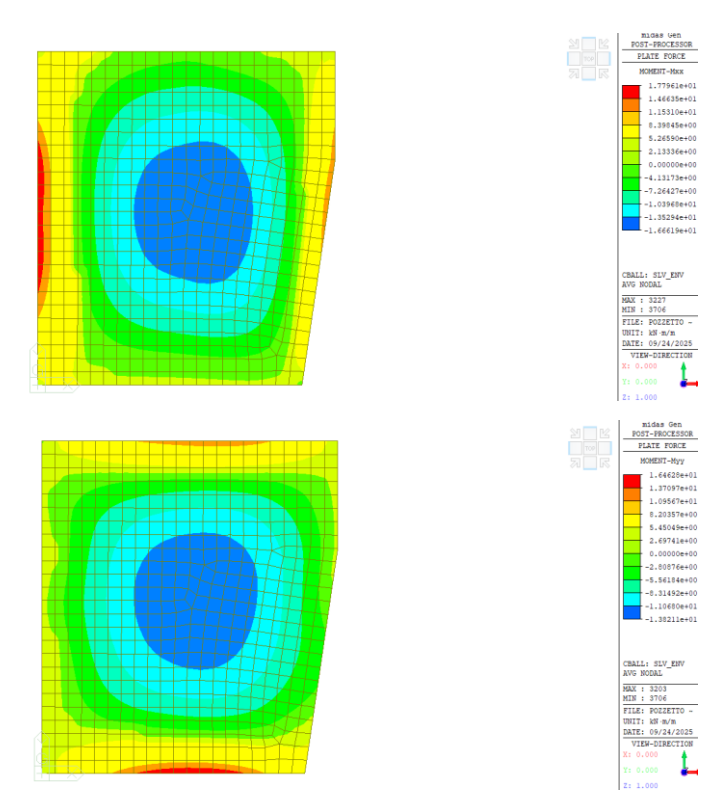


Figura 94 – Momento flettente Mxx e Myy (ENV-SLV).

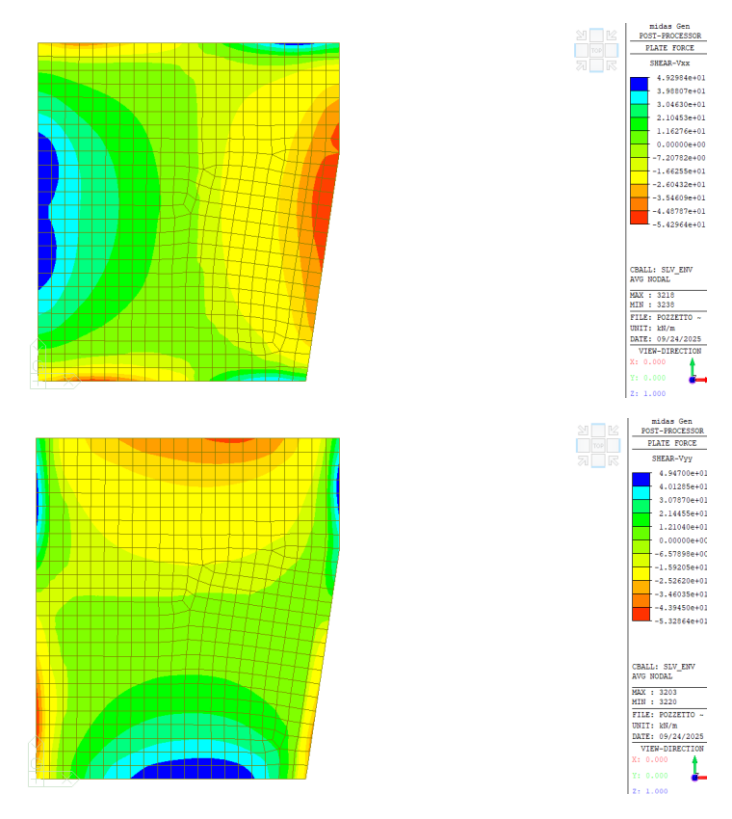


Figura 95 – Taglio Vxx e Vyy (ENV-SLV).



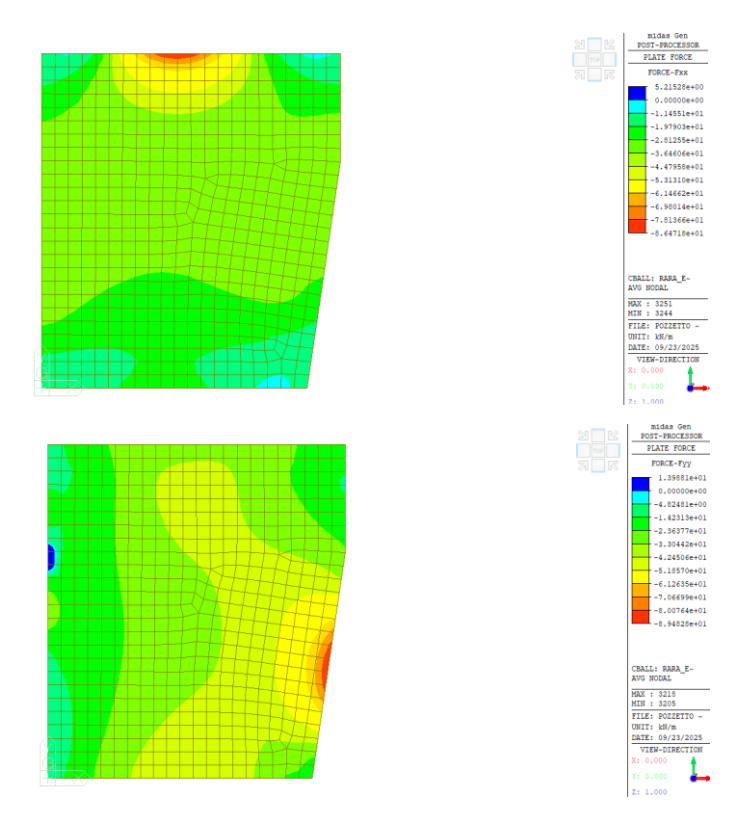


Figura 96 – Azione assiale Fxx e Fyy (ENV-SLE).

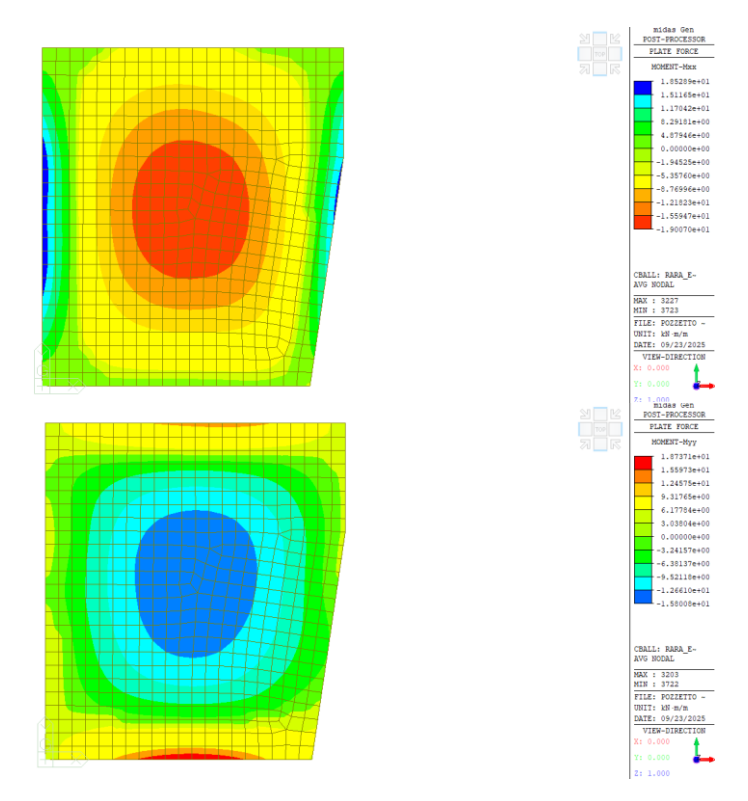


Figura 97 – Momento flettente Mxx e Myy (ENV-SLE).



12.3.2 Soletta di Copertura

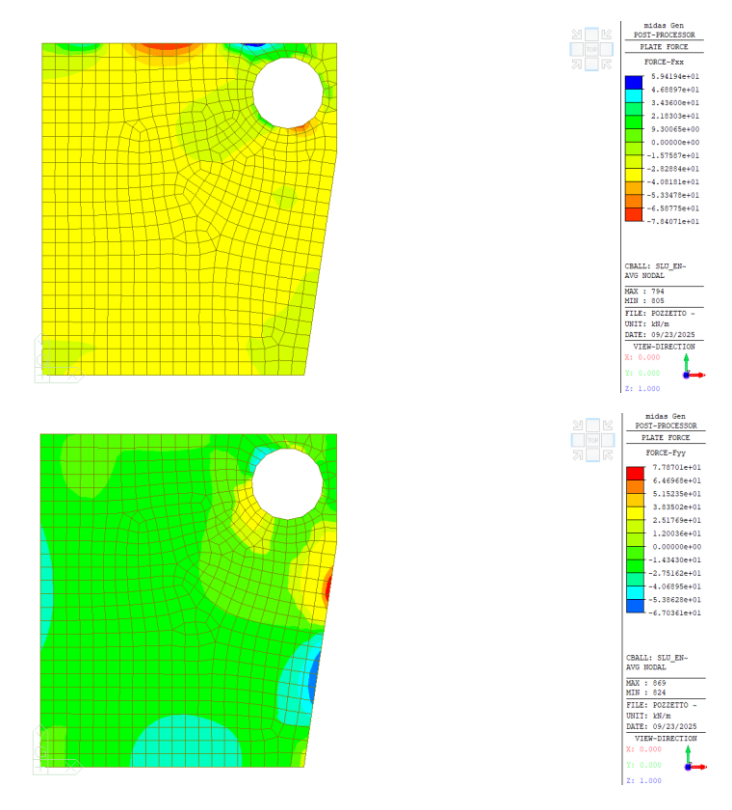


Figura 98 – Azione assiale Fxx e Fyy (ENV-SLU).

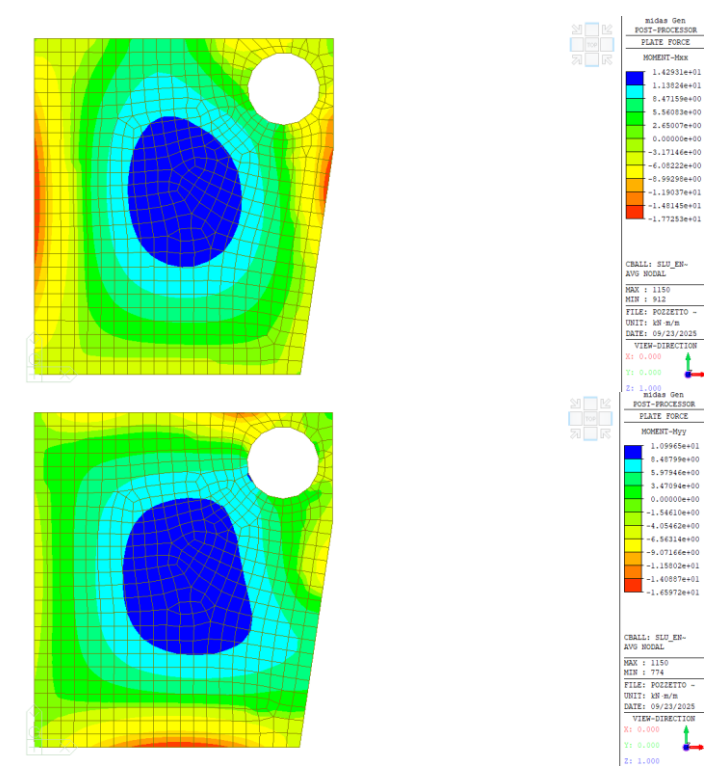


Figura 99 – Momento flettente Mxx e Myy (ENV-SLU).



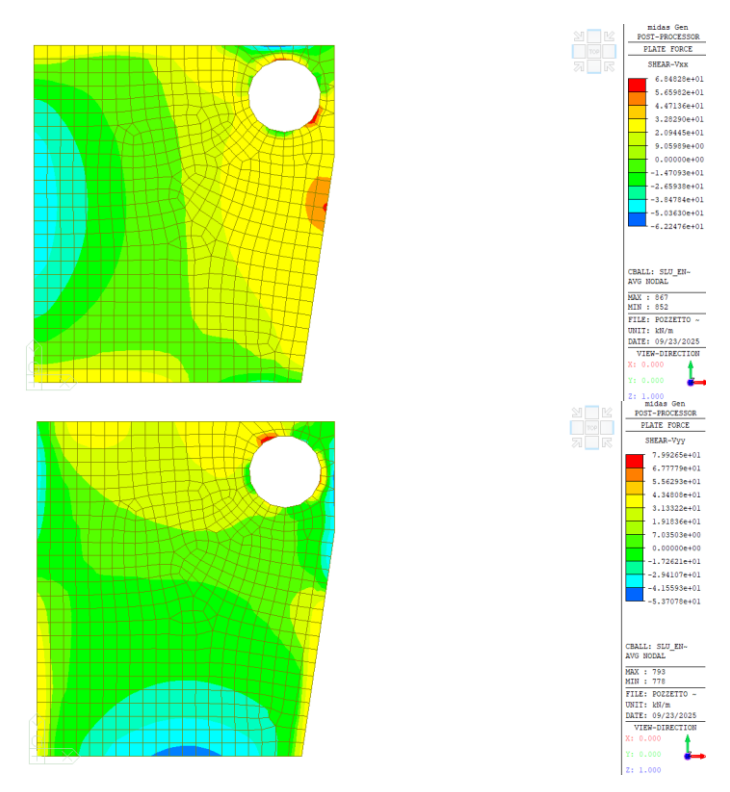


Figura 100 – Taglio Vxx e Vyy (ENV-SLU).

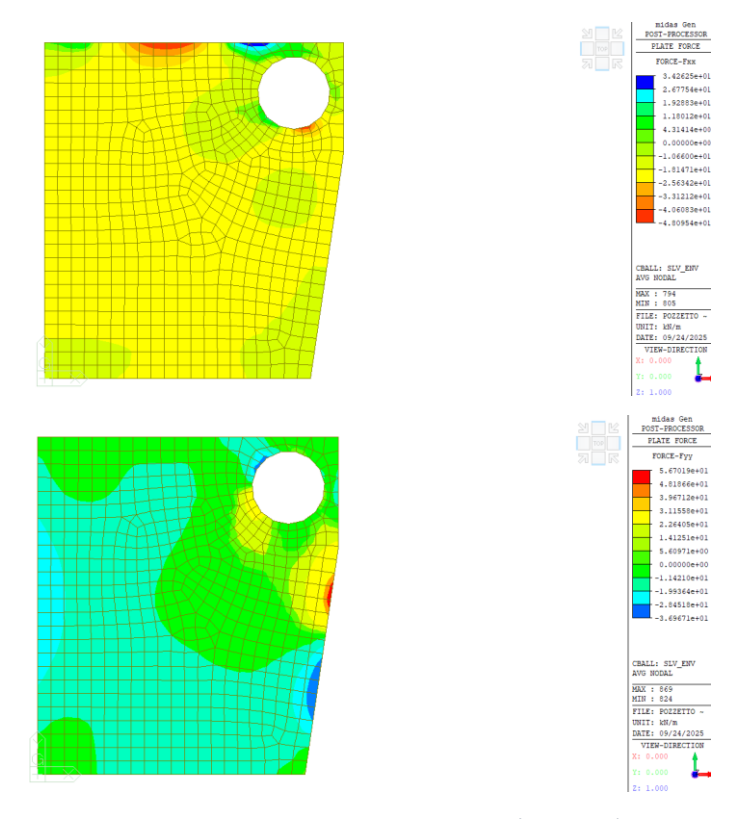


Figura 101 – Azione assiale Fxx e Fyy (ENV-SLV).



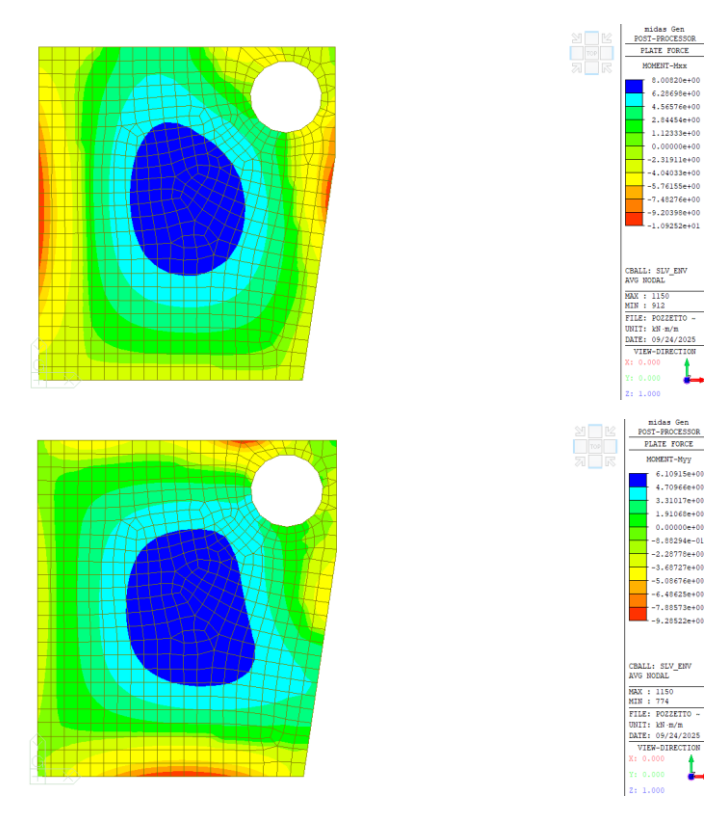


Figura 102 – Momento flettente Mxx e Myy (ENV-SLV).

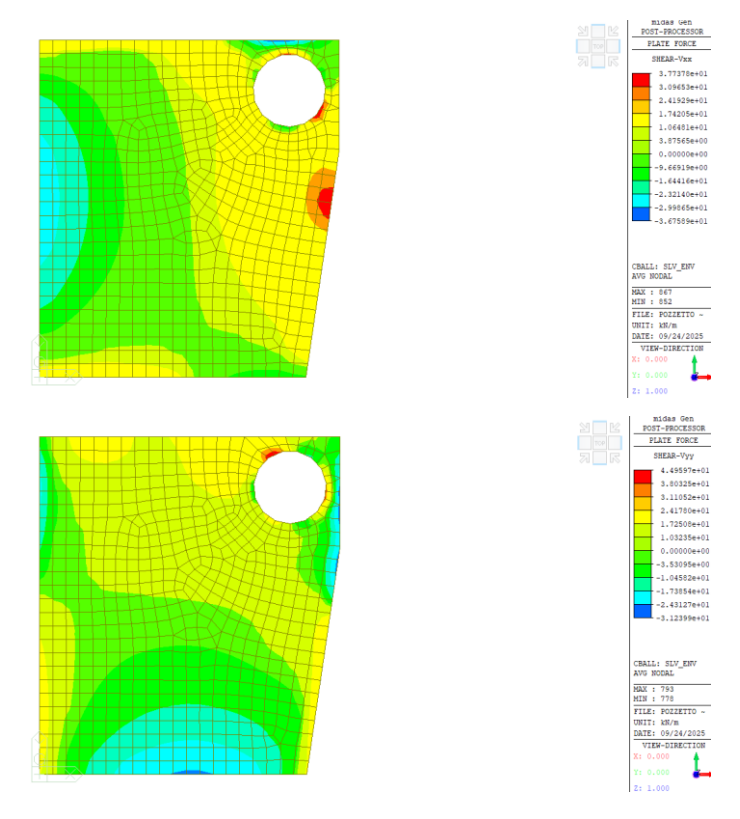


Figura 103 – Taglio Vxx e Vyy (ENV-SLV).



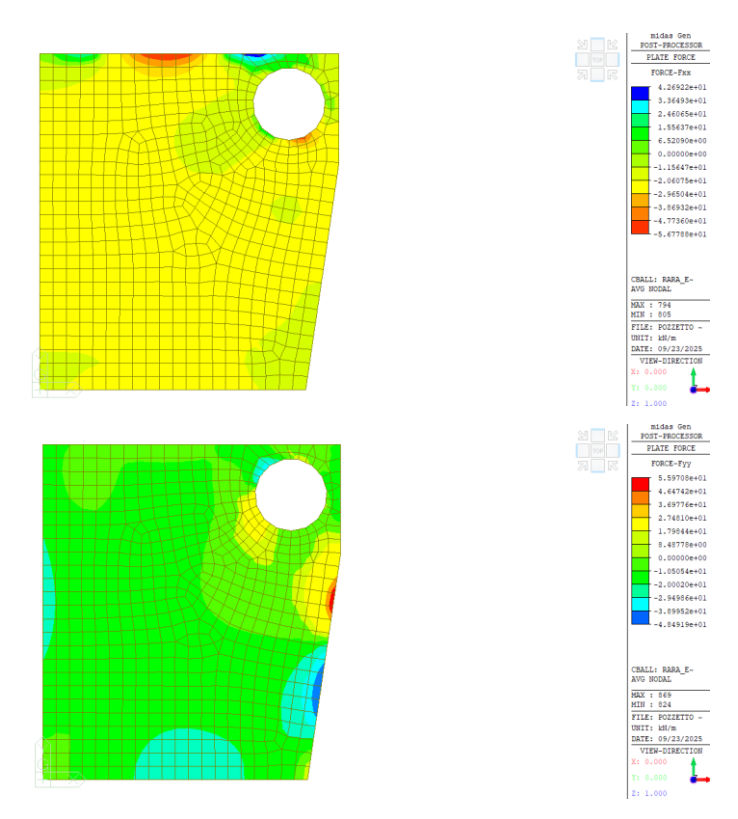


Figura 104 – Azione assiale Fxx e Fyy (ENV-SLE).

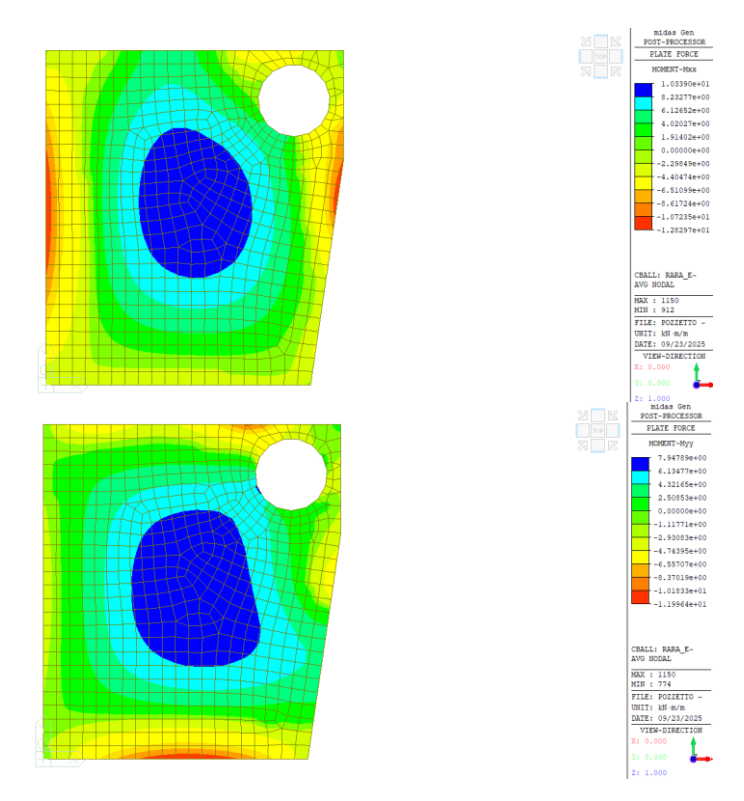


Figura 105 – Momento flettente Mxx e Myy (ENV-SLE).



12.3.3 Pareti

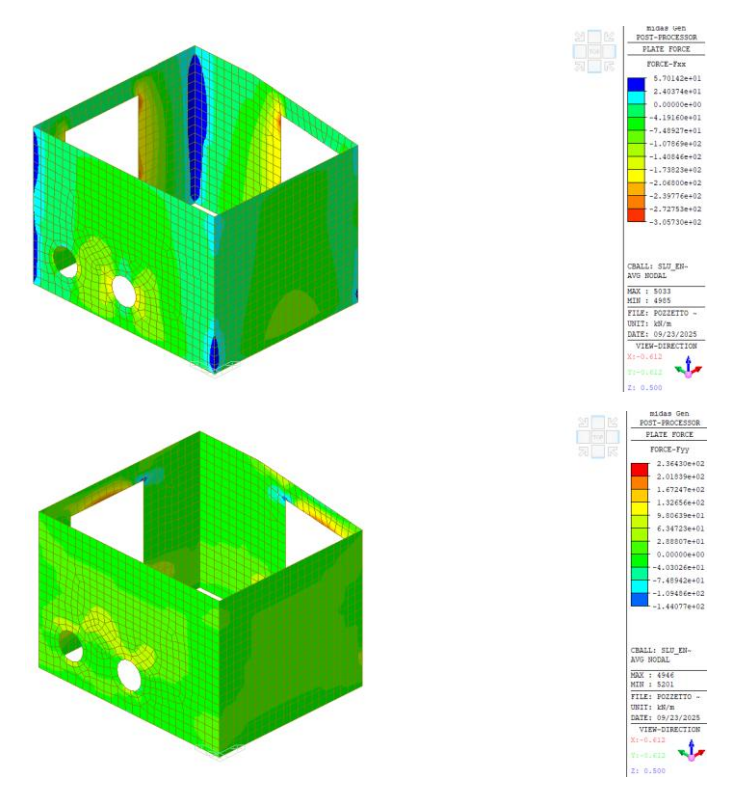


Figura 106 – Azione assiale Fxx e Fyy (ENV-SLU).

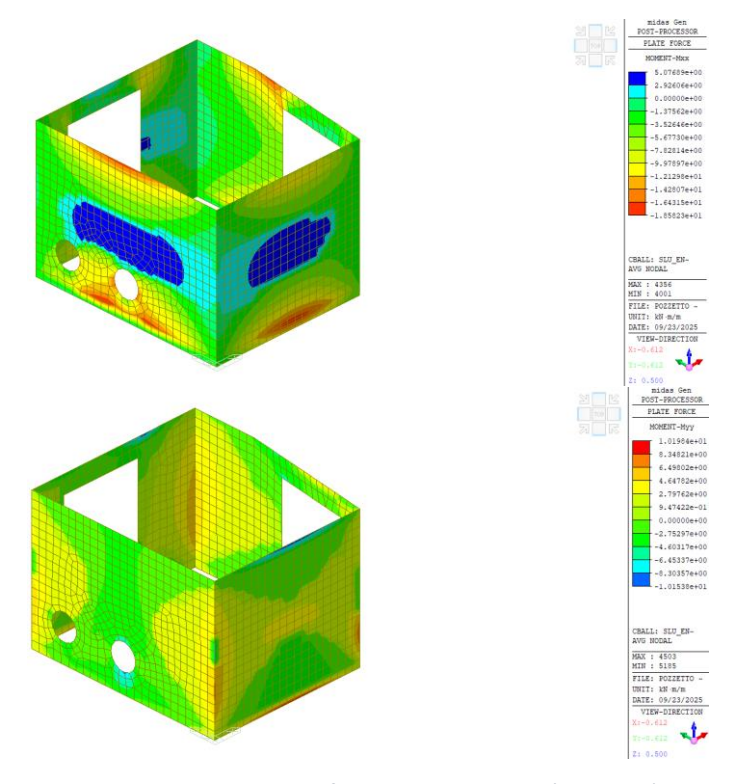


Figura 107 – Momento flettente Mxx e Myy (ENV-SLU).



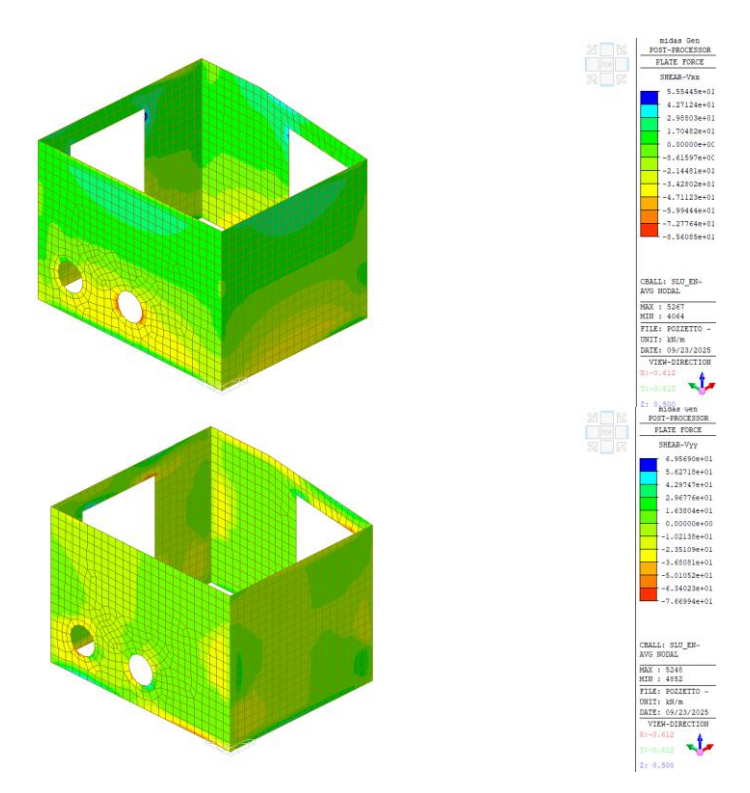


Figura 108 – Taglio Vxx e Vyy (ENV-SLU).

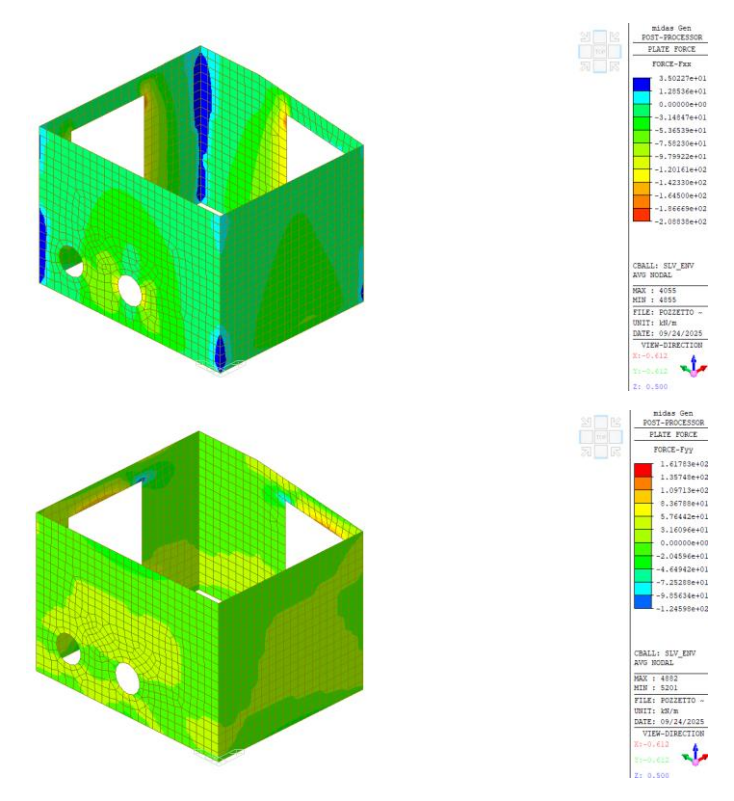


Figura 109 – Azione assiale Fxx e Fyy (ENV-SLV).



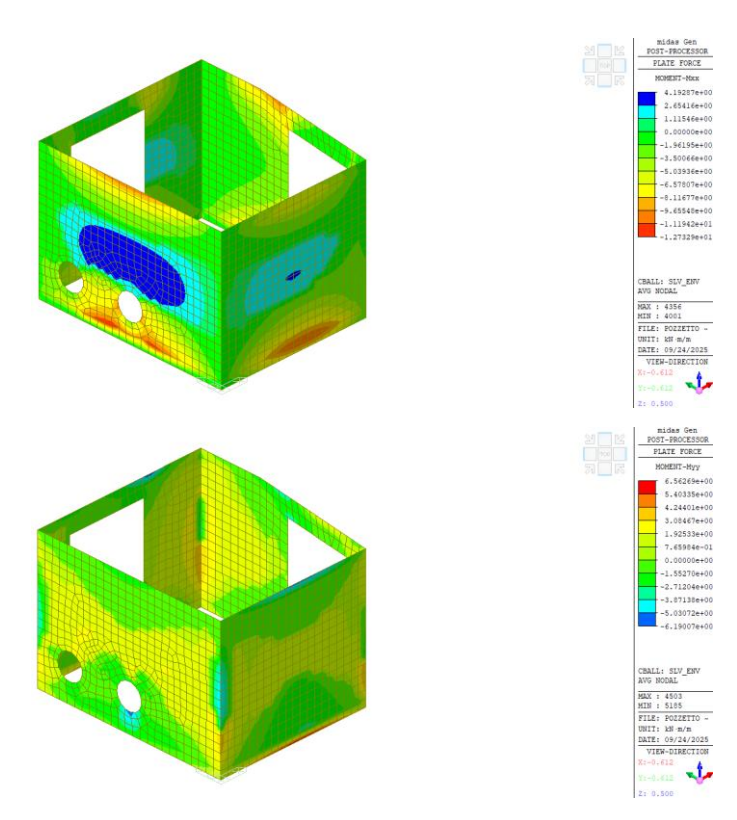


Figura 110 – Momento flettente Mxx e Myy (ENV-SLV).

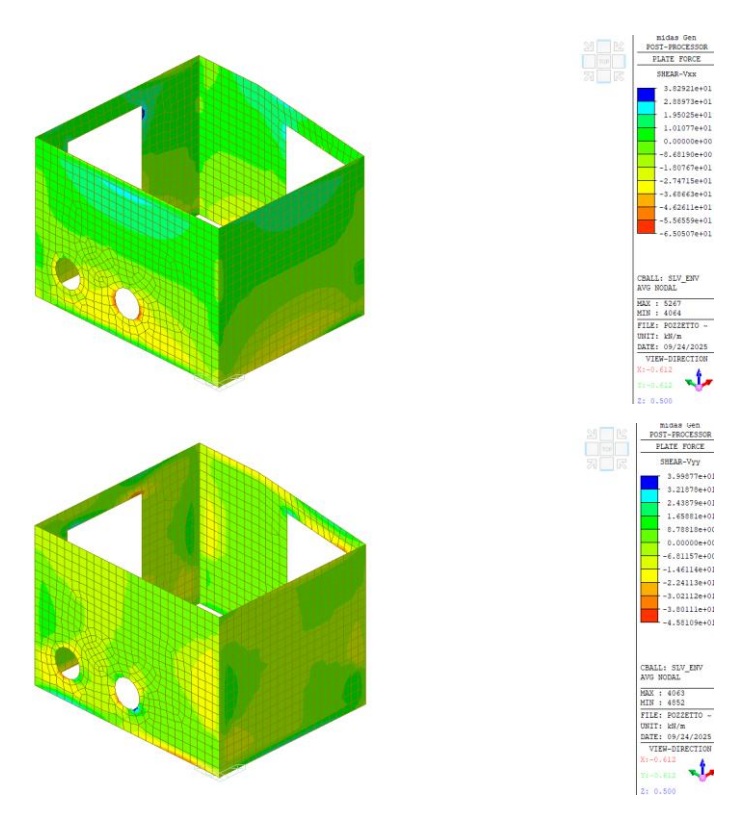


Figura 111 – Taglio Vxx e Vyy (ENV-SLV).



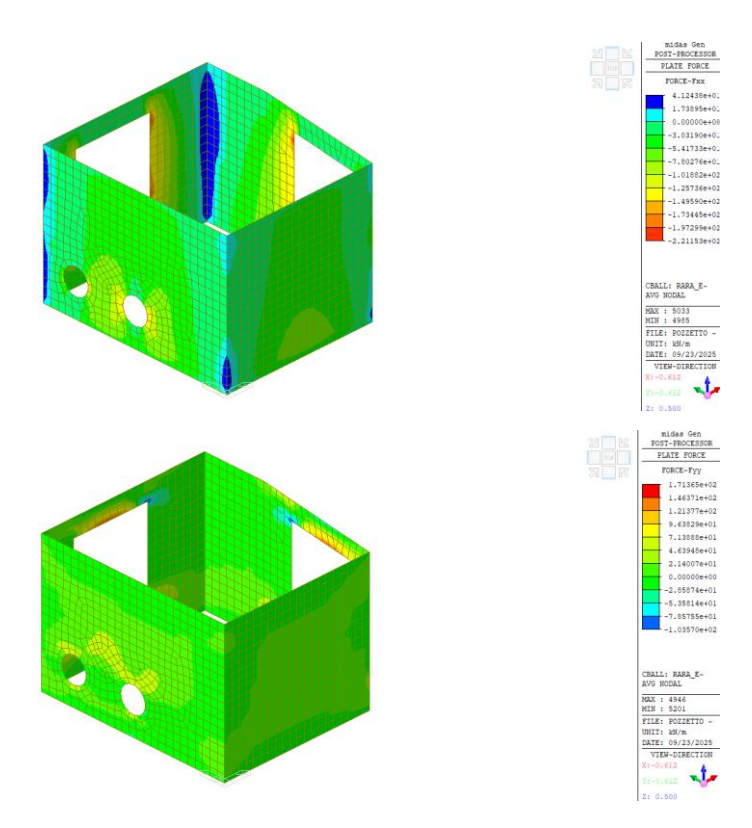


Figura 112 – Azione assiale Fxx e Fyy (ENV-SLE).

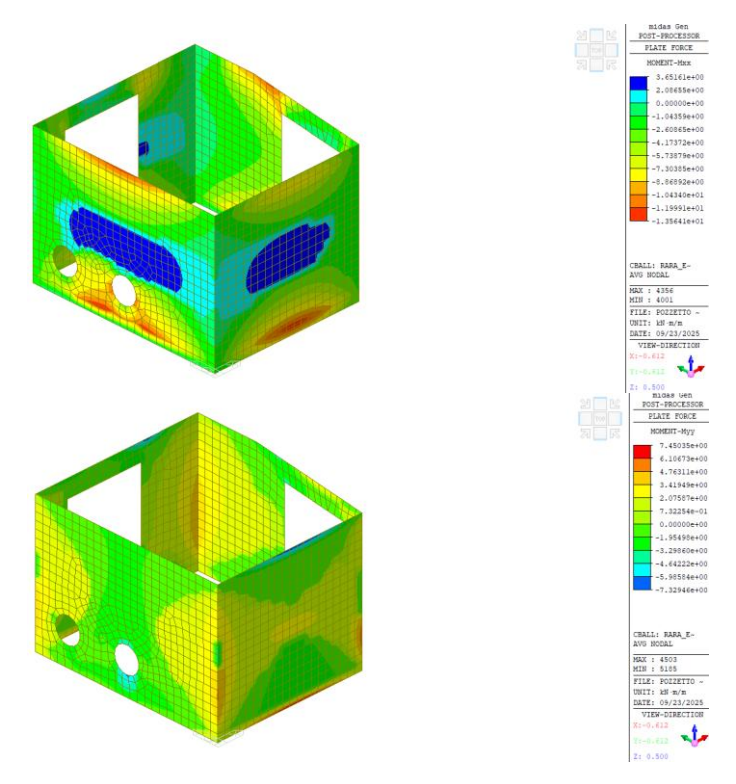


Figura 113 – Momento flettente Mxx e Myy (ENV-SLE).



13 CRITERI DI VERIFICA DEGLI ELEMENTI STRUTTURALI

La verifica degli elementi strutturali è stata condotta in due fasi successive. Nella prima, sulla base della più gravosa tra la combinazione di stato limite ultimo e la combinazione sismica, è stato dimensionato il rinforzo necessario per garantire sufficiente resistenza alla sezione.

Successivamente si è valutato se, data la quantità di armatura disposta, risultassero soddisfatti i requisiti di durabilità della struttura, quindi soddisfatte le verifiche di stato limite di esercizio.

13.1 Verifiche di stato limite ultimo

13.1.1 Pressoflessione

Le verifiche a pressoflessione vengono condotte confrontando le resistenze ultime e le sollecitazioni massime agenti, valutando il corrispondente fattore di mobilitazione (FS) come rapporto tra la sollecitazione resistente e la massima agente.

Le verifiche flessionali allo SLU sono eseguite adottando le seguenti ipotesi:

- Conservazione delle sezioni piane;
- Perfetta aderenza tra acciaio e calcestruzzo;
- Resistenza a trazione del calcestruzzo nulla;
- Rottura del calcestruzzo determinata dal raggiungimento della sua capacità deformativa ultima a compressione;
- Rottura dell'armatura tesa determinata dal raggiungimento della sua capacità deformativa ultima.

Le tensioni nel calcestruzzo e nell'armatura sono state dedotte a partire dalle deformazioni utilizzando i rispettivi diagrammi tensione-deformazione.

Per quanto attiene la legge σ - ϵ del calcestruzzo si è utilizzata una curva parabola-rettangolo, considerando solo la porzione compressa e assumendo ϵ_{c2} =0,2% e ϵ_{cu} =0,35%.

Per quanto riguarda l'acciaio si è assunto un diagramma bilineare elastico-perfettamente plastico.

13.1.2 Taglio

La verifica allo SLU per taglio è stata condotta assumendo i seguenti valori della resistenza di calcolo:

Resistenza di calcolo dell'elemento privo di armatura a taglio:

$$V_{Rd,c} = \max \left\{ C_{Rd,c} \cdot k \cdot \left[(100 \cdot \rho_l \cdot f_{ck})^{\frac{1}{3}} + k_1 \cdot \sigma_{cp} \right] \cdot b_w \cdot d; (\upsilon_{min} + k_1 \cdot \sigma_{cp}) \cdot b_w \cdot d \right\}$$



 sforzo di taglio che può essere sopportato dall'armatura a taglio alla tensione di snervamento:

$$V_{Rd,s} = \frac{A_{sw}}{s} \cdot z \cdot f_{yd} \cdot \cot \vartheta$$

 massimo sforzo di taglio che può essere sopportato dall'elemento, limitato dalla rottura delle bielle compresse:

$$V_{Rd,max} = \frac{\alpha_{cw} \cdot b_w \cdot z \cdot v_1 \cdot f_{cd}}{\cot \vartheta + \tan \vartheta}$$

Nelle espressioni precedenti, i simboli hanno i seguenti significati:

$$\circ \quad k = 1 + \sqrt{200/d} \ \text{con d in mm}$$

- o A_{sl} è l'area dell'armatura tesa
- o bw è la larghezza minima della sezione in zona tesa

$$\circ \quad \sigma_{cp} = \frac{N_{Ed}}{A_c} \le 0.2 \cdot f_{cd}$$

- O NEd è la forza assiale nella sezione dovuta ai carichi
- o A_c è l'area della sezione di calcestruzzo

$$\circ \quad C_{Rd,c} = \frac{0.18}{\gamma_c}$$

$$o k_1 = 0.15$$

$$\circ \quad \upsilon_{min} = 0.035 \cdot k^{\frac{3}{2}} \cdot f_{ck}$$

- \circ $\upsilon = 0.5$ per calcestruzzi fino a C70/85
- \circ 1 \leq cot $\theta \leq$ 2.5
- O Asw è l'area della sezione trasversale dell'armatura a taglio
- o s è il passo delle staffe
- o f_{yd} è la tensione di snervamento di progetto dell'armatura a taglio
- \circ $\upsilon_1=\upsilon=0.5$ è il coefficiente di riduzione della resistenza del calcestruzzo fessurato per taglio
- α_{cw} è un coefficiente che tiene conto dell'interazione tra la tensione nel corrente compresso e qualsiasi tensione di compressione assiale.



13.2 Verifiche di stato limite di esercizio

Le verifiche allo stato limite di esercizio riguardano:

- Controllo delle tensioni nell'acciaio e nel calcestruzzo;
- Limitazione dell'ampiezza delle fessure nel calcestruzzo.

In entrambi i casi, il calcolo delle tensioni nella sezione resistente avviene ipotizzando una legge costitutiva tensioni-deformazioni di tipo lineare. Nel primo caso, noti i valori delle tensioni nell'acciaio e nel calcestruzzo, si valuta il rispetto dei limiti tensionali previsti dalla norma; nel secondo caso si esegue il calcolo dell'ampiezza delle fessure in accordo con le indicazioni fornite al Paragrafo 4.1.2.2.4 delle NTC2018.

13.2.1 Fessurazione

L'ampiezza delle fessure viene calcolata come:

$$w_k = s_{r,max} \cdot (\epsilon_{sm} - \epsilon_{cm})$$

dove:

- s_{r.max}: è la distanza massima tra le fessure;
- $\varepsilon_{\rm sm}$: è la deformazione media nell'armatura sotto la combinazione di carico pertinente;
- $\varepsilon_{\rm cm}$: è la deformazione media del calcestruzzo tra le fessure.

Il termine tra parentesi può essere ottenuto come:

$$\epsilon_{sm} - \epsilon_{cm} = \frac{\sigma_s - k_t \cdot \frac{f_{ct,eff}}{\rho_{p,eff}} \cdot \left(1 + \alpha_e \cdot \rho_{p,eff}\right)}{E_s} \geq 0.6 \cdot \frac{\sigma_s}{E_s}$$

dove:

- σ_s è la tensione nell'armatura tesa considerando la sezione fessurata;
- α_e equivale al rapporto E_s / E_{cm};
- f_{ct,eff} è il valore medio della resistenza a trazione efficace del calcestruzzo;
- $\rho_{p,eff} = As / A_{c,eff}$;
- A_{c,eff} è l'area efficace di calcestruzzo teso attorno all'armatura ordinaria o a quella di precompressione.;
- k_t è un fattore dipendente dalla durata dei carichi, pari a 0.4 per carichi di lunga durata.

La distanza massima finale tra le fessure può essere invece ricavata tramite la seguente espressione:



$$s_{r,max} = k_3 \cdot c + k_1 \cdot k_2 \cdot k_4 \cdot \varphi / \rho_{p,eff}$$

dove:

• \emptyset è il diametro delle barre. Se in una sezione sono impiegate barre di diametro diverso si raccomanda di adottare un diametro equivalente, \emptyset_{eq} . Per una sezione con n1 barre di diametro \emptyset 1 e n2 barre di diametro \emptyset 2, si raccomanda di adottare l'espressione seguente:

$$\phi_{eq} = \frac{n_1 \cdot \phi_1^2 + n_2 \cdot \phi_2^2}{n_1 \cdot \phi_1 + n_2 \cdot \phi_2}$$

- c è il ricoprimento dell'armatura;
- k₁ è un coefficiente che tiene conto delle proprietà di aderenza dell'armatura aderente, pari a 0.8 per barre ad aderenza migliorata;
- k₂ è un coefficiente che tiene conto della distribuzione delle deformazioni, vale 1.0 per trazione pura e 0.5 per flessione;
- k₃ è un coefficiente per il quale si raccomanda di utilizzare il valore di 3.4;
- k₄ è un coefficiente per il quale si raccomanda di utilizzare il valore di 0.425.

Poiché la struttura è caratterizzata da una classe di esposizione XC4, i limiti di apertura delle fessure risultano pari a **0.3 mm** in combinazione frequente e pari **0.2 mm** in combinazione quasi permanente.

13.2.2 Limitazioni delle tensioni

La verifica riguarda il controllo degli stati tensionali ed è soddisfatta se risultano rispettati i seguenti limiti:

COMBINAZIONE QUASI PERMANENTE:

- $\sigma_c < 0.45 f_{ck}$
- σ_s < 0.80 f_{yk}

<u>COMBINAZIONE CARATTERISTICA</u>:

- $\sigma_c < 0.60 f_{ck}$
- $\sigma_s < 0.80 \, f_{vk}$



14 CRITERI DI VERIFICA GEOTECNICA

Nel presente capitolo si riportano i criteri di verifica geotecnica della struttura in progetto. Nello specifico si è condotta la verifica di capacità portante.

14.1 Verifica di capacità portante

Per la valutazione della capacità portante del terreno di fondazione si fa riferimento alla relazione generale di Brinch-Hansen (1970), considerando il terreno di fondazione in condizioni drenate. Tale formulazione fornisce il valore della pressione media limite.

Si fa quindi riferimento alla formulazione seguente:

$$q_{limite} = \frac{1}{2} \cdot \gamma' \cdot B \cdot N_{\gamma} \cdot s_{\gamma} \cdot i_{\gamma} \cdot b_{\gamma} \cdot g_{\gamma} + q' \cdot N_{q} \cdot s_{q} \cdot d_{q} \cdot i_{q} \cdot b_{q} \cdot g_{q} + c' \cdot N_{c} \cdot s_{c} \cdot d_{c} \cdot i_{c} \cdot b_{c} \cdot g_{c}$$
 dove:

- y' è il peso dell'unità di volume del terreno;
- B è la larghezza della fondazione;
- Lè la lunghezza della fondazione;
- q' è la pressione verticale alla quota di imposta della fondazione;
- Nγ, Nq e Nc sono i fattori di capacità portante:

$$\begin{split} N_{q} &= \frac{1 + \sin \phi_{d}}{1 - \sin \phi_{d}} \cdot e^{\pi \tan \phi_{d}} \\ N_{\gamma} &= 2 \cdot \left(N_{q} + 1\right) \cdot \tan \phi_{d} \\ N_{c} &= \left(N_{q} - 1\right) \cdot \cot \phi_{d} \end{split}$$

- φ_d è l'angolo di resistenza al taglio di progetto del terreno;
- c è la coesione di progetto del terreno;
- s_v, s_q, s_c sono i coefficienti di forma della fondazione:

$$\begin{aligned} s_{\gamma} &= s_{q} = 1 + 0.1 \cdot \frac{1 + \sin \phi_{d}}{1 - \sin \phi_{d}} \cdot \frac{B}{L} \\ s_{c} &= 1 + 0.2 \cdot \frac{1 + \sin \phi_{d}}{1 - \sin \phi_{d}} \cdot \frac{B}{L} \end{aligned}$$

• dq, dc sono i coefficienti di approfondimento:

$$\begin{split} d_q &= 1 + 2 \cdot \tan \phi_d \cdot (1 - \sin \phi_d)^2 \cdot \frac{D}{B} \quad (D \le B) \\ d_q &= 1 + 2 \cdot \tan \phi_d \cdot (1 - \sin \phi_d)^2 \cdot \tan^{-1} \frac{D}{B} \quad (D > B) \end{split}$$



$$d_{c} = d_{q} - \frac{1 - d_{q}}{N_{c} \cdot \tan \varphi_{d}}$$

• i_{γ} , i_{q} , i_{c} sono i coefficienti di inclinazione del carico:

$$\begin{split} i_{\gamma} &= \left(1 - \frac{H}{N + B \cdot L \cdot \cot \phi_d}\right)^{m+1} \\ i_{q} &= \left(1 - \frac{H}{N + B \cdot L \cdot \cot \phi_d}\right)^{m} \\ i_{c} &= i_{q} - \frac{1 - i_{q}}{N_{c} \cdot \tan \phi_d} \\ m &= \frac{2 + \frac{B}{L}}{1 + \frac{B}{L}} \end{split}$$

- He N sono rispettivamente il carico orizzontale e il carico verticale agenti in fondazione;
- b_y, b_q, b_c sono i coefficienti per l'inclinazione della fondazione:

$$g_{\gamma} = g_{q} = (1 - \tan \omega)^{2}$$
$$g_{c} = g_{q} - \frac{1 - g_{q}}{N_{c} \cdot \tan \phi_{d}}$$

• ω è l'angolo di inclinazione del piano campagna.



15 VERIFICHE STRUTTURALI

Nel presente paragrafo si riportano le verifiche condotte secondo la vigente normativa NTC 2018 sugli elementi strutturali costituenti le camerette.

Le verifiche sono condotte in corrispondenza delle sezioni più significative. Nelle seguenti figure sono riportate tutte le sezioni di verifica per ogni elemento strutturale.

15.1 Manufatto sfioratore

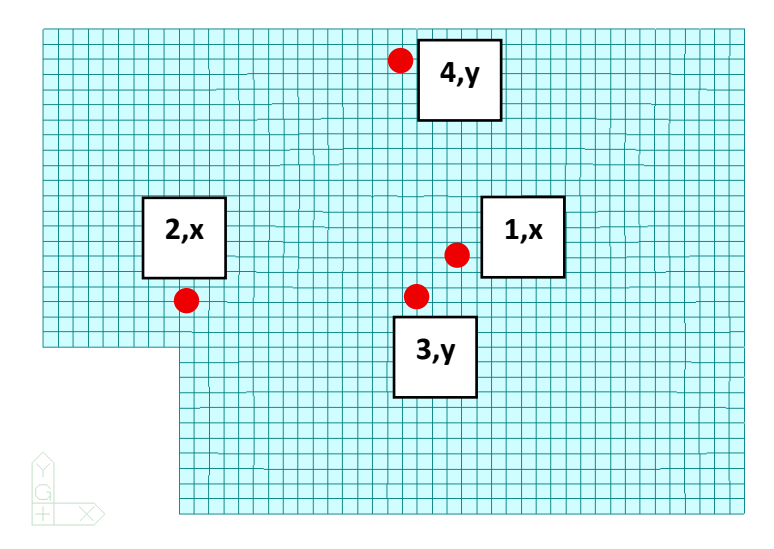


Figura 114 – Pianta fondazioni, manufatto sfioratore.

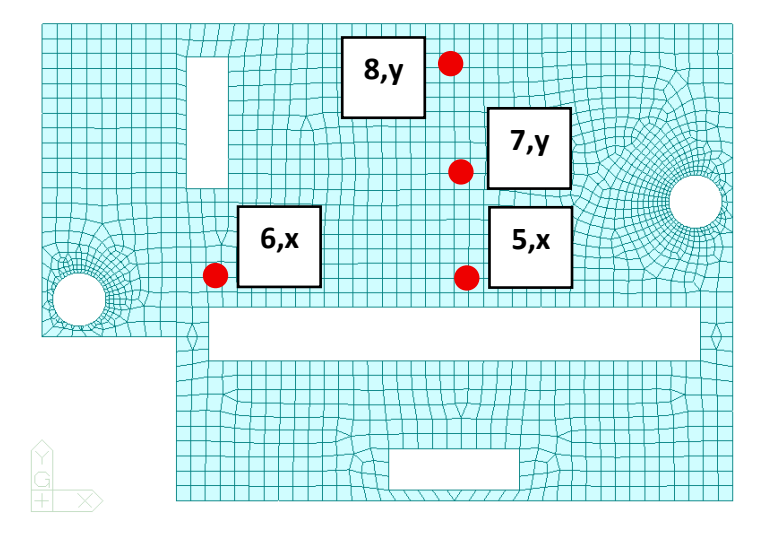


Figura 115 – Pianta copertura, manufatto sfioratore.



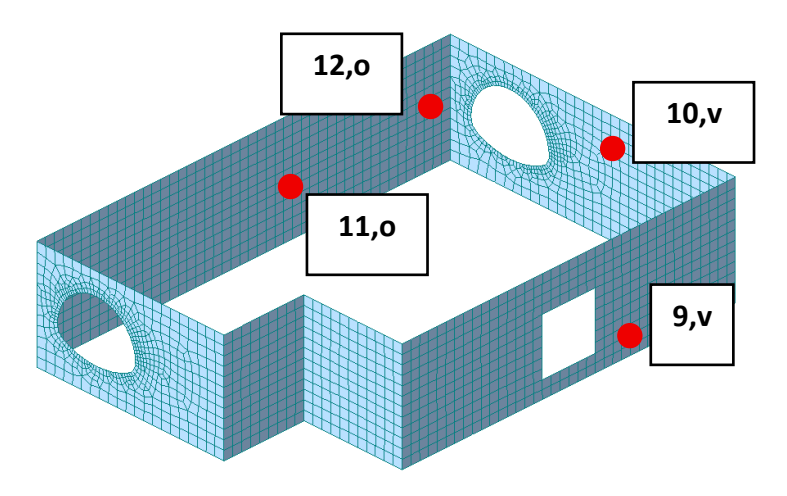


Figura 116 – Pareti, manufatto sfioratore.

		Dime	nsioni	Armatura inferiore	Armatura superiore	Momento	Momento	
						sollecitante	resistente	FS
SEZ	ZIONE	В	Н	As	A _{s'}	M _{ed}	M _{rd}	
		[m]	[m]	[cm²]	[cm ²]	[kNm]	[kNm]	[-]
	1 – dir. X	1.00	0.50	Ф16/20 – 10.05	Ф16/20 – 10.05	87.80	176.90	2.02
Fd::	2 – dir. X	1.00	0.50	Ф16/20 – 10.05	Ф16/20 – 10.05	132.20	176.90	1.34
Fondazioni	3 – dir. Y	1.00	0.50	Ф16/20 – 10.05	Ф16/20 – 10.05	112.20	176.50	1.57
	4 – dir. Y	1.00	0.50	Ф16/20 – 10.05	Ф16/20 – 10.05	66.10	176.50	2.67
	5 – dir. X	1.00	0.35	Ф20/20 – 15.71	Ф20/20 – 15.71	151.60	174.70	1.15
Copertura	6 – dir. X	1.00	0.35	Φ20/20 + Φ14/20 – 23.40	Ф20/20 – 15.71	225.70	250.80	1.11
	7 – dir. Y	1.00	0.35	Ф20/20 – 15.71	Ф20/20 – 15.71	30.30	168.10	5.55
	8 – dir. Y	1.00	0.35	Ф20/20 – 15.71	Ф20/20 – 15.71	124.80	168.10	1.35
				INTERNA	ESTERNA			
	9 – dir. V	1.00	0.35	Ф16/20 – 10.05	Ф16/20 – 10.05	114.30	117.50	1.03
Pareti	10 – dir. V	1.00	0.35	Ф16/20 – 10.05	Ф16/20 + Ф12/20 – 15.71	143.10	172.70	1.21
11 – dir	11 – dir. O	1.00	0.35	Ф12/20 – 5.65	Ф12/20 – 5.65	23.60	71.72	3.04
	12 – dir. O	1.00	0.35	Ф12/20 – 5.65	Ф12/20 – 5.65	33.70	71.72	2.13

Tabella 3 – Verifica a flessione SLU, manufatto sfioratore.



Verifica	a taglio						
CE7	SEZIONE		Spilli	Assenza armatura	Lato cls	Lato acciaio	Taglio resist.
3E2			n	V _{Rd,0}	$V_{Rd,C}$	$V_{Rd,S}$	V _{Rd}
			[-]	[kN]	[kN]	[kN]	[kN]
1 – dir. X		6.90	Ф10/20х40	192.30	1271.77	390.52	390.52
Fondazioni	2 – dir. X	160.20	Ф10/20х40	192.30	1271.77	390.52	390.52
	3 – dir. Y	37.40	Ф10/20х40	187.52	1226.75	376.70	376.70
	4 – dir. Y	137.10	Ф10/20х40	187.52	1226.75	376.70	376.70
	5 – dir. X	31.30	Ф10/20х40	167.33	844.09	259.49	259.49
C	6 – dir. X	173.00	Ф10/20х40	189.60	848.31	260.49	260.49
Copertura	7 – dir. Y	50.60	Ф10/20х40	162.33	787.82	241.92	241.92
	8 – dir. Y	109.00	Ф10/20х40	162.33	787.82	241.92	241.92
	9 – dir. V	131.50	Ф10/20х40	142.90	815.96	250.56	250.56
Pareti	10 – dir. V	160.80	Ф10/20х40	142.90	815.96	250.56	250.56
raieti	11 – dir. O	56.30	Ф10/20х40	146.70	855.36	262.65	262.65
	12 – dir. O	54.10	Ф10/20х40	146.70	855.36	262.65	262.65

Tabella 4 – Verifica a taglio SLU, manufatto sfioratore.

Verifica state	tensionale	– combinaz	ione cara	tteristica		
	SEZIONE		Sforzo acciaio	Sforzo cls	Sforzo limite acc.	Sforzo limite cls
SEZIO			σs	σ _c	σ s,lim	σ _{c,lim}
			[MPa]	[MPa]	[MPa]	[MPa]
	1 – dir. X	62.10	147.90	2.67	360.00	19.20
Fondazioni	2 – dir. X	93.40	222.50	4.01	360.00	19.20
Fondazioni	3 – dir. Y	80.00	198.60	3.75	360.00	19.20
	4 – dir. Y	48.00	119.10	2.25	360.00	19.20
	5 – dir. X	104.80	250.50	7.12	360.00	19.20
Companions	6 – dir. X	155.70	253.90	9.14	360.00	19.20
Copertura	7 – dir. Y	21.40	55.38	1.74	360.00	19.20
	8 – dir. Y	87.00	225.20	7.07	360.00	19.20
	9 – dir. V	78.30	291.40	6.82	360.00	19.20
Dovoti:	10 – dir. V	98.70	239.30	7.20	360.00	19.20
Pareti	11 – dir. O	16.30	102.40	1.75	360.00	19.20
	12 – dir. O	24.00	150.80	2.57	360.00	19.20

 $Tabella\ 5-Verifica\ stato\ tensionale\ in\ combinazione\ caratteristica,\ manufatto\ sfioratore.$



Verifica stato	tensionale	– combinaz	zione quas	i permaner	nte	
	SEZIONE		Sforzo	Sforzo cls	Sforzo	Sforzo
55710			acciaio	Storzo cis	limite acc.	limite cls
SEZIO			σs	σ _c	$\sigma_{s,lim}$	$\sigma_{c,lim}$
			[MPa]	[MPa]	[MPa]	[MPa]
	1 – dir. X	35.80	85.27	1.54	360.00	12.80
Fondazioni	2 – dir. X	52.80	125.80	2.27	360.00	12.80
ronuazioni	3 – dir. Y	49.50	129.60	2.45	360.00	12.80
	4 – dir. Y	39.10	97.05	1.83	360.00	12.80
	5 – dir. X	35.20	84.13	2.39	360.00	12.80
Copertura	6 – dir. X	52.50	85.61	3.08	360.00	12.80
Copertura	7 – dir. Y	13.10	33.90	1.07	360.00	12.80
	8 – dir. Y	38.00	98.34	3.09	360.00	12.80
	9 – dir. V	21.90	81.49	1.91	360.00	12.80
Pareti	10 – dir. V	33.00	80.01	2.41	360.00	12.80
· u.cu	11 – dir. O	7.10	44.61	0.76	360.00	12.80
	12 – dir. O	11.70	73.51	1.25	360.00	12.80

Tabella 6 – Verifica stato tensionale in combinazione quasi permanente, manufatto sfioratore.

Verifica aper	tura fessure	e – combina	zione frequ	iente	
CEZIO	SEZIONE .		Momento Sollecitante Asse neutro		Apertura amm.
SEZIC			х	Wk	W k,max
		[kNm]	[mm]	[MPa]	[MPa]
	1 – dir. X	55.50	95.00	0.179	0.300
Fondazioni	2 – dir. X	83.20	95.00	0.268	0.300
	3 – dir. Y	73.00	95.00	0.294	0.300
	4 – dir. Y	43.50	95.00	0.175	0.300
	5 – dir. X	87.40	88.00	0.200	0.300
Copertura	6 – dir. X	129.90	103.00	0.182	0.300
copertura	7 – dir. Y	16.90	88.00	0.048	0.300
	8 – dir. Y	74.80	88.00	0.212	0.300
	9 – dir. V	64.20	76.00	0.297	0.300
Pareti	10 – dir. V	82.30	90.00	0.188	0.300
	11 – dir. O	14.00	61.00	0.125	0.300
	12 – dir. O	20.70	61.00	0.185	0.300

Tabella 7 – Verifica apertura fessure in combinazione frequente, manufatto sfioratore.



Verifica apert	ura fessure	– combina	zione quas	i permane	nte
SEZION	NF.	Momento sollecitante	Asse neutro	Apertura fessura	Apertura amm.
322.0.		M _{Ed}	х	\mathbf{w}_{k}	W k,max
			[mm]	[MPa]	[MPa]
	1 – dir. X	35.80	95.00	0.115	0.200
Fondazioni	2 – dir. X	52.80	95.00	0.170	0.200
	3 – dir. Y	49.50	95.00	0.199	0.200
	4 – dir. Y	39.10	95.00	0.157	0.200
	5 – dir. X	35.20	88.00	0.077	0.200
Copertura	6 – dir. X	52.50	103.00	0.059	0.200
Copertura	7 – dir. Y	13.10	88.00	0.037	0.200
	8 – dir. Y	38.00	88.00	0.108	0.200
	9 – dir. V	21.90	76.00	0.101	0.200
Pareti	10 – dir. V	33.00	90.00	0.073	0.200
	11 – dir. O	7.10	61.00	0.063	0.200
	12 – dir. O	11.70	61.00	0.104	0.200

Tabella 8 – Verifica apertura fessure in combinazione quasi permanente, manufatto sfioratore.



15.2 Manufatto di sollevamento

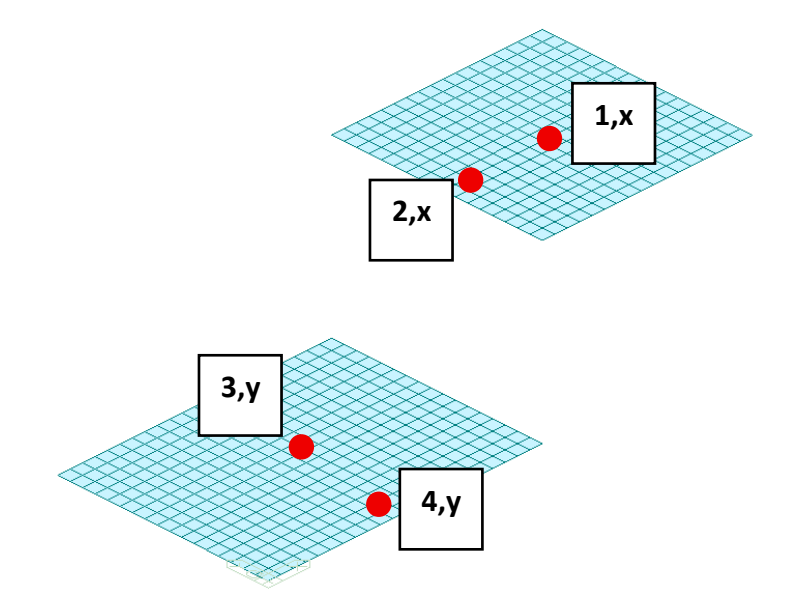


Figura 117 – Pianta fondazioni, manufatto di sollevamento.

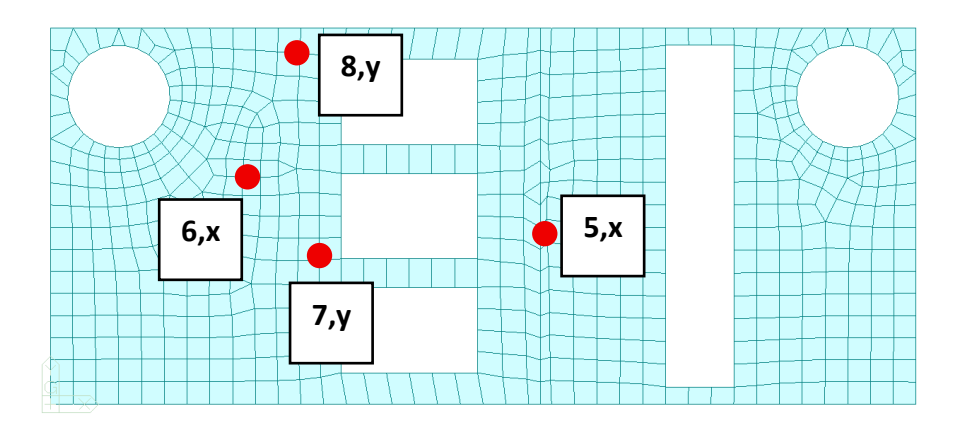


Figura 118 – Pianta copertura, manufatto di sollevamento.



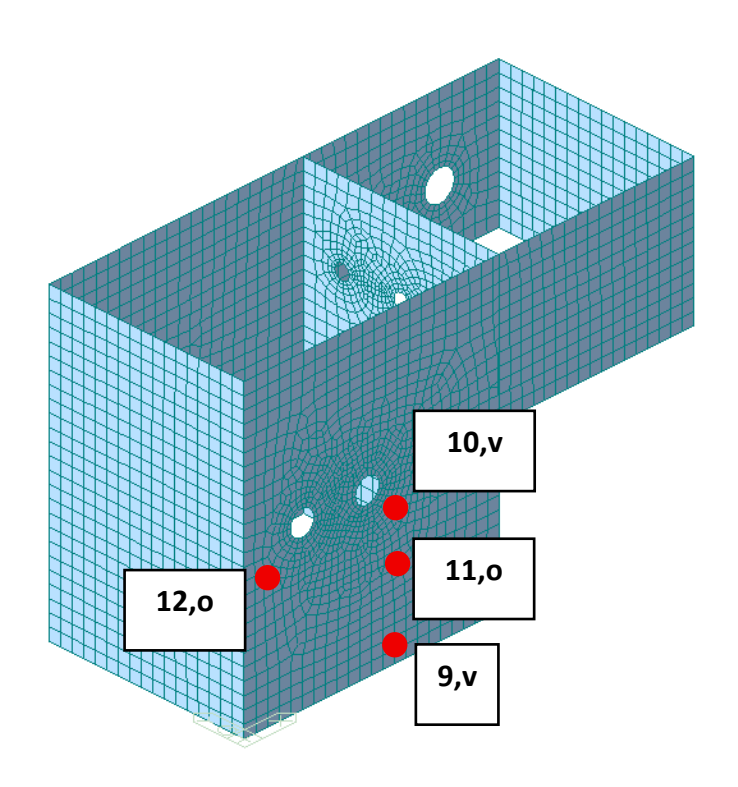


Figura 119 – Pareti, manufatto di sollevamento.

Verifica a	a flessione							
		Dime	nsioni	Armatura inferiore	Armatura superiore	Momento	Momento	
65-	ZIONE					sollecitante	resistente	FS
364	ZIONE	В	Н	As	A _{s'}	M _{ed}	M _{rd}	
		[m]	[m]	[cm²]	[cm ²]	[kNm]	[kNm]	[-]
	1 – dir. X	1.00	0.35	Ф14/20 – 7.70	Ф14/20 – 7.70	25.80	93.59	3.63
Fondazioni	2 – dir. X	1.00	0.35	Ф14/20 – 7.70	Ф14/20 – 7.70	41.90	93.59	2.23
Fondazioni	3 – dir. Y	1.00	0.35	Ф14/20 – 7.70	Ф14/20 – 7.70	28.20	94.71	3.36
	4 – dir. Y	1.00	0.35	Ф14/20 – 7.70	Ф14/20 – 7.70	55.00	94.71	1.72
	5 – dir. X	1.00	0.30	Ф14/20 – 7.70	Ф14/20 – 7.70	15.70	78.52	5.00
Comounture	6 – dir. X	1.00	0.30	Ф14/20 – 7.70	Ф14/20 – 7.70	12.40	78.52	6.33
Copertura	7 – dir. Y	1.00	0.30	Ф14/20 – 7.70	Ф14/20 – 7.70	13.00	79.64	6.13
	8 – dir. Y	1.00	0.30	Ф14/20 – 7.70	Ф14/20 – 7.70	28.80	79.64	2.77
				INTERNA	ESTERNA			•
	9 – dir. V	1.00	0.30	Ф14/10 – 13.35	Ф14/10 – 13.35	35.40	122.80	3.47
Pareti	10 – dir. V	1.00	0.30	Ф14/20 – 7.70	Ф14/20 – 7.70	20.20	79.38	3.93
rafeti	11 – dir. O	1.00	0.30	Ф12/20 – 5.65	Ф12/20 – 5.65	23.70	60.67	2.56
	12 – dir. O	1.00	0.30	Ф12/20 – 5.65	Ф12/10 – 11.31	43.60	108.60	2.49

Tabella 9 – Verifica a flessione SLU, manufatto di sollevamento.



Verifica	a taglio						
SE7	SEZIONE		Spilli	Assenza armatura	Lato cls	Lato acciaio	Taglio resist.
312			n	$V_{Rd,0}$	$V_{Rd,C}$	$V_{Rd,S}$	V_{Rd}
			[-]	[kN]	[kN]	[kN]	[kN]
	1 – dir. X	11.00	Ф10/20х40	146.38	852.54	261.79	261.79
Fondazioni	2 – dir. X	120.90	Ф10/20х40	146.38	852.54	261.79	261.79
ronuazioni	3 – dir. Y	15.20	Ф10/20х40	141.87	813.14	249.69	249.69
	4 – dir. Y	107.80	Ф10/20х40	141.87	813.14	249.69	249.69
	5 – dir. X	29.80	Ф10/20х40	130.06	711.85	218.59	218.59
Copertura	6 – dir. X	34.60	Ф10/20х40	130.06	711.85	218.59	218.59
Copertura	7 – dir. Y	9.60	Ф10/20х40	125.38	672.46	206.49	206.49
	8 – dir. Y	44.30	Ф10/20х40	125.38	672.46	206.49	206.49
	9 – dir. V	94.00	Ф10/20х40	126.05	678.09	208.22	208.22
Pareti	10 – dir. V	12.10	Ф10/20х40	126.05	678.09	208.22	208.22
raieu	11 – dir. O	10.60	Ф10/20х40	130.39	714.67	219.45	219.45
	12 – dir. O	74.10	Ф10/20х40	130.39	714.67	219.45	219.45

Tabella 10 – Verifica a taglio SLU, manufatto di sollevamento.

SEZIO	SEZIONE		Sforzo acciaio	Sforzo cls	Sforzo limite acc.	Sforzo limite cl
SEZIONE		M _{Ed}	σs	σ _c	σ _{s,lim}	$\sigma_{c,lim}$
		[kNm]	[MPa]	[MPa]	[MPa]	[MPa]
	1 – dir. X	18.70	87.54	1.75	360.00	19.20
Fondazioni	2 – dir. X	30.70	143.70	2.86	360.00	19.20
	3 – dir. Y	20.60	101.20	2.15	360.00	19.20
	4 – dir. Y	40.40	198.60	4.21	360.00	19.20
	5 – dir. X	11.10	62.76	1.40	360.00	19.20
	6 – dir. X	8.80	49.76	1.11	360.00	19.20
Copertura	7 – dir. Y	9.30	55.56	1.33	360.00	19.20
	8 – dir. Y	20.80	124.30	2.98	360.00	19.20
	9 – dir. V	25.90	91.57	2.85	360.00	19.20
Pareti	10 – dir. V	14.80	87.77	2.08	360.00	19.20
	11 – dir. O	17.30	131.00	2.49	360.00	19.20
	12 – dir. O	31.40	122.10	3.40	360.00	19.20

Tabella 11 – Verifica stato tensionale in combinazione caratteristica, manufatto di sollevamento.



Verifica stato	tensionale	– combinaz	ione quas	i permaner	Verifica stato tensionale – combinazione quasi permanente									
SEZIOI	SEZIONE		Sforzo acciaio	Sforzo cls	Sforzo limite acc.	Sforzo limite cls								
312101			σs	σ_{c}	$\sigma_{s,lim}$	$\sigma_{c,lim}$								
			[MPa]	[MPa]	[MPa]	[MPa]								
	1 – dir. X	16.80	78.64	1.57	360.00	12.80								
Fondazioni	2 – dir. X	27.60	129.20	2.58	360.00	12.80								
Fondazioni	3 – dir. Y	18.00	88.46	1.88	360.00	12.80								
	4 – dir. Y	23.40	115.00	2.44	360.00	12.80								
	5 – dir. X	7.10	40.15	0.89	360.00	12.80								
Ct	6 – dir. X	5.80	32.80	0.73	360.00	12.80								
Copertura	7 – dir. Y	6.20	37.04	0.89	360.00	12.80								
	8 – dir. Y	16.30	97.38	2.34	360.00	12.80								
	9 – dir. V	23.40	82.74	2.57	360.00	12.80								
Pareti	10 – dir. V	13.50	80.06	1.90	360.00	12.80								
rareu	11 – dir. O	15.40	116.60	2.22	360.00	12.80								
	12 – dir. O	28.10	109.30	3.04	360.00	12.80								

Tabella 12 – Verifica stato tensionale in combinazione quasi permanente, manufatto di sollevamento.

		Momento	Asse neutro	Apertura	Apertur
SEZIOI	NF.	sollecitante		fessura	amm.
312101	1 L	M _{Ed}	х	Wk	W _{k,max}
		[kNm]	[mm]	[MPa]	[MPa]
Fondazioni	1 – dir. X	18.30	69.00	0.106	0.300
	2 – dir. X	29.90	69.00	0.173	0.300
	3 – dir. Y	19.90	69.00	0.135	0.300
	4 – dir. Y	39.30	69.00	0.266	0.300
	5 – dir. X	9.90	62.00	0.062	0.300
Copertura	6 – dir. X	8.10	62.00	0.050	0.300
Copertura	7 – dir. Y	8.50	62.00	0.063	0.300
	8 – dir. Y	19.70	62.00	0.146	0.300
	9 – dir. V	25.30	77.00	0.075	0.300
Pareti	10 – dir. V	14.50	62.00	0.105	0.300
	11 – dir. O	16.90	56.00	0.161	0.300
	12 – dir. O	30.60	74.00	0.092	0.300

Tabella 13 – Verifica apertura fessure in combinazione frequente, manufatto di sollevamento.



Verifica apertura fessure – combinazione quasi permanente								
SFZIOI	SEZIONE		Asse neutro	Apertura fessura	Apertura amm.			
3			х	\mathbf{w}_{k}	W _{k,max}			
			[mm]	[MPa]	[MPa]			
	1 – dir. X	16.80	69.00	0.097	0.200			
Fondazioni	2 – dir. X	27.60	69.00	0.160	0.200			
	3 – dir. Y	18.00	69.00	0.122	0.200			
	4 – dir. Y	23.40	69.00	0.158	0.200			
	5 – dir. X	7.10	62.00	0.044	0.200			
Copertura	6 – dir. X	5.80	62.00	0.036	0.200			
Copertura	7 – dir. Y	6.20	62.00	0.046	0.200			
	8 – dir. Y	16.30	62.00	0.121	0.200			
	9 – dir. V	23.40	77.00	0.070	0.200			
Pareti	10 – dir. V	13.50	62.00	0.098	0.200			
	11 – dir. O	15.40	56.00	0.146	0.200			
	12 – dir. O	28.10	74.00	0.084	0.200			

Tabella 14 – Verifica apertura fessure in combinazione quasi permanente, manufatto di sollevamento.



15.3 Pozzetto ripartitore

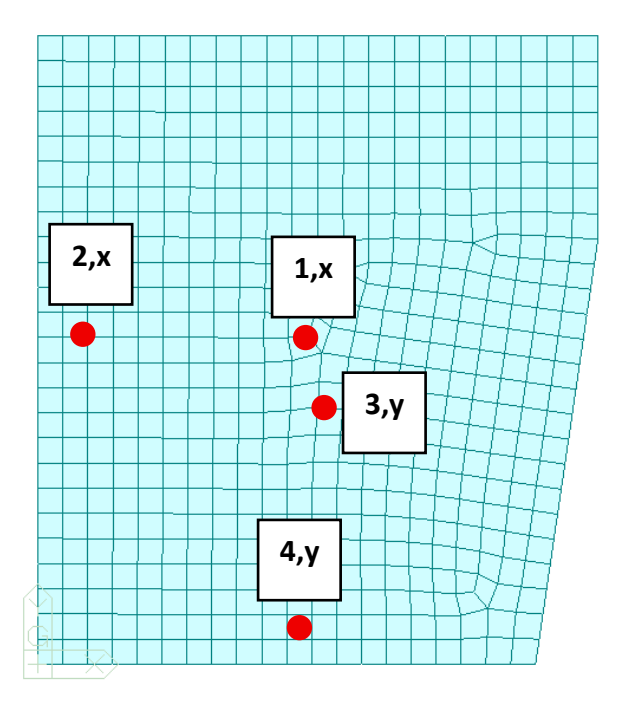


Figura 120 – Pianta fondazioni, pozzetto ripartitore.

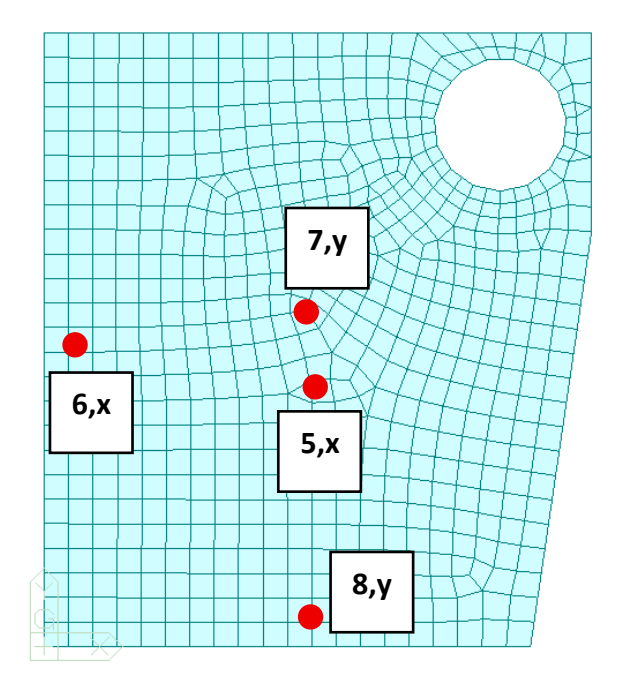


Figura 121 – Pianta copertura, pozzetto ripartitore.



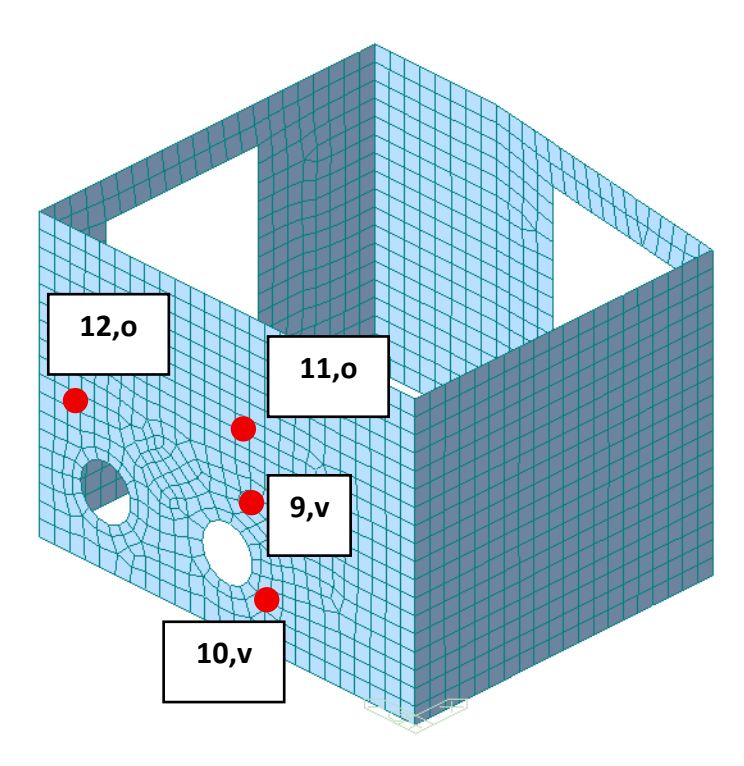


Figura 122 – Pareti, pozzetto ripartitore.

		Dime	nsioni	Armatura inferiore	Armatura superiore	Momento sollecitante	Momento resistente	FS
SEZIONE		В	Н	As	A _{s'}	M _{ed}	M _{rd}	.5
		[m]	[m]	[cm ²]	[cm ²]	[kNm]	[kNm]	[-]
	1 – dir. X	1.00	0.35	Ф14/20 – 7.70	Ф14/20 – 7.70	26.00	93.59	3.60
Fondazioni	2 – dir. X	1.00	0.35	Ф14/20 – 7.70	Ф14/20 – 7.70	25.40	93.59	3.69
	3 – dir. Y	1.00	0.35	Ф14/20 – 7.70	Ф14/20 – 7.70	21.60	94.71	4.39
	4 – dir. Y	1.00	0.35	Ф14/20 – 7.70	Ф14/20 – 7.70	25.70	94.71	3.69
	5 – dir. X	1.00	0.30	Ф14/20 – 7.70	Ф14/20 – 7.70	14.30	78.52	5.49
	6 – dir. X	1.00	0.30	Ф14/20 – 7.70	Ф14/20 – 7.70	17.70	78.52	4.44
Copertura	7 – dir. Y	1.00	0.30	Ф14/20 – 7.70	Ф14/20 – 7.70	11.00	79.64	7.24
	8 – dir. Y	1.00	0.30	Ф14/20 – 7.70	Ф14/20 – 7.70	16.60	79.64	4.80
				INTERNA	ESTERNA			
	9 – dir. V	1.00	0.30	Ф14/20 – 7.70	Ф14/20 – 7.70	5.00	79.38	15.88
	10 – dir. V	1.00	0.30	Ф14/20 – 7.70	Ф14/20 – 7.70	17.90	79.38	4.44
Pareti	11 – dir. O	1.00	0.30	Ф12/20 – 5.65	Ф12/20 – 5.65	3.00	60.67	20.2
	12 – dir. O	1.00	0.30	Ф12/20 – 5.65	Ф12/20 – 5.65	6.80	60.67	8.92

Tabella 15 – Verifica a flessione SLU, pozzetto ripartitore.



Verifica	a taglio						
SE7	SEZIONE		Spilli	Assenza armatura	Lato cls	Lato acciaio	Taglio resist.
312			n	$V_{Rd,0}$	$V_{Rd,C}$	$V_{Rd,S}$	V_{Rd}
		[kN]	[-]	[kN]	[kN]	[kN]	[kN]
	1 – dir. X	9.50	Ф10/20х40	146.38	852.54	261.79	261.79
Fondazioni	2 – dir. X	80.80	Ф10/20х40	146.38	852.54	261.79	261.79
ronuazioni	3 – dir. Y	34.80	Ф10/20х40	141.87	813.14	249.69	249.69
	4 – dir. Y	77.30	Ф10/20х40	141.87	813.14	249.69	249.69
	5 – dir. X	13.20	Ф10/20х40	130.06	711.85	218.59	218.59
Copertura	6 – dir. X	58.40	Ф10/20х40	130.06	711.85	218.59	218.59
Copertura	7 – dir. Y	7.40	Ф10/20х40	125.38	672.46	206.49	206.49
	8 – dir. Y	44.50	Ф10/20х40	125.38	672.46	206.49	206.49
	9 – dir. V	12.50	Ф10/20х40	126.05	678.09	208.22	208.22
Pareti	10 – dir. V	9.30	Ф10/20х40	126.05	678.09	208.22	208.22
raieu	11 – dir. O	2.00	Ф10/20х40	130.39	714.67	219.45	219.45
	12 – dir. O	19.50	Ф10/20х40	130.39	714.67	219.45	219.45

Tabella 16 – Verifica a taglio SLU, pozzetto ripartitore.

Verifica stato	tensionale	– combinaz	ione cara	tteristica		
SEZIONE		Momento sollecitante	Sforzo acciaio	Sforzo cls	Sforzo limite acc.	Sforzo limite cls
SEZIO	SEZIONE		σs	σς	σs,lim	σ _{c,lim}
		[kNm]	[MPa]	[MPa]	[MPa]	[MPa]
	1 – dir. X	19.00	88.64	1.77	360.00	19.20
Fondazioni	2 – dir. X	18.50	86.60	1.73	360.00	19.20
	3 – dir. Y	15.80	77.65	1.65	360.00	19.20
	4 – dir. Y	18.70	91.90	1.95	360.00	19.20
	5 – dir. X	10.30	58.24	1.30	360.00	19.20
Copertura	6 – dir. X	12.80	72.38	1.61	360.00	19.20
Copertura	7 – dir. Y	7.90	47.20	1.13	360.00	19.20
	8 – dir. Y	12.00	71.69	1.72	360.00	19.20
Pareti	9 – dir. V	3.60	21.35	0.51	360.00	19.20
	10 – dir. V	13.10	77.69	1.85	360.00	19.20
	11 – dir. O	2.30	17.41	0.33	360.00	19.20
	12 – dir. O	4.90	37.10	0.71	360.00	19.20

Tabella 17 – Verifica stato tensionale in combinazione caratteristica, pozzetto ripartitore.



Verifica stato tensionale – combinazione quasi permanente							
SEZIONE		Momento sollecitante	Sforzo acciaio	Sforzo cls	Sforzo limite acc.	Sforzo limite cls	
31210	SEZIONE		σs	σ _c	$\sigma_{s,lim}$	$\sigma_{c,lim}$	
		[kNm]	[MPa]	[MPa]	[MPa]	[MPa]	
	1 – dir. X	16.50	77.24	1.54	360.00	12.80	
Fondazioni	2 – dir. X	15.70	73.49	1.47	360.00	12.80	
	3 – dir. Y	13.80	67.82	1.44	360.00	12.80	
	4 – dir. Y	16.40	80.60	1.71	360.00	12.80	
	5 – dir. X	8.10	45.80	1.02	360.00	12.80	
C	6 – dir. X	10.10	57.11	1.27	360.00	12.80	
Copertura	7 – dir. Y	6.10	36.44	0.88	360.00	12.80	
	8 – dir. Y	9.30	55.56	1.33	360.00	12.80	
	9 – dir. V	2.70	16.01	0.38	360.00	12.80	
Pareti	10 – dir. V	11.30	67.01	1.59	360.00	12.80	
Pareti	11 – dir. O	1.90	14.38	0.27	360.00	12.80	
	12 – dir. O	4.00	30.28	0.58	360.00	12.80	

Tabella 18 – Verifica stato tensionale in combinazione quasi permanente, pozzetto ripartitore.

Verifica aper	tura fessure	– combina	zione frequ	iente	
SEZIONE		Momento sollecitante	Asse neutro	Apertura fessura	Apertura amm.
31210	SEZIONE		х	Wk	W k,max
			[mm]	[MPa]	[MPa]
	1 – dir. X	18.40	69.00	0.107	0.300
Fondazioni	2 – dir. X	17.90	69.00	0.104	0.300
	3 – dir. Y	15.30	69.00	0.103	0.300
	4 – dir. Y	18.10	69.00	0.122	0.300
	5 – dir. X	9.80	62.00	0.061	0.300
Copertura	6 – dir. X	12.20	62.00	0.076	0.300
Copertura	7 – dir. Y	7.50	62.00	0.056	0.300
	8 – dir. Y	11.30	62.00	0.084	0.300
	9 – dir. V	3.40	62.00	0.025	0.300
Pareti	10 – dir. V	12.60	62.00	0.091	0.300
raieu	11 – dir. O	2.10	56.00	0.020	0.300
	12 – dir. O	4.70	56.00	0.045	0.300

Tabella 19 – Verifica apertura fessure in combinazione frequente, pozzetto ripartitore.



Verifica apertura fessure – combinazione quasi permanente						
SEZIONE .		Momento sollecitante	Asse neutro	Apertura fessura	Apertura amm.	
		M _{Ed}	х	\mathbf{w}_{k}	W _{k,max}	
		[kNm]	[mm]	[MPa]	[MPa]	
	1 – dir. X	16.50	69.00	0.096	0.200	
Fondazioni	2 – dir. X	15.70	69.00	0.091	0.200	
Folidazioni	3 – dir. Y	13.80	69.00	0.093	0.200	
	4 – dir. Y	16.40	69.00	0.111	0.200	
	5 – dir. X	8.10	62.00	0.050	0.200	
Copertura	6 – dir. X	10.10	62.00	0.063	0.200	
Copertura	7 – dir. Y	6.10	62.00	0.045	0.200	
	8 – dir. Y	9.30	62.00	0.069	0.200	
	9 – dir. V	2.70	62.00	0.020	0.200	
Pareti	10 – dir. V	11.30	62.00	0.082	0.200	
· u.eu	11 – dir. O	1.90	56.00	0.018	0.200	
	12 – dir. O	4.00	56.00	0.038	0.200	

Tabella 20 – Verifica apertura fessure in combinazione quasi permanente, pozzetto ripartitore.



16 VERIFICHE GEOTECNICHE

Si riporta la verifica delle pressioni del terreno al di sotto della soletta di fondazione.

La verifica è condotta calcolando la pressione agente sul terreno e confrontandola con il valore di portata limite.

Il calcolo della portata limite del terreno è condotto considerando l'Approccio 2 definito al punto 6.4.2 delle NTC2018 e tenendo conto dei coefficienti parziali riportati nelle Tabelle 6.2. I, 6.2.II e 6.4.I.

Essendo il terreno interessato dall'opera a grana grossa, viene calcolata la sola capacità portante in condizioni drenate, utilizzando la formulazione per la capacità portante proposta da Brinch-Hansen con i relativi coefficienti correttivi.

• MANUFATTO DI SFIORO:

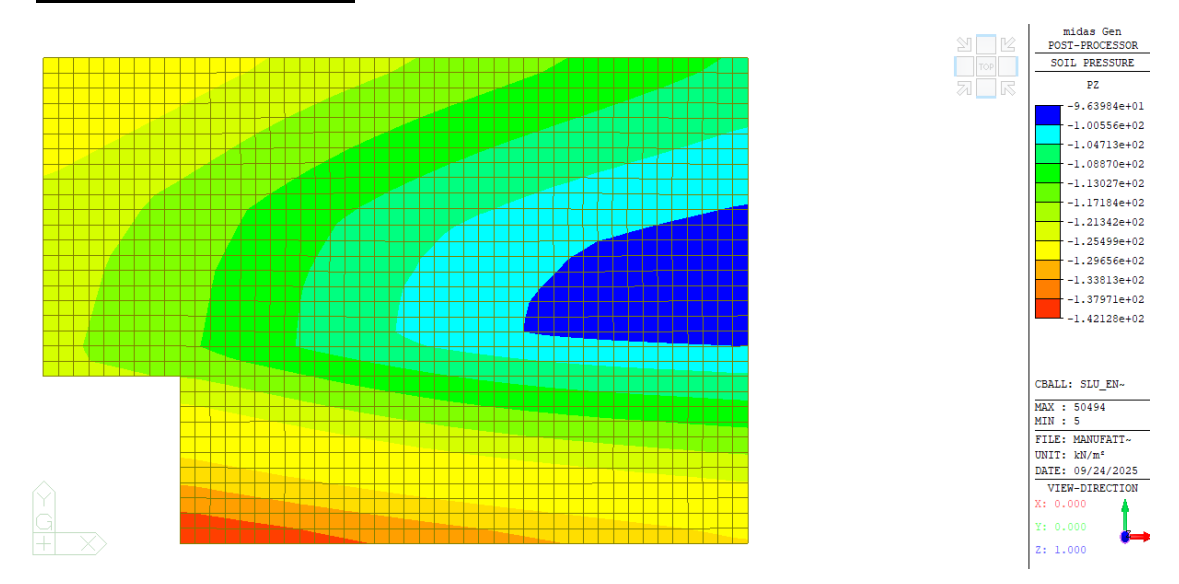


Figura 123 – Pressioni agenti sul terreno di fondazione, manufatto di sfioro.



• MANUFATTO DI SOLLEVAMENTO:

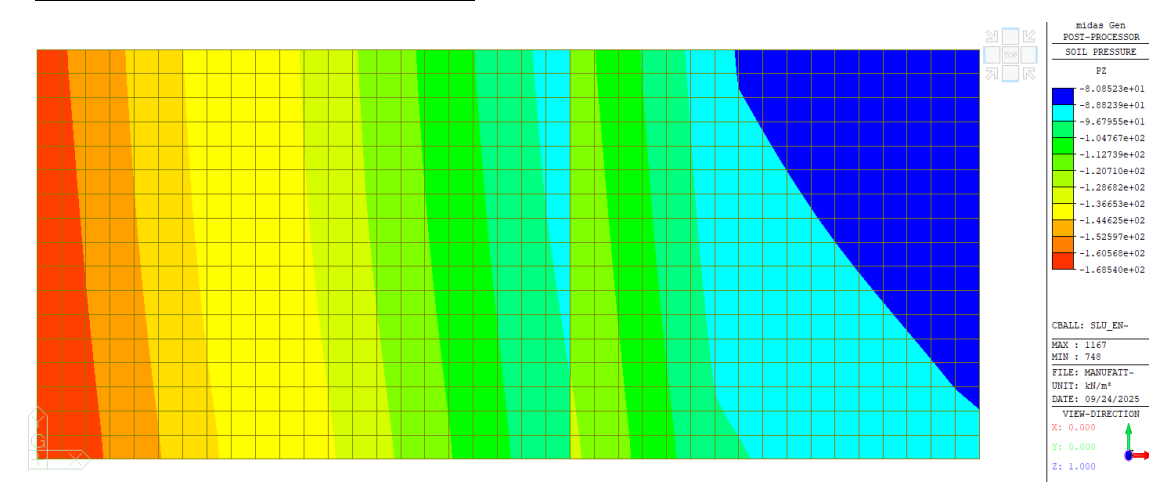


Figura 124 – Pressioni agenti sul terreno di fondazione, manufatto di sollevamento.

• POZZETTO RIPARTITORE:

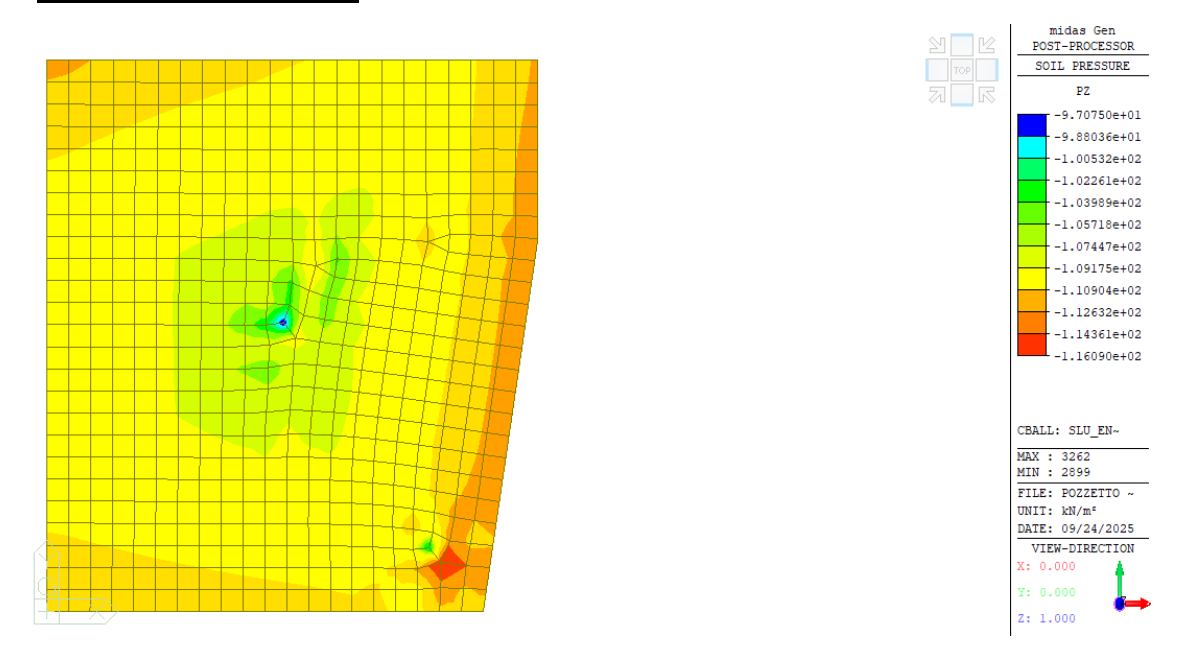


Figura 125 – Pressioni agenti sul terreno di fondazione, pozzetto ripartitore.



16.1 Manufatto sfioratore

	CONDIZION	NI DRENATE	
Dimensioni geometriche fondazione	D	3,70	[m]
Dimensioning connection by John Marion C	L	8,35	[m]
	В	9,70	[m]
	e _L	0,00	[m]
	e _B	0,00	[m]
	L'	8,35	[m]
	В'	9,70	[m]
Parametri geotecnici terreno di fondazione	_	3,7.0	[]
Peso proprio del terreno di riporto	γ ₁	20	[kN/m³]
Peso proprio del terreno di fondazione	γ ₂	19,9	[kN/m ³]
Peso proprio dell'acqua di falda		0	[kN/m³]
Angolo d'attrito	γ _w Φ	32	[°]
-		0	
Coesione efficace	c'		[kN/m ²]
Coesione non drenata	cu	0	[kN/m ²]
Set di coefficienti parziali		M1	3.
Peso proprio del terreno di riporto	Y 1_Mi	20	[kN/m³]
Peso proprio effettivo del terreno di fondazione	Y 2_Mi	19,9	[kN/m³]
Angolo d'attrito fattorizzato	$\Phi_{ extsf{Mi}}$	32	[°]
	$\varphi_{_Mi}$	0,56	[rad]
Coesione efficace fattorizzata	c'_ _{Mi}	0	$[kN/m^2]$
Coesione non drenata fattorizzata	cu_ _{Mi}	0	$[kN/m^2]$
	_		
Fattori di capacità portante			
	N_{γ}	30,21	
	N_c	35,49	
	N_q	23,18	
Fattori di forma			
(per forma rettangolare)	s_{v}	1,00	
	s _c	1,76	
	Sq	1,73	
Fattori di profondità	-4	, -	
(per φ'>0)	d_{ν}	1,00	
(1-2- 4 - 2)	d _c	1,11	
	d _q	1,11	
Fattori di inclinazione del carico	σq	_,	
(per c'>0 e φ'>0)	$m_{\scriptscriptstyle B}$	1,46	
(per 0 · 0 c 4 · 0)	m _L	1,54	
	θ [°]	90	
	m m	1,46	
	i _γ	1,00	
		1,00	
	i _c		
Fattori di inclinazione del piano di posa	i _q	1,00	
ration al inclinazione del plano al posa	h	1,00	
	bγ		
	b _c	1,00	
Full of All to All controls and All all controls are	b_q	1,00	
Fattori di inclinazione del piano campagna		1.00	
	g_{γ}	1,00	
	gc	1,00	
	g_q	1,00	
Calcolo della capacità portante della fondazione superficiale			2-
	q_{lim}	6188	[kN/m ²]
Set di coefficienti parziali		R3	
	γ_{R}	2,30	_
$q = q_{lim} / \gamma_R$	q	2690	[kN/m²]
			_
pressione media da modello FEM	р	142,00	[kN/m²]
	VERIFICA	SODDISFATT	A



16.2 Manufatto di sollevamento

	CONDIZION	NI DRENATE	
Dimensioni geometriche fondazione	D	5,75	[m]
	L	4,60	[m]
	В	3,60	[m]
	e _L	0,00	[m]
	e _B	0,00	[m]
	Ľ'	4,60	[m]
	В'	3,60	[m]
Parametri geotecnici terreno di fondazione		-,	£3
Peso proprio del terreno di riporto	γ ₁	20	[kN/m³]
Peso proprio del terreno di fondazione	γ ₂	19,9	[kN/m ³]
Peso proprio dell'acqua di falda	γw	0	[kN/m ³]
Angolo d'attrito	φ	32	[°]
Coesione efficace	c'	0	[kN/m²]
Coesione emcace Coesione non drenata	cu	0	[kN/m ²]
Set di coefficienti parziali	Cu	M1	[KIN/III]
Peso proprio del terreno di riporto	W	20	[kN/m³]
	γ 1_Mi		
Peso proprio effettivo del terreno di fondazione	Υ _{2_Mi}	19,9	[kN/m³]
Angolo d'attrito fattorizzato	Ф_мі	32	[°]
	Ф_мі	0,56	[rad]
Coesione efficace fattorizzata	c'_ _{Mi}	0	[kN/m ²]
Coesione non drenata fattorizzata	cu_ _{Mi}	0	[kN/m ²]
Fattori di capacità portante			
	N _ν	30,21	
	N _c	35,49	
	N _q	23,18	
Fattori di forma	1 d	25,10	
(per forma rettangolare)	S_{V}	1,00	
(per forma rectangulare)		1,51	
	S _c		
Fattori di profondità	Sq	1,49	
Fattori di profondità	d	1.00	
(per \(\phi' > 0 \)	dγ	1,00	
	d _c	1,29	
	d_q	1,28	
Fattori di inclinazione del carico		4.56	
(per c'>0 e φ'>0)	m_B	1,56	
	m _L	1,44	
	θ [°]	90	
	m	1,56	
	i _γ	1,00	
	i _c	1,00	
	i _q	1,00	
Fattori di inclinazione del piano di posa			
	b_{γ}	1,00	
	b_c	1,00	
	b_q	1,00	
Fattori di inclinazione del piano campagna			
	$g_{\!\scriptscriptstyle{\gamma}}$	1,00	
	g_c	1,00	
	g_q	1,00	
Calcolo della capacità portante della fondazione superficiale			
	q_{lim}	6160	$[kN/m^2]$
Set di coefficienti parziali		R3	- · ·
	γ_{R}	2,30	
$q = q_{lim} / \gamma_R$	q	2678	[kN/m ²]
	•		
pressione media da modello FEM	р	168,00	[kN/m²]
	VERIFICA	SODDISFATT	·A



16.3 Pozzetto ripartitore

	CONDIZIO	NI DRENATE	
Dimensioni geometriche fondazione	D	3,71	[m]
	L	4,00	[m]
	В	3,40	[m]
	e_L	0,00	[m]
	e_B	0,00	[m]
	L'	4,00	[m]
	В'	3,40	[m]
Parametri geotecnici terreno di fondazione			
Peso proprio del terreno di riporto	γ1	20	[kN/m³]
Peso proprio del terreno di fondazione	γ ₂	19,9	[kN/m³]
Peso proprio dell'acqua di falda	γw	0	[kN/m³]
Angolo d'attrito	ф	32	[°]
Coesione efficace	c'	0	$[kN/m^2]$
Coesione non drenata	cu	0	[kN/m ²]
Set di coefficienti parziali		M1	
Peso proprio del terreno di riporto	Y 1_Mi	20	[kN/m³]
Peso proprio effettivo del terreno di fondazione	Y 2_Mi	19,9	[kN/m³]
Angolo d'attrito fattorizzato	$\varphi_{_Mi}$	32	[°]
	$\varphi_{_{Mi}}$	0,56	[rad]
Coesione efficace fattorizzata	c'_ _{Mi}	0	$[kN/m^2]$
Coesione non drenata fattorizzata	cu_ _{Mi}	0	$[kN/m^2]$
Fattori di capacità portante			
	N_{γ}	30,21	
	N_c	35,49	
	N_{q}	23,18	
Fattori di forma			
(per forma rettangolare)	s_{γ}	1,00	
	S _c	1,56	
	s_q	1,53	
Fattori di profondità			
(per φ'>0)	d_{γ}	1,00	
	d_c	1,24	
	d_q	1,23	
Fattori di inclinazione del carico			
(per c'>0 e φ'>0)	m_B	1,54	
	m _L	1,46	
	θ [°]	90	
	m :	1,54	
	i _γ :	1,00	
	i _c	1,00	
Fattori di inclinazione del piano di posa	i _q	1,00	
rutton ar inclinazione dei piano di posa	b_{ν}	1,00	
	b _γ	1,00	
	b _q	1,00	
Fattori di inclinazione del piano campagna	Бq	1,00	
	g _v	1,00	
	g _c	1,00	
	g _q	1,00	
Calcolo della capacità portante della fondazione superficiale	₽q	-,00	
	q _{lim}	4258	[kN/m ²]
Set di coefficienti parziali	711111	R3	[1014/111]
······································	γ_{R}	2,30	
q = q _{lim} / γ _R	q	1851	[kN/m²]
1 1mm 1 lk	٦		[]
pressione media da modello FEM	р	116,00	[kN/m²]
F	۲		····· 1
	VERIFICA	SODDISFATT	A